

АЗРБАЙЧАН ССР ЕЛМЛЭР АКАДЕМИЈАСЫ
АКАДЕМИЯ НАУК АЗЕРБАЙДЖАНСКОЙ ССР

МЭРУЗЭЛЭР ДОКЛАДЫ

ТОМ XXX ЧИЛД

5

„ЕЛМ“ НЭШРИЙГАТЫ
ИЗДАТЕЛЬСТВО „ЭЛМ“
БАКЫ—1974—БАКУ

АЗЭРБАЙЧАН ССР ЕЛМЛЭР АКАДЕМИЯСЫ
АКАДЕМИЯ НАУК АЗЕРБАЙДЖАНСКОЙ ССР

МҮЭЛЛИФЛЭР ҮЧҮН ГАЈДАЛАР

1. «Азэрбајҹан ССР Елмлэр Академијасынын Мә'рүзэләрниңдэ нәзәри вә тәчрүби әһәмијјетә малик елми-тәгдигатларны тамамлашыш вә һөлә дәрч едилмәниш истичәләрни һагында гыса мә'лumatлар чап олунур.

«Мә'рүзэләр»дә механики суртдә бир нечә ајры-ајры мә'лumatлар шәклиниң салышындын мәгәләләр, яни фактик мә'лumatлардан мәһрум мубаһис харәктерли мәгәләләр, мүэйјән истичә вә үмүмиләшdirмәләрсиз комәкчи тәчрүбәләрин тәсвириндән избарот мәгәләләр, гејри-принципиал, тәсвири вә ичмал харәктерли ишләр, төвсүйә едиллән методу принципе яни олмајан сырф методик мәгәләләр, набелә битки вә һөҗүнләрни систематикасына даир (елм үчүн ҳүсуси әһәмијјетә малик тапынтыларын тәсвири истинсина олмагла) мәгәләләр дәрч едилмир.

«Мә'рүзэләр»дә дәрч олунан мәгәләләр һәмни мә'лumatларын даһа кениш шәкилдә башга нәшрләрдә чап едилмәси үчүн мүэллифин нүгүгүнә алмый.

2. «Мә'рүзэләр»ин редаксијасына дахил олан мәгәләләр ялныз ихтисас үзәр бир иәфәр академикин тәгдиматындан соңра редаксија һөј'әти тәрәфиндән нәзәрдән кечирилләр. Һәр бир академик илдә 5 әдәддән чох олмамаг шәртиләр мәгәләләр тәгдим едә биләр.

Азэрбајҹан ССР Елмлэр Академијасынын мүхбир үзвләринин мәгәләләри тәгдиматында габут олунур.

Редаксија академикләрдән хәниш едир ки, мәгәләләри тәгдим едәркән онларын мүэллифләрдән алымасы тарихини, набелә мәгәләнниң јөрләшdirләчәји бөлмәнин адыны көстәрсилләр.

3. «Мә'рүзэләр»дә бир мүэллиф илдә 3 мәгәлә дәрч етдиրә биләр.

4. «Мә'рүзэләр»дә шәкилләр дә дахил олмагла, мүэллиф вәрәгтишин дәрдә бириңдән артыг олмајараг язы макинасында язылыш 6—7 сәһифә һәчминидә (10000 чап ишарәси) мәгәләләр дәрч едилләр.

5. Бүтүн мәгәләләрин иницијис дилиндә ҳұласәси олмалыбы; бундан башга, Азэрбајҹан дилиндә язылан мәгәләләре рус дилиндә ҳұласә әлавә едилмәлиләр. Рус дилиндә язылан мәгәләләрин исә Азэрбајҹан дилиндә ҳұласәси олмалыбы.

6. Мәгәләнниң сонунда тәгдигат ишинин јеринә јетирилди елми идарәнин ады вә мүэллифи телефон иөмрәси көстәрilmәлиләр.

7. Елми идарәләрдә апарылан тәгдигат ишләринин истичәләринин дәрч олунмасы үчүн елми идарәнин директорлыгунун ичазәси олмалыбы.

8. Мәгәләләр (хұласәләр дә дахил олмагла) вәрәгтин бир үзүндө ики хәтт ара бурахыларын язы макинасында чап едилмәли вә ики нүсхә тәгдим едилмәлиләр. Дүстүрләр дәгиг вә аյдын язылышы, һәм дә бөјүк һәрфләрни алтындан, кичикләрни исә устуңдән (тарағәләмлә) ики хәтт чәкілмәлиләр; јунаи әлифбасы һәрфләрни гырмызы гәләмлә даирә олмаг лазымды.

9. Мәгәләләдә ситат көтирилән әдәбијаттагынан ахырында чыкыш шәкилдә дејил, әлифба гајдасты илә (мүэллифиның фамилијасына көр) мәгәләнниң сонунда мәтидәки исәнад иөмрәси көстәрilmәкә үмуми сијаһы үзәр верилмәлиләр. Әдәбијаттын сијаһыны ашағыдағы шәкилдә тәртиб едилмәлиләр:

а) китаплар үчүн: мүэллифиның фамилијасы вә иницијалы, китабын бүтөн ады, чилдин иөмрәси, шешәр, иөшријјат вә иөшр или;

б) мәчмуәләрдәкі (әсәрләрдәкі) мәгәләләр үчүн: мүэллифиның фамилијасы вә иницијалы, мәгәләнниң ады, мәчмуәнни (әсәрләрни) ады, чилд, бурахылыш, иөшр олундугу јер, иөшријјат, ил, сәһифә;

в) журнал мәгәләләри үчүн: мүэллифиның фамилијасы вә иницијалы, мәгәләнниң ады, журналын ады, ил, чилд, иөмрә (бурахылыш), сәһифә көстәрilmәлиләр.

Дәрч едилмәниш әсәрләрдә (несабатлар вә елми идарәләрдә саҳланан диссертасијалар истинсана олмагла) исәнад етмәк олмаз.

10. Шәкилләрни арxa тәрәфиндә мүэллифиның фамилијасы, мәгәләнниң ады вә шәклини иөмрәси көстәрilmәлиләр. Макинада язылышы шәкилләтүү сөзләр ајрыча вәрәгдә тәгдим едилләр.

11. Мәгәләләрин мүэллифләри Унификасија олунмуш оимниллик тәснифат үзәр мәгәләләрни индексини көстәрмәли вә «Рефератив журнал» үчүн реферат әлавә етмәлиләр.

12. Мүэллифләр чәдвалләрдә, график материалларда вә мәгәләнниң мәтининдә бу вә ја дикәр рәгәмләрни тәккәр едилмәсни јол вермәмәлиләр.

Мәгәләләрин һәчмин кичик олдугу үчүн истичәләр ялныз зәрури һалларда верилләр.

13. Ики вә ја даһа чох мәгәлә тәгдим едилдикдә онларын дәрчедилмә ардычыллыгыны да көстәрмәк лазымды.

14. Мәгәләләрин корректурасы, бир гајда олараг, мүэллифләр көндәрилләр. Корректура көндәрилди тәгдирдә исә ялныз мәтбәә сәһивләрни дүзәлтмәк олар.

15. Редаксија мүэллифи пулсуз олараг мәгәләнни 15 нүсхә ајрыча оттискини верир.

МӘ'РҮЗЭЛӘР ДОКЛАДЫ

ТОМ XXX ЧИЛД

№ 5

„ЕЛМ“ ИӘШРИЈАТЫ — ИЗДАТЕЛЬСТВО „ЭЛМ“
БАКУ — 1974 — БАКУ



РЕДАКЦИОННАЯ КОЛЛЕГИЯ:

Г. Б. Абдуллаев (главный редактор), Ш. А. Азизбеков,
 Г. А. Алиев, В. Р. Волобуев,
 А. И. Гусейнов, М. А. Дадашзаде (зам. главного редактора),
 М. А. Кашкай, А. С. Сумбатзаде, М. А. Топчибашев,
 Т. Н. Шахтахтинский, Г. Г. Зейналов (ответств. секретарь)..

УДК 517. 9

МАТЕМАТИКА

М. А. АЗИМОВ

РЕШЕНИЕ ПРОСТРАНСТВЕННОЙ ЗАДАЧИ С ШАРОМ
В КАЧЕСТВЕ ПОВЕРХНОСТИ РАЗДЕЛА

(Представлено академиком АН Азербайджанской ССР З. И. Халиловым)

Рассматривается задача:

$$A_1 \left(\frac{\partial}{\partial x} \right) U_1(x) = -f_1(x) \quad (1) \quad |x| < R$$

$$A_2 \left(\frac{\partial}{\partial x} \right) U_2(x) = -f_2(x) \quad (2) \quad |x| > R$$

$$U_1(x)|_{x=0} = U_2(x)|_{x=0} \quad (3) \quad \text{при } |x|=R$$

$$B_1 \left(x, \frac{\partial}{\partial x} \right) U_1(x) \Big|_{x=0} = B_2 \left(x, \frac{\partial}{\partial x} \right) U_2(x) \Big|_{x=0} \quad (4) \quad (|x|=R)$$

Здесь A_k , B_k ($k = 1, 2$)—суть операторы соответствующие константам Ламэ с разными λ_k , μ_k , т. е.

$$A_k = \mu_k \Delta^x I + (\nu_k + \mu_k) \partial^x \partial'^x; \quad \Delta^x = \sum_{k=1}^3 \frac{\partial^2}{\partial x_k^2};$$

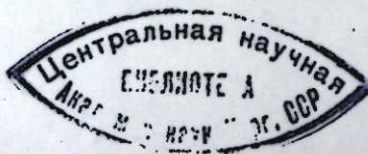
$$B_k = \frac{1}{R} \left(\mu_k [x' \partial^x + (\partial^x x' - 1)] + \nu_k x \partial'^x \right); \quad \partial = \begin{pmatrix} \partial_1 \\ \partial_2 \\ \partial_3 \end{pmatrix}; \quad \partial_k = \frac{\partial}{\partial x_k}, \quad (k = 1, 2, 3)$$

Рассматривается область, граница которой есть сфера $|x|=R$ $B_k \left(x, \frac{\partial}{\partial x} \right)$ ($k = 1, 2$)—оператор напряжения. f_1 —предполагается непрерывно дифференцируемый при $|x| \leq R$ и f_2 —при $|x| > R$ и кроме того f_2 —предполагается имеющим компактный носитель.Решение (U_1, U_2) . Задача будет определяться в виде:

$$U_1(x) = \int_{|y| < R} T_1 \left(\frac{\partial}{\partial x} \right) [I|x-y| + P_1|x-\bar{y}|] f_1(y) dy + \\ + \int_{|y| > R} T_1 \left(\frac{\partial}{\partial x} \right) Q_1|x-y| f_2(y) dy \quad |x| < R \quad (5)$$

© Издательство „Элм“, 1974 г.

Адрес: г. Баку, Коммунистическая, 10. Редакция „Докладов Академии наук Азербайджанской ССР“



$$U_2(x) = \int_{|y| < R} T_2 \left(\frac{\partial}{\partial x} \right) P_2 |x-y| f_1(y) dy + \\ + \int_{|y| > R} T_2 \left(\frac{\partial}{\partial x} \right) [I|x-y| + Q_2|x-\bar{y}|] f_2(y) dy \quad |x| > R \quad (6)$$

Здесь $\bar{y} = \frac{R^2}{|y|} y$ (точка симметричная с y , относительно сферы $(x) = R$. P_1, P_2, Q_1, Q_2 — матричные операторы, действующие по точке y (и не зависящие от x).

$$T_k = \frac{1}{\mu_k} \left(I \Delta^x - \frac{v_k + \mu_k}{v_k + 2\mu_k} \partial^x \partial'^x \right); \quad (k = 1, 2)$$

Основная цель — определить эти матрицы и выразить решение (U_1, U_2) через ω_1, ω_2 , где $\omega(x-y) = \frac{1}{8\pi} T^x |x-y|$ — фундаментальная Матрица оператора Ламэ $A \left(\frac{\partial}{\partial x} \right)$ (в особенности в нуле).

Границные условия задачи приводят к соотношениям:

$$T_1 \left(\frac{\partial}{\partial x} \right) [I|x-y| + P_1|x-\bar{y}|] = T_2 \left(\frac{\partial}{\partial x} \right) P_2|x-y| \quad (7) \quad |x|=R$$

$$RB_1 \left(x, \frac{\partial}{\partial x} \right) T_1 \left(\frac{\partial}{\partial x} \right) [I(x-y) + P_1|x-\bar{y}|] = \\ = RB_2 \left(x, \frac{\partial}{\partial x} \right) T_2 \left(\frac{\partial}{\partial x} \right) P_2|x-y| \quad (8) \quad |x|=R$$

$$T_1 \left(\frac{\partial}{\partial x} \right) Q_1(x-y) = T_2 \left(\frac{\partial}{\partial x} \right) [I|x-y| + Q_2|x-\bar{y}|] \quad |x|=R \quad (9)$$

$$RB_1 \left(x, \frac{\partial}{\partial x} \right) T_1 \left(\frac{\partial}{\partial x} \right) Q_1|x-y| = \\ = RB_2 \left(x, \frac{\partial}{\partial x} \right) T_2 \left(\frac{\partial}{\partial x} \right) [I|x-y| + Q_2|x-\bar{y}|] \quad |x|=R \quad (10)$$

Сперва решаются уравнения (7) и (8).

Будем искать P в виде:

$$P = \alpha I + \beta y y' + \gamma (y \partial' - t I) + \delta \partial \partial' + \epsilon (\partial y' - 1) + \\ + [\bar{\alpha} I + \bar{\beta} y y' + \bar{\gamma} (y \partial' - t I) + \bar{\delta} \partial \partial' + \bar{\epsilon} (\partial y' - 1)] \Delta \quad (11)$$

Здесь: $\alpha, \beta, \gamma, \delta, \epsilon, \bar{\alpha}, \bar{\beta}, \bar{\gamma}, \bar{\delta}, \bar{\epsilon}$. Будут предполагаться скалярными операторами, зависящими только от r и t .

Чтобы облегчить вычисления для матрицы типа вводятся операторы:

$$K(P) = \sum_{i,j} e_i e_j' P \partial_i \partial_j \quad (12)$$

$$L(P) = \sum_{i,j} e_i e_j' P Y_j \partial_i \quad (13)$$

$$M(P) = \sum_{i,j} e_i e_j' P \partial_i Y_j \quad (14)$$

Вводятся обозначения $|y| = r$; $t = \sum_k y_k \frac{\partial}{\partial y_k}$.

После соответствующих преобразований уравнения (7) и (8) примут вид:

$$\frac{1}{\mu_1} (I \Delta - l_1 \partial \partial') |x-y| + \frac{1}{\mu_1} [-l_1 \tilde{\kappa}(\bar{m}_1) + (\bar{m}_1 + \bar{n}_1) \tilde{\Delta}] |x-\bar{y}| = \\ = \frac{1}{\mu_2} [-l_2 \kappa(\bar{m}_2) + (\bar{m}_2 + \bar{n}_2) \Delta] |x-y|; \quad |x|=R \quad (7^x) \\ [2l_1 \partial \partial' (t+1) - I(t+2) + (2l_1-1)(y \partial' + 1) + \partial y' - 1] \Delta |x-y| + \\ + [2l_1 \tilde{\kappa}(\bar{m}_1) (1-t) - [\bar{m}_1 (2-t) + (2l_1-1) \bar{M}(\bar{m}_1) + \\ + 2\bar{n}_1 (1-t) + \bar{L}(\bar{m}_1)] \tilde{\Delta}] |x-\bar{y}| = [2l_2 \kappa(\bar{m}_2) (1+t) - \\ - [\bar{m}_2 (2+t) + (2l_2-1) M(\bar{m}_2) + 2\bar{n}_2 (1+t) + \\ + L(\bar{n}_2)] \Delta] |x-y| \quad (8)$$

при $|x|=R$

Заменяя $|x-\bar{y}| = \frac{R}{r} |x-y|$; $\tilde{\Delta} |x-\bar{y}| = \frac{\rho}{R} \Delta |x-y|$ и учитывая, что $[R^2 - \rho^2] \Delta + 2(2t-1)] |x-y| = 0$

$$[(R^2 - \tilde{\rho}^2) \tilde{\Delta} + 2(2\tilde{t}-1)] |x-\bar{y}| = 0$$

Поэтому при отбрасывании в (7^x) и (8^x) $(x-y), (x-\bar{y})$ можно добавить слагаемые вида: $\xi [R^2 - \rho^2] \Delta + 2(2t-1)]$ и

$$\tilde{\xi} [(R^2 - \tilde{\rho}^2) \tilde{\Delta} + 2(2\tilde{t}-1)] \frac{R}{\rho} = \tilde{\xi} (R^2 - \tilde{\rho}^2) \frac{\rho}{R} \Delta + 2\tilde{\xi} (2\tilde{t}-1) \frac{R}{\rho}.$$

ξ и $\tilde{\xi}$ считать произвольными.

Приравнивая члены $C \Delta$ и без Δ в новом уравнении получим:

$$\frac{l_1}{\mu_1} \partial \partial' + \frac{l_1}{\mu_1} \bar{K}(\bar{m}_1) \frac{R}{\rho} = \frac{l_2}{\mu_2} K(\bar{m}_2) - 2\xi (2t-1) + 2\tilde{\xi} (2\tilde{t}+1) \frac{R}{\rho} \quad (7^{xx})$$

$$\frac{1}{\mu_1} + \frac{1}{\mu_1} (\bar{m}_1 + \bar{n}_1) \frac{\rho}{R} = \frac{1}{\mu_2} (\bar{m}_2 + \bar{n}_2) + \xi (R^2 - \rho^2) + \tilde{\xi} (R^2 - \tilde{\rho}^2) \frac{C}{R} \quad (7_2^{xx})$$

$$l_1 \partial \partial' (t+1) + l_1 \bar{K}(\bar{m}_1) (1-t) \frac{R}{\rho} = l_2 K(\bar{m}_2) (1+t) + \eta (2t-1) - \\ - \bar{\eta} (2\tilde{t}+1) \frac{R}{\rho} \quad (8_1^{xx})$$

$$I(t+2) + (2l_1-1)(y \partial' + 1) + (\partial y' - 1) + [\bar{m}_1 (2-t) +$$

$$+ (2l_1-1) \bar{M}(\bar{m}_1) + 2\bar{n}_1 (1-t) + \bar{L}(\bar{m}_1)] \frac{\rho}{R} = \bar{m}_2 (2+t) +$$

$$+ (2l_2-1) M(\bar{m}_2) + 2\bar{n}_2 (1+t) + L(\bar{m}_2) - \eta (R^2 - \rho^2) - \bar{\eta} (R^2 - \tilde{\rho}^2) \frac{\rho}{R} \quad (8_2^{xx})$$

Решая эти четыре уравнения находим:

$$P_1 = \bar{m}_1 + \frac{1}{1-l_1} \bar{n}_1$$

$$P_2 = \bar{m}_2 + \frac{1}{1-l_2} \bar{n}_2$$

где: $l_\kappa = \frac{v_\kappa + \mu_\kappa}{\lambda_\kappa + 2\mu_\kappa}$ ($\kappa = 1, 2$)

$$\bar{m}_1 = a_1 I + b_1 \bar{\theta}_1; \quad \bar{n}_1 = C_1 \bar{\theta}_2; \quad \bar{m}_2 = a_2 I + b_2 \theta_1;$$

$$\bar{n}_2 = C_2 \theta_2; \quad \theta_1 = \begin{pmatrix} y\partial' + 1 \\ \frac{1}{\rho^2} yy' \end{pmatrix}; \quad \theta_2 = \begin{pmatrix} \rho^2 \partial\partial' \\ y\partial' - 1 \end{pmatrix}$$

$$a_1 \frac{\rho}{R} = -(\mu_2 - \mu_1) (t+2) v^{-1}(t); \quad a_2 = \mu_2 (2t+1) v^{-1}(t)$$

$$v(t) = \mu_1 (t-1) + \mu_2 (t+2); \quad b_1 \frac{\rho}{R} = B_1 \varphi(-2t-1); \quad b_2 = B_2$$

$$\varphi(t) = \begin{pmatrix} 1-t \\ 0 \\ 1 \end{pmatrix}; \quad C_1 = d_1 + \tilde{\Gamma} \rho^{-2} [IR^2 - \rho^2 \varphi(-2)]$$

$$C_2 = d_2 - \gamma \rho^2 [IR^2 - \rho^2 \varphi(-2)]; \quad d_1 \frac{\rho}{R} D_1 \varphi(-2t-3);$$

$$d_2 = D_2 \varphi(-2); \quad \gamma = \Gamma$$

$$B_2 (2t+1) = (\mu_2 - \mu_1) \psi(t) (1, 0) + 2(\mu_2 - \mu_1) Ut$$

$$2T(2t+1) = (\mu_2 - \mu_1) \psi(t) (1, 0) - U(2\mu_1 t + \mu_2).$$

Отсюда находят B_2 и Γ .

$$\psi(t) = -\frac{2l_1}{\mu_1} (t+1) (2t+3)^{-1} + 3(t+1) v^{-1}(t)$$

$$B_1 + 2\Gamma - D_1 (2t+1) = \mu_1 U$$

$$B_2 - 2\Gamma = \mu_2 U$$

$$U \omega_2(t) = \left\{ (\mu_2 - \mu_1) \psi(t) [-l_2(1+t) + 2t+3] + \right. \\ \left. + \frac{\mu_2}{\mu_1} l_1 (2t+1) - l_2 \mu_2 (2t+1)^2 v^{-1}(t) \right\} (1, 0)$$

Отсюда находят U ,

$$\text{где: } \omega_2(t) = (2\mu_1 t + \mu_2) (2t+3) + 2l_2 (\mu_2 - \mu_1) t (t+1)$$

$$V \omega_1(t) = -[(\mu_2 - \mu_1) \chi(t, \rho) + B_2 - 4\Gamma] (2t-1 - l_1 t) + \\ + \mu_1 U (2t-1 - 2l_1 t) - l_1 (\mu_2 - \mu_1) (t+2) v^{-1}(t) (1, 0) \varphi(2t+1) \\ \omega_1(t) = [2\mu_2 (t+1) - \mu_1] (2t-1) - 2l_1 (\mu_2 - \mu_1) t (t+1)$$

Отсюда находят V .

$$B_1 = -(\mu_2 - \mu_1) \chi(t, \rho) - B_2 - 4\Gamma + 2\mu_1 U - 2(\mu_2 - \mu_1) V(t+1)$$

$$2\tilde{\Gamma} = (\mu_2 - \mu_1) \chi(t, \rho) + B_2 - 4G - \mu_1 U + V[2\mu_2 (t+1) - \mu_1]$$

$$D_1 = \mu_1 V; \quad D_2 = \mu_2 V$$

Отсюда находят B_1 , $\tilde{\Gamma}$, D_1 и D_2 ,

$$\text{где } \chi(t, \rho) = 3(t+1) v^{-1}(t) (0, 1) + \frac{f_1}{\mu_1} (t+3)^{-1} \frac{1}{\rho^2} (1, 0) \times \\ \times [R^2 \varphi(2) - \rho^2 I]$$

Формулы для Q_1 , Q_2 получаются из формул для P_1 и P_2 со следующими значениями: v_1 заменяются через v_2 , μ_1 через μ_2 , l_1 через l_2 , v_2 через v_1 , μ_2 через μ_1 и l_2 через l_1 . Q_1 через P_2 и Q_2 через P_1 . P_1 , P_2 , Q_1 , Q_2 — потом выражаются через фундаментальную матрицу.

ЛИТЕРАТУРА

- Лопотинский Я. Б. ДАН СССР, т. 79, 1951.
- Азимов М. А. Изв. АН Азерб. ССР, серия физ.-тех. и матем. наук, 1969, № 3.

Институт математики
и механики

Поступило 26. XI 1973

М. А. Азимов

Аյырма сәттің күрә олан фәза мәсәләсінин һәлли һағында
ХУЛАСӘ

Әмсаллар күрә ичәрисинде вә кәнарында мұхтәлиф олдуғда, сәттің үзәріндә гошмалыг шәрти верилдиккә Ламе системи үчүн бүтүн фәзада фундаментал һәлл тапылыштырып.

M. A. Asimov

The Solution of the Space Problem for the Sphere

SUMMARY

It is found the fundamental matrix for Lamo system [in the whole space for the case when Lamo coefficients inside and outside some sphere are different, and the conditions of conjugation are given on the surface of the sphere.

УДК 51383

МАТЕМАТИКА

М. Р. БУНЯТОВ

ГОМЕОМОРФИЗМ КОМПАКТОВ ГЕЛЬФАНДА И СТОУНА
АБСТРАКТНОЙ БУЛЕВОЙ АЛГЕБРЫ

(Представлено академиком АН Азербайджанской ССР А. И. Гусейновым)

В работе вводится ковариантный функтор β , действующий из категории булевых алгебр в категорию коммутативных комплексных банаховых алгебр и доказывается гомеоморфизм компакта S^* Стоуна [1] булевой алгебры S и компакта $(\beta(S))^*$ Гельфанд [2] коммутативной банаховой алгебры $\beta(S)$. Отметим, что функтор β имеет важное значение в теории абстрактных булевых алгебр и ее применениях к функциональному анализу.

Введем определения, необходимые для формулировки и доказательства теоремы о гомеоморфизме $S^* \sim (\beta(S))^*$.

Пусть S —абстрактная σ -полная булева алгебра и $\Sigma(S)$ —множество всех ее разбиений единицы, с отношением порядка, определяемым по формуле:

$$\lambda < \mu \Leftrightarrow \forall x \in \mu \exists y \in \lambda, x \wedge y = x, \forall \lambda, \mu \in \Sigma(S).$$

Предполагается, что булева алгебра S удовлетворяет условию (ω_0) : для любого счетного множества M разбиений единицы существует такое разбиение $\lambda_M \in \Sigma(S)$, что $\forall \lambda \in M \lambda < \lambda_M$. Для любого комплексного векторного пространства и для любых разбиений $\lambda, \mu \in \Sigma(S)$, таких, что $\lambda < \mu$ определим отображение $\chi_{\mu}^{\lambda}: E^{\lambda} \rightarrow E^{\mu}$ по формуле:

$$(\chi_{\mu}^{\lambda} f)(x) = f(y), \forall x \in \mu \forall y \in \lambda, x \wedge y = x. \quad (1)$$

Легко видеть, что χ_{μ}^{λ} есть изоморфизм векторного пространства E в E^{μ} . Непосредственно проверяется, что

$$\forall \lambda, \mu, \nu \in \Sigma, \lambda < \mu < \nu \rightarrow \chi_{\nu}^{\lambda} = \chi_{\nu}^{\mu} \circ \chi_{\mu}^{\lambda}.$$

Это показывает, что семейство $\{E^{\lambda}\}_{\lambda \in \Sigma(S)}$ образует прямой спектр типа $\Sigma(S)$ векторных пространств.

Рассмотрим предел $\lim_{\lambda \in \Sigma(S)} E^{\lambda}$ этого прямого спектра и обозначим его через E^S .

Определение 1. Элементы множества E^S называются булевскими цепями с коэффициентами из E .

Для поля C комплексных чисел булевские цепи из C^S называются комплексными булевскими цепями.

Определение 2. Комплексная (вещественная) булевская цепь f , $f \in C^S$ называется измеримой, если для любого борелевского множества $Q \subset C$ ($Q \subset R$)

$$V\{x \in \lambda | f(x) \in Q\} = Vf^{-1}[Q] \in S$$

Для любого элемента $a \in S$ определим булевскую цепь $\bar{1}_a$, называемую индикаторисой элемента a , следующей формулой

$$\bar{1}_a(x) = \begin{cases} 1, & \text{если } x = a \\ 0, & \text{если } a = x' \end{cases}, \quad \bar{1}_a: [a, a'] \rightarrow C.$$

Очевидно, что индикаториса $\bar{1}_a$ является измеримой булевской цепью.

Для любой комплексной булевской цепи $\bar{f} \in C^S$ имеет место представление $\bar{f} = \operatorname{Re} \bar{f} + i \operatorname{Im} \bar{f}$, где $\operatorname{Re} \bar{f} = \bar{\operatorname{Re}} \bar{f}$, $\operatorname{Im} \bar{f} = \bar{\operatorname{Im}} \bar{f}$ —вещественные булевские цепи, называемые реальной и мнимой частями булевской цепи \bar{f} , соответственно. Легко видеть, что булевская цепь \bar{f} измерима тогда и только тогда, когда измерима ее реальная и мнимая части. Очевидно также, что вещественная булевская цепь \bar{f} измерима тогда и только тогда, когда

$$\forall a \in R \quad V\{x \in \lambda | f(x) < a\} \in S$$

Предложение 1. Пусть $F(z)$ —измеримая по Борелю функция, \bar{f} —измеримая булевская цепь. Тогда булевская цепь $\bar{g}(x) = F(f(x))$, $x \in \lambda$ является измеримой булевской цепью.

На множестве R^S всех вещественных булевских цепей введем бинарное отношение $\bar{f} \leq \bar{g}$ по формуле:

$$\bar{f} \leq \bar{g} \Leftrightarrow \forall x \in \lambda \Lambda \mu, \chi_{\lambda \wedge \mu}^{\lambda}(\bar{f})(x) \leq \chi_{\lambda \wedge \mu}^{\lambda}(\bar{g})(x),$$

где $f \in R^{\lambda}$, $g \in R^{\mu}$.

Предложение 2. Бинарное отношение $\bar{f} \leq \bar{g}$ превращает множество R^S всех вещественных булевских цепей в решетку, согласующуюся со структурой векторного пространства на R^S , и следовательно, R^S является пространством Рисса. Если булева алгебра удовлетворяет условию (ω_0) , то векторная решетка R^S является относительно σ полной.

Предложение 3. Для любых измеримых вещественных булевских цепей \bar{f} и \bar{g} булевские цепи $\bar{f} + \bar{g}$, $\bar{f} \cdot \bar{g}$, $\bar{f} \wedge \bar{g}$ и $\bar{f} \vee \bar{g}$ измеримы. Отсюда, в частности, следует, что вместе с булевской цепью \bar{f} измерима ее положительная $\bar{f}^+ = \bar{f} VO$ и отрицательная $\bar{f}^- = -(\bar{f} \wedge O)$ части, и наоборот.

Предложение 4. Пусть $\{\bar{f}_n\}_{n=1}^{\infty} \subset R^S$ последовательность измеримых вещественных булевских цепей. Тогда измеримы булевские цепи h , g , f_* и f^* , определяемые равенствами:

$$h = \bigvee_{n=1}^{\infty} \bar{f}_n, \quad g = \bigwedge_{n=1}^{\infty} \bar{f}_n, \quad f^* = \bigwedge_{n=1}^{\infty} \bigvee_{m=n}^{\infty} f_m = \limsup_n f_n$$

$$f_* = \bigvee_{n=1}^{\infty} \bigwedge_{m=n}^{\infty} f_m = \liminf_n f_n$$

Это показывает, что множество всех измеримых вещественных булевских цепей образует относительно σ -полную подрешетку векторной решетки R^S и, кроме того, является подпространством векторного пространства R^S .

Для формулировки следующего предложения необходимы некоторые понятия.

Рассмотрим подспектр $\{R^\lambda\}_{\lambda \in \Sigma(S)}$ спектра $\{R^\lambda\}_{\lambda \in \Sigma(S)}$ и возьмем предел $\lim_{\lambda \in \Sigma(S)} \text{ind } R^\lambda$. Это пространство можно канонически отождествить с подпространством пространства R^S . Обозначим через $R^{O,S} \subset R^S$ соответствующее подпространство. Таким образом, $R^{O,S} = \lim_{\lambda \in \Sigma(S)} \text{ind } R^\lambda$.

Легко видеть, что $R^{O,S}$ представляет собой подпространство пространства R^S , порожденное индикаторами элементов булевой алгебры S . Элементы $\varphi \in R^{O,S}$ называются простыми булевскими цепями. В силу предложения 3, простые булевские цепи являются измеримыми.

Рассмотрим каждое из пространств $C^\lambda, \lambda \in \Sigma(S)$ в тихоновской топологии. Тогда для любых $\lambda, \mu \in \Sigma(S)$ таких, что $\lambda < \mu$ изоморфизм $\chi_\mu^\lambda : C^\lambda \rightarrow C^\mu$ будет непрерывным.

Рассмотрим индуктивный предел $\lim_{\lambda \in \Sigma(S)} \text{ind } C^\lambda$ локально-выпуклых топологических векторных пространств $C^\lambda, \lambda \in \Sigma(S)$. Непосредственно проверяется, что локально-выпуклое топологическое пространство $\lim_{\lambda \in \Sigma(S)} \text{ind } C^\lambda$ является строгим индуктивным пределом последовательности направленного по Муру—Смиту—Шатуновскому $\{C\}_{\lambda \in \Sigma(S)}$ локально-выпуклых топологических векторных пространств.

Предложение 5. Каждая измеримая булевская цепь \tilde{f} есть предел некоторой последовательности $\{\tilde{f}_n\}_{n=1}^\infty \subset R^{O,S}$ простых булевских цепей. Если булевская цепь $\tilde{f} \leq 0$, то ее можно представить как предел возрастающей последовательности неотрицательных простых булевских цепей.

Комплексная булевская цепь \tilde{f} называется ограниченной, если числовая функция $f : \lambda \rightarrow C$ ограничена. Обозначим через $\beta(S)$ множество всех измеримых комплексных ограниченных булевских цепей. Ясно, что $\beta(S)$ —подалгебра комплексной алгебры C^S . Введем норму $\|\tilde{f}\|$ на $\beta(S)$ по формуле:

$$\|\tilde{f}\| = \max_{x \in \lambda} |f(x)|, \quad \forall \tilde{f} \in \beta(S)$$

Предложение 6. Пусть S —абстрактная булева алгебра рода ω_0 . Тогда множество $\beta(S)$ образует вполне регулярную коммутативную банахову алгебру с единицей.

В силу теоремы Гельфандана банахова алгебра $\beta(S)$ изоморфна и изометрична с банаховой алгеброй всех непрерывных функций на компактном пространстве $(\beta(S))^*$ максимальных идеалов алгебры. Определение 3. Для булевой алгебры S компактное топологическое пространство $(\beta(S))^*$ называется компактом Гельфандана булевой алгебры S .

Теорема. Для каждой алгебры S ее компакт S^* Стоуна и компакт $(\beta(S))^*$ Гельфандана гомеоморфны.

Доказательство теоремы получается построением взаимнооднозначного соответствия \times , сопоставляющего каждому максимальному идеалу I булевой алгебры S максимальный идеал J банаховой алгебры $\beta(S)$, порожденный индикаторами элементов идеала I .

Пусть $\tau : R \rightarrow S_p$ —функция, сопоставляющая каждому нормированному кольцу A компакт, образованный пространством максимальных идеалов кольца A . $\beta : B \rightarrow R$ —функция булевой степени поля вещественных чисел и $\sigma : B \rightarrow S_p$ —функция Стоуна. Ясно, что τ и σ —контравариантные, а β —ковариантные функции. Рассмотрим композицию $\tau \circ \beta$. Ясно, что $\tau \circ \beta$ является контравариантным функционатором.

Теорему о гомеоморфизме бикомпакта Стоуна и бикомпакта Гельфандана можно выразить следующим образом:

Функторы σ и $\tau \circ \beta$ естественно эквивалентны.

Действительно, естественную эквивалентность этих функторов образует правило, сопоставляющее каждой булевой алгебре $S \in B$ гомеоморфизм $\times(S) : (\tau \circ \beta)(S) \rightarrow \sigma(S)$.

ЛИТЕРАТУРА

1. Сикорски Р. Булевые алгебры. „Мир“, М., 1969.
2. Наймарк М. А. Нормированные кольца. „Наука“, М., 1968.

АГУ им. С. М. Кирова

Поступило 13. III 1973

М. Р. Бунядов

Мүчәррәд Бул чәбринин Гелфанд вә Стоун компактларынын һомеоморфлуғы

ХУЛАСӘ

Мәгәләдә мүчәррәд Бул чәбри үчүн $\beta(S)$ инволюсијалы Банах чәбри тә'јин едилмишdir. Гурулмуш $S \rightarrow \beta S$ гајдасынын Бул чәбрләри категоријэсіндән Банах чәбрләри категоријасына тә'сир едән ковариант функтор олдуғу көстәрилмишdir. Бу функторун әсасында һәр бир Бул чәбри үчүн Гелфанд компакты βS дахил едилir. Мәгәләдә Бул чәбринин Гелфанд вә Стоун компактларынын һомеоморфлуғы исбат отунмушдур.

M. R. Binyatov

Homeomorphism of Gelfand's and Stone's compacts of general boolean algebras

SUMMARY

This article introduces Gelfand's compact of general Boolean algebra and proves the theorem on homeomorphism of Gelfand's and Stone's compacts of general Boolean algebra.

МАТЕМАТИКА

Чл.-корр. К. Т. АХМЕДОВ, С. В. ИСРАИЛОВ

РЕШЕНИЕ ОДНОГО КЛАССА ЛИНЕЙНЫХ ИНТЕГРО-
ДИФФЕРЕНЦИАЛЬНЫХ УРАВНЕНИЙ
С ЗАПАЗДЫВАЮЩИМ АРГУМЕНТОМ

Как известно, Н. К. Куликов разработал общий аналитический метод решения и исследование обыкновенных линейных дифференциальных уравнений, обладающий значительными преимуществами по сравнению с другими точными и приближенными методами [1]. В настоящей работе идеи метода Н. К. Куликова использованы для решения интегро-дифференциального уравнения вида

$$\sum_{v=1}^{n'} b_v y(\Delta_v(x)) = f(x) - L[y(x)], \quad (1)$$

где $L[y(x)]$ —линейный интегро-дифференциальный оператор с запаздывающим аргументом

$$L[y(x)] = \sum_{i=1}^m f_i(x) y^{(i)}(x) + \sum_{j=1}^m \sum_{l=0}^{\infty} \varphi_{j,l}(x) y^{(i)}(\Delta_{j,l}(x)) + \int_a^b \sum_{i=1}^m \psi_i(x, t) y^{(i)}(t) dt.$$

Здесь b_v —постоянные коэффициенты, все функции $f(x)$, $f_i(x)$, $\varphi_{j,l}(x)$, $\Delta_{j,l}(x)$, $\Delta_v(x)$ непрерывны при $a \leq x \leq b$ и обладают непрерывными первыми производными; кроме того, $a \leq \Delta_v(x) \leq b$, $a \leq \Delta_{j,l}(x) \leq b$, $\Delta_v(x) < x$, $\Delta_{j,l}(x) < x$ при $a \leq x \leq b$ и $\Delta_1(x) = x$, $b_1 = 1$. Ядра $\psi_i(x, t)$ также непрерывны в квадрате $a \leq x_1 t \leq b$ и имеют непрерывные частные производные первого порядка по переменной x . Наконец, $f_n(x)$ не обращается в нуль и $h \leq n$, $m \leq n-1$.

При указанных предположениях относительно функций $\Delta_v(x)$, $\Delta_{j,l}(x)$ уравнение (1) является интегро-дифференциальным уравнением с запаздывающим аргументом и имеет место так называемый критический случай [2], при котором начальное множество E_0 состоит из одной точки a и становится неприменимым метод шагов. В этом случае, как обычно, начальная задача ставится так: на начальном множестве E_0 задается последовательность чисел $y_i^{(i)}$, $i = 0, n-1$, и ищется решение $y(x)$ уравнения (1), удовлетворяющее условиям

$$y^{(i)}(a) = y_i^{(i)}, \quad a \in E_0, \quad i = 0, 1, 2, \dots, n-1. \quad (2)$$

Теорема. Решение задачи (1), (2) может быть найдено как решение системы линейных интегро-дифференциальных уравнений с запаздывающим аргументом.

$$\begin{aligned} \sum_{v=1}^{n'} b_v y(\Delta_v(x)) &= f(x) - L[y(x)] - \sum_{k=1}^n L[e^{r_k x}] A_k(a) + \\ &+ \sum_{k=1}^n (-1)^k (D a_0)^{-1} d_k \left\{ \int_a^x \sum_{l=1}^m r_k^l f_l(x) e^{r_k^{l(x-s)}} \eta[y(s)] ds + \right. \\ &+ \sum_{j=1}^m \sum_{l=0}^{\infty} \int_a^x r_k^l \varphi_{j,l}(x) e^{r_k^{l(x-s)}} \eta[y(s)] ds + \\ &\left. + \int_a^b \left(\int_a^x \sum_{l=1}^m r_k^l \psi_l(x, t) e^{r_k^{l(x-t)}} \eta[y(s)] ds \right) dt \right\}, \quad (1^*) \\ y^{(i)}(x) &= z^{(i)}(x) + \sum_{k=1}^n A_k(a) r_k^i e^{r_k x} + \\ &+ \sum_{k=1}^n (-1)^{k+1} (D a_0)^{-1} d_k r_k^i \int_a^x e^{r_k^{(x-s)}} \eta[y(s)] ds, \quad i = \overline{1, n}, \end{aligned}$$

удовлетворяющее начальным условиям (2).

Здесь r_k —корни уравнения

$$a_n r^n + a_{n-1} r^{n-1} + \dots + a_1 r + a_0 = 0,$$

причем параметры a_i , $i = 0, 1, 2, \dots, n$, постоянны и пока неопределены; функция $z(x)$ —частное решение дифференциального уравнения

$$a_n z^{(n)}(x) + a_{n-1} z^{(n-1)}(x) + \dots + a_1 z'(x) + a_0 z(x) = f(x),$$

$$A_k(a) = (Dr_k)^{-1} \left[D_k - D_{n,k} f_n^{-1}(a) \int_a^b \sum_{l=1}^m \psi_l(a, t) y^{(l)}(t) dt \right] e^{-r_k a};$$

D_k —определитель порядка n , получаемый из определителя D , определителя Вандермонда из корней r_k , $k = \overline{1, n}$, путем замены k -го столбца столбцом из элементов $y^{(1)}(a) - z^{(1)}(a)$, $j = \overline{1, n}$, где $y^{(1)}(a) = y^{(1)}(a)$ при $j = \overline{1, n-1}$ и

$$y^{*(n)}(a) = f_n^{-1}(a) \left[f(a) - \sum_{v=1}^{n'} b_v y(a) - \sum_{i=1}^{n-1} f_i(a) y^{(i)}(a) - \right. \\ \left. - \sum_{j=1}^m \sum_{l=0}^{\infty} \varphi_{j,l}(a) y^{(l)}(a) \right];$$

$D_{n,k}$ —алгебраическое дополнение элемента на пересечении n -строки и k -го столбца определителя D ; d_k —определитель порядка $(n-1)$, получаемый из D вычеркиванием первой строки и k -го столбца; $\eta[y(x)]$ —линейный интегро-дифференциальный оператор с отклоняющимся аргументом, определяется посредством формулы

$$\eta[y(x)] = 0(x) + \sum_{i=1}^{n'} \theta_i(x) y^{(i)}(x) + \sum_{v=1}^{n'} \theta_v^*(x) y'(\Delta_v(x)) +$$

$$+ \sum_{i=1}^m \sum_{l=0}^{\infty} \theta_{i,l}(x) y^{(i)}(\Delta_{i,l}(x)) + \sum_{j=1}^m \sum_{l=0}^{\infty} \theta_{j,l}^*(x) y^{(i+l)}(\Delta_{j,l}(x)) +$$

$$+ \int_a^b \sum_{i=1}^m \theta_i^*(x, t) y^{(i)}(t) dt,$$

где

$$\begin{aligned} \theta(x) &= f'(x) - a_n [(f(x)f_n^{-1}(x))' - f(x)(f_n^{-1}(x))'], \\ \theta_1(x) &= [(f_1(x)f_n^{-1}(x))' - f_1(x)(f_n^{-1}(x))'] a_n - a_0, \\ \theta_i(x) &= [(f_i(x)f_n^{-1}(x))' - f_i(x)(f_n^{-1}(x))' + f_{i-1}(x)f_n^{-1}(x)] a_n - a_{i-1}, \quad i = 2, 3, 4, \dots, n; \\ \theta^*(x) &= a_n b, \quad f_n^{-1}(x) \Delta^*(x), \\ \theta_{j,i}(x) &= a_n [(\varphi_{j,i}(x)f_n^{-1}(x))' - \varphi_{j,i}(x)(f_n^{-1}(x))'], \\ \theta_{j,i}^*(x) &= a_n \varphi_{j,i}(x) f_n^{-1}(x) \Delta_{j,i}^*(x), \\ \theta_i^*(x, t) &= a_n \left[\frac{\partial}{\partial x} (\psi_i(x, t)f_n^{-1}(x)) - \psi_i(x, t)(f_n^{-1}(x))' \right]. \end{aligned}$$

Следствие. Если функция $y(x)$ — решение задачи (1), (2), то функция $\eta[y(x)]$ является решением интегрального уравнения

$$\eta[y(x)] = W(x) + \int_a^b W(x, s) \eta[y(s)] ds, \quad (3)$$

где $W(x)$, $W(x, s)$ — некоторые известные функции. И наоборот, если функция $\eta[y(x)]$ является решением интегрального уравнения (3), то формулы в теореме дают выражения для решения задачи (1), (2) и его производных до n -го порядка включительно.

К интегральному уравнению (3) полностью применима теория Фредгольма и можно сформулировать соответствующие утверждения, дающие условия разрешимости задачи (1), (2).

В общем случае для нахождения решения задачи (1), (2) и его производных до n -го порядка включительно получена система интегро-дифференциальных уравнений (1*), которую можно решить методом последовательных приближений. Присутствующие в этой системе неопределенные параметры a_i , $i = 0, 1, 2, \dots, n$ можно определить, исходя из соображений, обеспечивающих высокую точность расчетов на основе низших приближений. Можно руководствоваться соответствующими соображениями и при нахождении функции $\eta[y(x)]$ как решения интегрального уравнения (3). Например, решение в кулевом приближении задачи (1), (2) будет мало отличаться в окрестности начальной точки от ее точного решения, если положить

$$\theta(a) + \sum_{i=1}^n \theta_i^*(a) + \sum_{i=0}^{\infty} \theta_{j,i}(a) = 0,$$

$$\sum_{i=2}^m \theta_i(a) + \sum_{i=2}^m \sum_{l=0}^{\infty} \theta_{i,l}(a) + \sum_{j=1}^{m-1} \sum_{l=0}^{\infty} \theta_{j,l}^*(a) = 0,$$

$$\sum_{i=m+1}^n \theta_i(a) + \sum_{l=0}^{\infty} \theta_{m,l}^*(a) = 0.$$

ЛИТЕРАТУРА

1. Куликов Н. К. Инженерный метод решения и исследования обыкновенных линейных дифференциальных уравнений. М., Изд-во ВШ, 1964.
2. Эльсгольц Л. Э., Норкин С. Б. Введение в теорию дифференциальных уравнений с откладящимся аргументом. Изд-во „Наука“, М., 1971.

Г. Т. Эймэдов, С. В. Исаилов

Бир синиф кечикэн аргументли хэтти интегро-дифференциал тәнликләр системинин һәлли
ХУЛАСЭ

Мәтәләдә гејри-мүәյҗән параметрләр үсулу бир синиф интегро-дифференциал тәнликләрин һәлл олу мәсъна тәтбиг еди мишдир.

K. T. Achmedov, S. V. Israfilov

Solution of one class of linear integro-differential-difference equations

SUMMARY

In the given paper is used method of indefinite parameters to solve the integro-differential-difference equations

$$\begin{aligned} &\sum_{i=1}^n b_i y_i(\Delta_i(x)) + \sum_{i=1}^n y_i(x) f^{(i)}(x) + \sum_{j=1}^m \sum_{l=0}^{\infty} \varphi_{j,l}(x) y^{(l)}(\Delta_{j,l}(x)) + \\ &+ \int_a^b \sum_{i=1}^m \psi_i(x, t) y^{(i)}(t) dt = f(x). \end{aligned}$$

УДК 539.12.01

ФИЗИКА

Н. А. ГУЛИЕВ, И. Г. ДЖАФАРОВ

**ПЕРЕНОРМИРУЕМАЯ МОДЕЛЬ СЛАБЫХ ЛЕПТОННЫХ
ВЗАИМОДЕЙСТВИЙ, СОДЕРЖАЩАЯ В ЛОКАЛЬНОМ
ПРЕДЕЛЕ ПРИМЕСЬ $V+A$ -ВАРИАНТА**

(Представлено академиком АН Азербайджанской ССР Г. Б. Абдуллаевым)

1. В последние годы в связи с трудностями традиционной схемы универсального слабого взаимодействия появилось много работ, посвященных попыткам выйти за ее рамки (обсуждение этих работ см., напр., в [1, 2]). Среди них особое место занимают перенормируемые теории слабых взаимодействий.

В настоящей работе предлагается перенормируемая модель, согласно которой слабое взаимодействие лептонов осуществляется посредством двух скалярных частиц—электрически заряженной B и нейтральной B^0 , обладающих одновременно обоими лептонными (электронным и мюонным) зарядами. Настоящая теория является развитием теории Таникавы—Ватанабе [3]. В отличие от последней, исследуемая модель допускает возможность отклонения от обычного $V-A$ -варианта также в области низких энергий. Необходимость такого описания следует, в частности, из того факта, что экспериментальные значения параметров μ -распада не совпадают точно со значениями, предсказываемыми локальной 4-фермационной $V-A$ -теорией.

Ранее перенормируемая модель с двумя скалярными промежуточными частицами была предложена нами [4] для описания полуlepтонных процессов.

2. Мы постулируем следующий вид исходного лагранжиана взаимодействия:

$$L = \{g\bar{\nu}_\mu(1-\gamma_5)\nu_e + \bar{g}\bar{\nu}_\mu(1-\gamma_5)e^c\}B + \\ + \{f\bar{\nu}_\mu(1-\gamma_5)e + \bar{f}\bar{\nu}_\mu(1-\gamma_5)\nu_e\}B^0 + h.c., \quad (1)$$

где g , \bar{g} , f и \bar{f} —константы связи полуслабых взаимодействий; e , μ , ν_e и ν_μ —операторы уничтожения соответственно частиц e^- , μ^- , ν_e и ν_μ ; e^c и ν_e^c —операторы, зарядово сопряженные к e и ν_e ; представление γ -матриц и метрика аналогичны принятым в монографии Окуни [5].

Используя соотношения Паули-Фирца, можно показать, что взаимодействие с обменом B -частицей приводит в локальном пределе к $V-A$ -варианту [3], а взаимодействие с обменом B^0 -частицей—к $V+A$ -

варианту. Следовательно, согласно рассматриваемой теории возможное отклонение недиагонального взаимодействия в локальном пределе от обычного $V-A$ -вида обусловливается примесью $V+A$ -взаимодействия.

Локальный предел амплитуды недиагонального взаимодействия, индуцируемого лагранжианом (1), имеет вид

$$M = iF_v(\bar{u}_{\nu_\mu}O_a u_\mu)\{\bar{u}_e\gamma_a(1+\epsilon\gamma_5)u_e\}, \quad (2)$$

где

$$\epsilon = \frac{F_A}{F_V}, \quad \left[\begin{array}{c} F_V \\ F_A \end{array} \right] = \frac{g^* \bar{g}}{2m_B^2} \mp \frac{f^* \bar{f}}{2m_B^2}. \quad (3)$$

Как видно из (2), величина ϵ , характеризующая отклонение от $V-A$ -теории, входит в „электронные“ скобки. Однако можно рассмотреть и такой вариант модели, когда величина, характеризующая отклонение от $V-A$ -теории, войдет в „мюонные“ скобки [6].

Параметр	Экспериментальное значение	ϵ_{\max}	$10^2 \cdot R_{\max}$	r_{\min}
ρ ($\eta \equiv 0$)	$0,747 \pm 0,005$ [7]	1,232	10,38	3,10
	$0,760 \pm 0,009$ [8]	—	—	—
	$0,762 \pm 0,008$ [9]	—	—	—
	$0,760 \pm 0,037$ [10]	1,479	19,32	2,28
	$0,7503 \pm 0,0026$ [10]	1,117	5,55	4,25
	$0,7523 \pm 0,0024$ [11]	1,023	1,15	9,31
ρ^*	$0,76 \pm 0,07$ [10]	1,836	29,49	1,84
	$0,752 \pm 0,005$ [10]	1,135	6,34	3,97
	$0,751 \pm 0,003$ [10]	1,109	5,17	4,40
	$0,752 \pm 0,003$ [11]	1,076	3,65	5,23
ξ	$0,97 \pm 0,05$ [12]	1,333	14,29	2,65
	$0,94 \pm 0,07$ [13]	1,449	18,33	2,34
	$0,975 \pm 0,015$ [14]	1,223	10,05	3,15
δ	$0,78 \pm 0,05$ [13]	1,437	17,92	2,36
	$0,782 \pm 0,031$ [15]	1,383	16,07	2,49
	$0,752 \pm 0,009$ [9]	1,149	6,94	3,80
h	$1,05 \pm 0,30$ [16]	2,215	37,80	1,63
	$0,94 \pm 0,38$ [17]	3,265	53,11	1,37
	$1,04 \pm 0,18$ [18]	1,756	27,44	1,91
	$0,89 \pm 0,28$ [19]	2,938	49,22	1,43

* Эти значения параметра ρ найдены при одновременной подгонке по ρ и η . Соответствующие значения параметра η следующие:

$$\eta = -0,24 \pm 0,61; |\eta| < 0,5; \eta = -0,31 \pm 0,30; \eta = -0,12 \pm 0,21.$$

3. На примере μ -распада, единственного экспериментально хорошо изученного лептонного слабого процесса, проанализируем следствия предлагаемой в настоящей работе модели слабого взаимодействия лептонов. Амплитуда (2) приводит к следующим значениям для параметров μ -распада:

$$\rho = \frac{3}{8}(1+N), \quad \eta = 0, \quad \xi = 2N - 1, \quad (4)$$

$$\delta = \frac{\rho}{\xi}, \quad h = N, \quad \text{где } N = \frac{2 \operatorname{Re} \epsilon}{1 + |\epsilon|^2}.$$

Легко убедиться, что параметры (4) ограничены следующими условиями:

$$0 < \rho < \frac{3}{4}, \quad -3 < \xi < 1, \quad -1 < h < 1, \quad \delta < 0 \text{ и } \delta > \frac{3}{4}. \quad (5)$$

Значения $\rho = 0$, $\xi = -3$, $\delta = 0$ и $h = -1$ относятся к случаю $\epsilon = -1$, а значения $\rho = \frac{3}{4}$, $\xi = 1$, $\delta = \frac{3}{4}$ и $h = 1$ — к случаю $\epsilon = 1$. Этим двум случаям соответствуют $V+A$ - и $V-A$ -варианты локального взаимодействия заряженных токов ($\bar{\nu}_\mu \nu_\mu$) и ($\bar{e} e_e$).

В таблице приведены экспериментальные значения параметров ρ , ξ , δ и h μ -распада. Как видно, они за исключением значений $\rho = -0,760 \pm 0,009$ и $\rho = 0,762 \pm 0,008$ ($\eta = 0$), находятся в согласии со следствиями (5) рассматриваемой модели. В следующие столбцы внесены соответственно верхние границы значений параметра ϵ (полагаем ϵ вещественным); верхние границы величины

$$R = (f^* \bar{f} / 2m_B^2) / (g^* \bar{g} / 2m_B^2),$$

т. е. отношения констант локальных $V+A$ - и $V-A$ -взаимодействий, и нижние границы величины $r = m_B / m_V$, вычисленные при $|g^* \bar{g}| = |f^* \bar{f}|$. Следует отметить, что параметр ϵ ограничен снизу величиной $1/\epsilon_{\text{max}}$. Из таблицы видно, что наиболее жесткое ограничение на указанные величины дает значение $\rho = 0,7523 \pm 0,0024$ ($0,98 < \epsilon < 1,02$; $R < 0,01$; $r > 9,3$), а наиболее слабое ограничение следует из $h = 0,94 \pm 0,38$ ($0,31 < \epsilon < 3,27$; $R < 0,53$; $r > 1,4$).

В заключение отметим, что эффекты нелокальности, вероятно, несколько изменят сделанные выводы. Повышение точности измерения величин h , ξ и δ , а также изучение других лептонных процессов позволят сделать более определенные выводы о приемлемости рассматриваемой модели и ее параметрах.

ЛИТЕРАТУРА

1. Иоффе Б. Л. УФН, 110, № 3, 357, 1973.
2. Шабалин Е. П. О структуре слабых взаимодействий. ИТЭФ-21, М., 1973.
3. Tanikawa, Watanabe S. Phys. Rev., 113, № 5, 1344, 1959.
4. Гулиев Н. А., Джадаров И. Г. Мат-лы междунар. семинара по взаимодействию адронов при высоких энергиях. Баку, 1972, стр. 29; Изв. АН Азерб. ССР, серия физ.-техн. и матем. наук, № 1, 155, 1973.
5. Окуни Л. Б. Слабое взаимодействие элементарных частиц. М., 1963.
6. Гулиев Н. А., Джадаров И. Г. Препринт № 23, ИФАН Азерб. ССР, Баку, 1973.
7. Bardon M. et al. Phys. Rev. Lett., 14, № 12, 449, 1965.
8. Sherwood B. A. Phys. Rev., 156, № 5, 1475, 1967.
9. Fryberger D. Phys. Rev., 166, № 5, 1379, 1968.
10. Derenzos S. E. Hildebrand R. H. Phys. Rev. Lett., 20, № 12, 614, 1968.
11. Derenzos S. E. Phys. Rev., 181, № 5, 1854, 1969.
12. Bardon M. et al. Phys. Rev. Lett., 2, № 2, 56, 1959.
13. Pion R. J. Phys. Rev., 119, № 4, 1400, 1960.
14. Гуревич И. И. и др. ЯФ, 6, № 2, 316, 1967.
15. Kruger G. University of California Radiation Laboratory Report No. UCRL-9322, 1961.
16. Buhler A. et al. Phys. Lett., 7, № 5, 368, 1963.
17. Bloom S. et al. Phys. Lett., 8, № 1, 87, 1964.
18. Duclos J. et al. Phys. Lett., 9, № 1, 62, 1964.
19. Schwartz D. M. Phys. Rev., 162, № 5, 1306, 1967.

Институт физики

Поступило 18. III 1974

Н. А. Гулиев, И. Н. Чәфәров

Зәиф лептон гаршылыгы тә'сирләринин локал лимитдә $V+A$ вариант ашгарына малик олан ренормаллана билән модели

ХУЛАСӘ

Мәгаләдә лептон зәиф гаршылыгы тә'сирләринин ренормаллана билән модели ирәли сүрүлмүшдүр. Моделә көрә лептоналарын зәиф гаршылыгы тә'сири ики скалјар бозон виситәсилә баш верир. Тәклиф олунан иәзәрийәнин характеристик хүсусијәтләриндән бири онун энәнәви $V-A$ иәзәрийәдән, һәмчинин кичик енержи областында да мејләтмә имканыны иәзәрә алмасыдыр. Бу мејл дөрдфермионлу гаршылыгы тә'сири мудахиләсилә шәртләнir.

Мәгаләдә μ -парчаланманын параметрләри үчүн ифадәләр алынышдыры. Ыәмин ифадәләрин үзүн тәчрубы фактларла мүгәјисәснән дәйкчамалдан иәзәрийәнин параметрләри (иәзәрийәнин локал лимитин дөрдфермионлу $V-A$ -вариантдан мејлини хәрактеризә сән кәмијәт; локал $V+A$ -вә $V-A$ -гаршылыгы тә'сир сабитләринин иисбәти; аралыг зәррәчикләрин күтләләринин иисбәти) үчүн мәһдудијәтләр тапшылышдыр.

N. A. Guliyev, I. G. Jafarov

Renormalizable model of weak lepton interactions containing $V+A$ version admixture in the local limit

SUMMARY

The paper suggests a renormalizable model admitting the leptonic weak interaction to occur via two scalar bosons. One of the distinguishing features of this theory is that it admits a deviation from the traditional four-fermion $V-A$ theory in the low-energy region as well. The mentioned deviation is due to the admixture of the four-fermion $V+A$ interaction. The expressions for the μ -decay parameters have been derived. By comparison of these expressions with the respective experimental data the restrictions for the parameters (the value characterizing the deviation of the local limit of the theory from the four-fermion $V-A$ version; the relation between the constants of the local $V+A$ and $V-A$ interactions; the relation between the masses of the intermediate particles) of the theory in question have been obtained.

УДК 537. 212:546. 23:772. 93

ФИЗИКА

М. Я. БЕКИРОВ, Г. А. МАМЕДОВА

ФОТОВОЛЬТАИЧЕСКИЕ СВОЙСТВА ДИФФУЗИОННЫХ Р—П-ПЕРЕХОДОВ В СПЛАВАХ Ge—Si

(Представлено академиком АН Азербайджанской ССР Г. Б. Абдуллаевым)

В полупроводниковой электронике при изготовлении приборов ведутся поиски новых материалов, обладающих определенным сочетанием основных полупроводниковых и физико-химических свойств. В этом отношении практический интерес представляет система твердых растворов германий-кремний.

При добавлении кремния в германий происходит плавное и закономерное изменение таких важных параметров сплава Ge—Si, как ширина запрещенной зоны, подвижность носителей и собственная проводимость [1—3], которые определяют характеристики приборов.

Для полупроводниковой электроники практически интересными являются сплавы Ge—Si с содержанием второго компонента до 15 ат. %, т. к. именно в этом интервале концентрации кремния происходит наиболее быстрое изменение основных полупроводниковых параметров (линейное увеличение ширины запрещенной зоны от 0,68 эв для чистого германия до 0,94 эв для сплава Ge—Si с 15 ат. % Si и резкое уменьшение подвижности носителей и собственной проводимости) [1—3].

Отсутствие надежной методики получения однородных и качественных монокристаллов системы германий-кремний с относительно высоким содержанием второго компонента долгое время исключало возможность практического применения сплавов Ge—Si для изготовления приборов. В институте физики АН Азербайджанской ССР был разработан оригинальный метод получения однородных монокристаллов сплавов Ge—Si с содержанием кремния до 15 ат. % [4]. Это позволило нам изготовить Р—П-переходы на основе сплавов Ge—Si и исследовать их фотоэлектрические свойства с целью выявления возможности создания на основе сплавов Ge—Si малоинерционных и высокочувствительных фотоприемников излучения, работающих в ближней ИК-области спектра.

Р—П-переходы были изготовлены диффузией сурьмы из газовой фазы в эвакуированных кварцевых ампулах при температуре 750°C в течение 1 ч на основе монокристаллов Ge—Si Р-типа проводимости с 8, 10, 12 и 15 ат. % Si.

На рис. 1 приведены спектральные распределения чувствительности диффузионных Р—П-переходов на основе монокристаллов сплавов Ge—Si и чистых компонентов. Из рисунка видно, что максимумы чувствительности элементов из сплава Ge—Si расположены между максимумами чувствительности элементов из чистых компонентов.

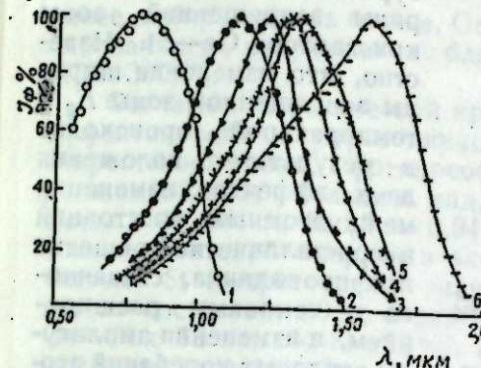


Рис. 1. Спектральные характеристики диффузионных Р—П-переходов на основе кристаллов сплавов Ge—Si и чистых компонентов (300°К): 1—Si; 2—85% Ge+15% Si; 3—88% Ge+12% Si; 4—90% Ge+10% Si; 5—92% Ge+8% Si; 6—Ge.

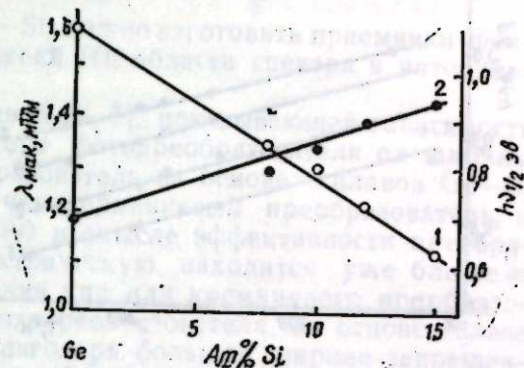


Рис. 2. Зависимость λ_{\max} и $h\nu_{1/2}$ от состава сплава Ge—Si: 1— λ_{\max} , 2— $h\nu_{1/2}$

С увеличением содержания кремния в германии форма спектральной характеристики элементов из сплава Ge—Si приближается к форме спектральной характеристики кремниевых фотоэлементов. Более широкая область спектральной чувствительности элементов из сплава Ge—Si по сравнению с чистым кремнием связана с большей длиной диффузионного смещения носителей в них, что в свою очередь является следствием большей подвижности носителей. По полуспаду чувствительности были определены значения ширины запрещенной зоны ($E_g \approx h\nu_{1/2}$) сплавов с разным составом,

которые согласовались со значениями ширины запрещенной зоны E_g сплавов Ge—Si, полученными из оптических измерений [1, 2].

На рис. 2 приведены зависимости максимума чувствительности λ_{\max} и пороговой энергии $h\nu_{1/2}$ от состава сплава. Видно, что

в области содержания кремния (0÷15) ат. % λ_{\max} и $h\nu_{1/2}$ линейно изменяются с составом сплава, что согласуется с характером изменения зонной структуры сплавов Ge—Si [5]. При добавлении кремния в германий все три минимума зоны проводимости германия стабилизируются вверх, но с разной скоростью. В пределах концентрации кремния (0÷15) ат. % минимум $<111>$ остается в сплаве Ge—Si ниже минимумов $<000>$ и $<100>$, и ширига запрещенной зоны определяется положением минимума $<111>$, как в чистом германии. Линейное изменение λ_{\max} и $h\nu_{1/2}$ с ростом кремния в германии до

15 ат. % связано с постоянной скоростью перемещения минимума $<111>$ вверх.

Линейная зависимость λ_{\max} и $h\nu_{1/2}$ от состава сплава в области (0÷15) ат. % Si дает возможность, заранее выбирая состав сплава, изготовить фотоприемники излучения в любой области спектра между 1,1 мкм и 1,6 мкм при 300°К.

Исследования температурных зависимостей спектральных характеристик показали, что пороговая энергия фотона с повышением температуры в интервале (150–360°К) линейно смещается в сторону меньших энергий (рис. 3), что обусловлено температурной зависимостью ширины запрещенной зоны кристаллов Ge–Si. Известно, что изменение ширины запрещенной зоны E_g с температурой происходит в результате наложения двух эффектов: изменения междуатомных расстояний в кристаллической решетке полупроводника, связанного с тепловым расширением, и изменения амплитуды тепловых колебаний атомов решетки. В чистом кремнии первый эффект вызывает увеличение E_g с температурой, а второй — уменьшение. В результате наложения обоих эффектов в кремнии происходит уменьшение E_g с повышением температуры. В германии оба эффекта приводят к уменьшению E_g с повышением температуры [10]. Значения температурного коэффициента ширины запрещенной зоны α_g для сплавов Ge–Si, вычисленные из зависимости $h\nu_1 = f(T)$, остаются того же порядка, что и для чистых компонентов, несколько уменьшаясь с ростом содержания кремния в германии (см. таблицу). Понижение α_g в сплавах

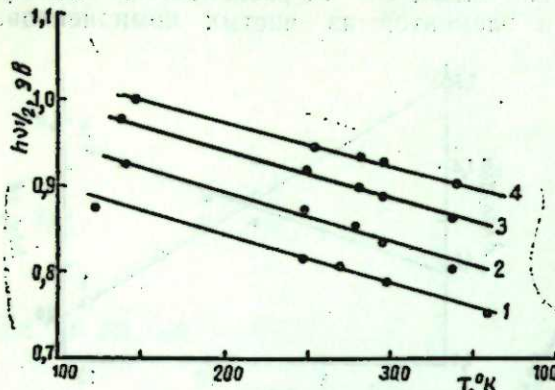


Рис. 3. Температурная зависимость $h\nu_1$ для диффузионных $p-n$ -переходов на основе сплава Ge–Si с разными содержаниями кремния: 1—92% Ge+8% Si; 2—90% Ge+10% Si; 3—88% Ge+12% Si; 4—85% Ge+15% Si

наложения обоих эффектов в кремнии происходит уменьшение E_g с повышением температуры. В германии оба эффекта приводят к уменьшению E_g с повышением температуры [10]. Значения температурного коэффициента ширины запрещенной зоны α_g для сплавов Ge–Si, вычисленные из зависимости $h\nu_1 = f(T)$, остаются того же порядка, что и для чистых компонентов, несколько уменьшаясь с ростом содержания кремния в германии (см. таблицу). Понижение α_g в сплавах

Максимумы чувствительности λ_{\max} для $p-n$ -переходов на основе сплавов Ge–Si с повышением температуры линейно смещались в сторону меньших энергий фотона, что соответствует линейному изменению энергии прямых и непрямых переходов с температурой. Благодаря линейному изменению λ_{\max} и $h\nu_1$ с температурой, заранее выбирая состав сплава, Ge–Si, можно изготовить приемники фиксированного излучения в ближней ИК-области спектра в интервале (150–360)°К.

Согласно теоретической кривой [6, 7], показывающей зависимость эффективности полупроводникового фотопреобразователя от ширины запрещенной зоны, фотопреобразователь на основе сплавов Ge–Si должен обладать большим КПД, чем германиевый преобразователь, а сплав с 15 at. % Si ($E_g = 0,94$ эВ) в смысле эффективности преобразования световой энергии в электрическую находится уже ближе к чистому Si (теоретическое значение КПД для кремниевого преобразователя составляет 20%, а для фотопреобразователя на основе сплава Ge–Si с 15 at. % Si—16%). Благодаря большой ширине запрещенной зоны сплавов Ge–Si фотопреобразователь на их основе будет работать при более высоких температурах и давать большую фотозадачу U_Φ , чем германиевый преобразователь, и больший фототок короткого замыкания J_Φ , чем кремниевый преобразователь [7].

В связи с этим, в данной работе были исследованы статические фотоэлектрические характеристики диффузионных $p-n$ -переходов на основе сплавов Ge–Si.

Исследования показали, что в широком интервале освещенностей вольтамперная характеристика диффузионного $p-n$ -перехода в сплаве Ge–Si описывается общей теорией фотовольтаического эффекта в $p-n$ -переходе с учетом генерационно-рекомбинационных процессов в слое объемного заряда [8, 9]:

$$U_\Phi = \frac{\beta K T}{q} \ln \left(\frac{J_\Phi - J}{J_0} + 1 \right) - JR, \quad (1)$$

где β —безразмерный коэффициент, J_0 —предэкспоненциальный множитель, JR —падение напряжения в толще полупроводника, K —постоянная Больцмана, T —абсолютная температура.

Экспериментальные значения β и J_0 оказались равными 1,5–2 и $(1-3) \cdot 10^{-4} \frac{a}{cm}$, соответственно.

На рис. 4 представлено семейство нагрузочных характеристик для $p-n$ -перехода на основе сплава Ge–Si с 15 at. % Si при разных освещенностях (300°К). Аналогичные кривые имели место и для остальных исследованных сплавов. Определенные из нагрузочных характеристик значения коэффициента заполнения γ и оптимального сопротивления нагрузки R_{opt} , на котором выделяется максимальная мощность, увеличивались с ростом содержания кремния в германии (см. таблицу). Исследования зависимости фотозадачи холостого хода U_{xx} и плотности фототока короткого замыкания J_{kz} от содержания кремния в сплаве показали, что наблюдается повышение U_{xx} и уменьшение J_{kz} с ростом содержания кремния в сплаве Ge–Si. Поскольку с ростом содержания кремния в германии γ увеличивается, а повышение U_{xx} происходит в большей степени, чем уменьшение J_{kz} (таблица), то максимальная мощность ($P_{max} = \gamma J_{kz} U_{xx}$), снимаемая с единицы площади фотопреобразователя на оптимальной нагрузке и, следовательно, коэффициент полезного действия η , повышаются в

Таблица

основных параметров сплавов Ge–Si и $p-n$ -переходов на их основе, найденных из фотоэлектрических характеристик

Состав сплава	$\lambda_{\max}, \text{мкм}$ (300°К)	$E_g, \text{эВ}$ (300°К)	$\frac{\partial E_g}{\partial T} \cdot 10^{-4}, \text{эВ/град}$	$E_g, \text{эВ}$ (0°К)	При 100 $\frac{\text{мвт}}{\text{см}}$ 2 (300°К)				$U_{xx}, \text{мв}$	$J_{kz}, \text{амп/см}^2$	γ	$R_{opt}, \text{ом}$	$\eta, \%$	$U_{xx}, \text{эВ}$ (0°К)	$\frac{\partial U_{xx}}{\partial T} \cdot 10^{-3}, \text{эВ/град}$
					$I_{xx}, \text{амп}$	$R_{opt}, \text{ом}$	$\eta, \%$								
92% Ge + 8% Si	1,350	0,79	-4,85	0,96	200	40	0,5	50	4	0,85	—2,2				
90% Ge + 10% Si	1,300	0,84	-4,60	1,01	220	35	0,56	65	4,2	0,94	—2,1				
88% Ge + 12% Si	1,225	0,89	-4,45	1,04	235	32	0,58	80	4,4	0,96	—2,4				
85% Ge + 15% Si	1,125	0,93	-4,20	1,07	250	28	0,65	100	4,5	0,98	—2,4				

Ge–Si с ростом содержания кремния, по-видимому, связано с быстрым уменьшением эффекта, вносимого изменением междуатомных расстояний. Значения ширины запрещенной зоны сплавов Ge–Si, полученные электрополированием зависимостью $h\nu_1$ к 0°К (см. таблицу),

согласовались со значениями ширины запрещенной зоны сплавов Ge–Si при 0°К, приведенными в [2].

сплавах Ge—Si по сравнению с германием, что согласуется с теоретической кривой [6, 7].

Исследования показали, что ток короткого замыкания мало меняется с температурой, а напряжение холостого хода линейно увеличивается при понижении температуры со скоростью $\frac{\partial U_{xx}}{\partial T} = (2 \div 2,4)$.

$\cdot 10^{-3} \frac{V}{\text{град}}$ (рис. 5). Экспериментальные значения $\frac{\partial U_{xx}}{\partial T}$ соответствуют ожидаемым из теоретической формулы

$$\frac{\partial U_{xx}}{\partial T} = \frac{U_{xx}q - F_g}{qT} \quad (2),$$

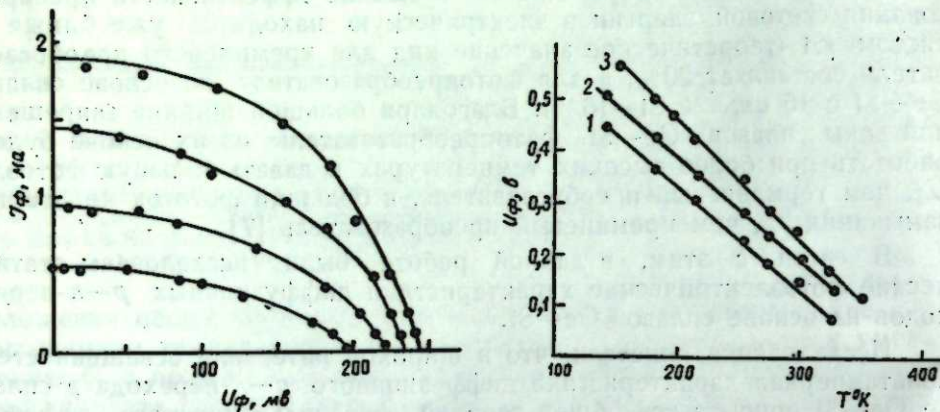


Рис. 4. Семейство нагрузочных характеристик для сплава Ge—Si с 8 и 15 ат.-% Si и чистого герmania (300°K).

если учесть, что E_g для сплавов Ge—Si с (0÷15) ат.-% Si составляет $(0,70 \div 0,93)$ эВ, а $U_{xx} = (0,2 \div 0,3)$ в. Значения $U_{xx}(0^{\circ}\text{K})$, полученные экстраполированием прямой $U_{xx} = f(T)$ к оси ординат, удовлетворительно согласовались с $\frac{E_g(0^{\circ}\text{K})}{q}$ для каждого состава сплава. Из рис.

5 видно, что $p-n$ -переход на основе сплава Ge—Si может работать в вентильном режиме при более высоких температурах, чем германевый $p-n$ -переход.

Таким образом, из результатов исследований фотоэлектрических характеристик диффузионных $p-n$ -переходов на основе монокристаллов сплавов Ge—Si (0÷15) ат.-% Si следует, что сплавы Ge—Si могут быть успешно применены для изготовления фотоприемников фиксированного излучения в ближней ИК-области спектра в интервале температур $77 \div 400^{\circ}\text{K}$. Фотопреобразователи на основе сплава Ge—Si обладают большим диапазоном рабочих температур и большей эффективностью преобразования световой энергии в электрическую по сравнению с германевыми преобразователями.

ЛИТЕРАТУРА

1. Johnson E. R., Cristian S. M. Phys. Rev., v. 95, p. 560, 1954.
2. Blaustein R., Moore A., Herman F. Phys. Rev., v. 109, 695, 1958.
3. Levitas A. Phys. Rev., 99, 6, 1810, 1955.
4. Таиров С. И., Тагиров В. И., Шахтахтинский М. Г., Вигдарович В. И., Кулиев А. А. ДАН СССР, "Химия", т. 176, № 4, стр. 851, 1967.
5. Herman F. Phys. Rev., 95, 3, 847, 1954.
6. Kleinman D. A. Bell System Tech. J. 40, 85, 1960.
7. Loferski F. F. Appl. Phys. 27(7) 777, 1956.
8. Sah C. T., Noyce R., Shockley W. Proc. JRE, 45, 1228, 1957.
9. Shockley W., Queisser H. F. Appl. Phys., 32, 3, 510, 1961.
10. Moss T. Оптические свойства полупроводников. Под ред. В. С. Вавилова, ИЛ, 1961.

Поступило 13. VIII 1973

Институт физики

М. Я. Бакиров, К. Э. Мамедова

Бәрк мәһлүллү Ge—Si монокристалында диффузион $p-n$ кечидинин фотовольтаик хасселәри

ХУЛАСЭ

Силициумун мигдары мұхтәлиф олан бәрк мәһлүллү Ge—Si монокристалында диффузион $p-n$ кечиди глыкыш вә онларын фотоэлектрик хасселәри өјрәнилмишdir. Тә'жин олуңмушдур ки, атом $(0 \div 15)$ олан областда λ_{\max} вә $h\nu_1$ силициумун фазлә мигдарындан

асылы оларға хәтти дәжишir. Бу хассә, әввәлчәдән мәһлүлүн тәркибини сечмәкла, 1,1—16 км областында истәнилән шүгләнмаја уйғуны, 300°K температурда ишләjән гәбуледичи һәзырлама имкән верир.

Температур өзелдигча мәксимум һәссаслыг фотонун енержисинин бөјүк гијметләринә тәрәф хәтти сүрүшүр ки, бу да алчаг температурда мүәjjән шүгләнмәја уйғуны гәбуледичи һәзырламаг учун мәһлүлүн лазым олан тәркибини сечмәjә имкан јаредыр.

Көстәрилмишdir ки, Ge-дә Si-ун мигдары артыгча Ge—Si мәһлүлүндөн һәзырламыш фотокечиричиләрин ишыг енержисини электрик енержисинә чевирмәси габиljәти вә ишчи температуру јүксләр.

M. Ya. Bakirov, G. A. Mamedova

Photovoltaic properties of diffusion type $p-n$ junctions in Ge—Si alloys

SUMMARY

Based on single crystals of solid solutions of Ge—Si with varying Si concentration, diffusion type $p-n$ junctions were made and their photoelectric properties studied.

It was established that in the range of Si content of 0 to 15 at. % sensibility maximum for $p-n$ junctions based on Ge—Si alloys and photon threshold energy are linearly shifted with composition and thus enable to make the detectors of fixed radiation in the range of 1,1 to 1,6 at 300°K by selection of the alloy in advance. With temperature decrease the sensitivity maximum is shifted linearly towards the higher photon energies, thus making it possible to select the desired alloy composition to assemble receivers of fixed emission at low temperatures.

It was shown that with increased Si content in Ge, the efficiency of conversion of luminous energy into electric one and operating temperature of photovoltaic converter based on Ge—Si alloy are increased.

УДК 681.3.001

ТЕХНИЧ. КИБЕРНЕТИКА

Т. А. АЛИЕВ

ПРИНЦИП ПОСТРОЕНИЯ ВЫРАБОТКИ УПРАВЛЯЮЩИХ СИГНАЛОВ

(Представлено академиком АН Азербайджанской ССР А. А. Эфендизаде)

В настоящее время схема выработки управляемых сигналов разрабатывается на базе элементов и узлов вычислительной техники [1]. При этом проектирование таких схем встречает определенные трудности, а устройство в целом получается достаточно сложным.

В данной работе рассматривается принцип построения схемы выработки управляемых сигналов на базе элементов и узлов измерительно-информационных систем.

Схемы управления представим как последовательностную систему A (рис. 1) с входным алфавитом $X = \{X_0, X_1, X_2, \dots, X_n\}$, выходным $-E = \{E_1, E_2, E_3, \dots, E_m\}$ и алфавитом состояний $Q = \{q_1, q_2, q_3, \dots, q_k\}$, состоящих из трех взаимодействующих автоматов A_1, A_2, A_3 . A_1 — является автоматом комбинационного типа и имеет входной алфавит $X = \{X_1, X_2, \dots, X_n\}$, выходной алфавит $Z_0 = \{Z_1, Z_2, Z_3, \dots, Z_\beta\}$. A_2 — является цифровым автоматом последовательного типа и имеет входной алфавит $X = \{X_0\}$, выходной алфавит $Y = \{Y_1, Y_2, Y_3, \dots, Y_k\}$, алфавит состояний $Q = \{q_1, q_2, q_3, \dots, q_k\}$. A_3 — является автоматом комбинационного типа с входным алфавитом $Z = \{Z_1, Z_2, Z_3, \dots, Z_\beta\}$; $\{Y_1, Y_2, Y_3, \dots, Y_k\}$, выходным алфавитом $E = \{E_1, E_2, E_3, \dots, E_m\}$.

При изучении возможности синтеза, на базе пороговых элементов — ПЭ, автоматов типа A_3 оказалось, что если он выполняет функцию

$$E_i(t) = E_i(t) \wedge E_i'(t), \quad (1)$$

$$E_i(t) = E_i[Y_1(t), Y_2(t), \dots, Y_k(t), \dots, Y_k(t)] \quad (2)$$

$$E_i(t) = Z_1(t) v Z_2(t) v \dots v Z_j(t) v \dots v Z_\beta(t), \quad (3)$$

то с применением пороговых элементов можно существенно изменить принцип организации формирования функциональных сигналов, что позволит значительно упростить принцип построения схемы управления.

Допустим, что выражение (2) реализуемо одним пороговым элементом [2], т. е.

$$F_i[Y_1(t), Y_2(t), \dots, Y_k(t), \dots, Y_k(t)] = F_i(Y) \quad (4)$$

Тогда, принимая реализации пороговых элементов $[a_{11}, a_{21}, \dots, a_{k1}; T_1]$, уравнение (1) можно привести к виду:

$$E_i(t) = \begin{cases} 1, & \text{если } E_i(t) = 1 \text{ и } \sum_{\lambda=1}^k a_{\lambda i} Y_\lambda(t) > T_1 \\ a, & \text{если } E_i(t) = 0 \\ 0, & \text{если } \sum_{\lambda=1}^k a_{\lambda i} Y_\lambda(t) < T_1 \end{cases} \quad (5)$$

здесь: $a_{11}, a_{21}, \dots, a_{k1}, \dots, a_{ki}$ — весы соответствующих переменных на соответствующих выходах порогового элемента $P\Theta_i$, T_1 — пороговое значение элемента $P\Theta_i$.

Схема автомата A_3 , синтезированная на базе ПЭ и выражение (5), на первый взгляд не представляет практического интереса, так как пороговые элементы ПЭ на большом количестве входов фактически не существуют. Однако при внимательном изучении этого

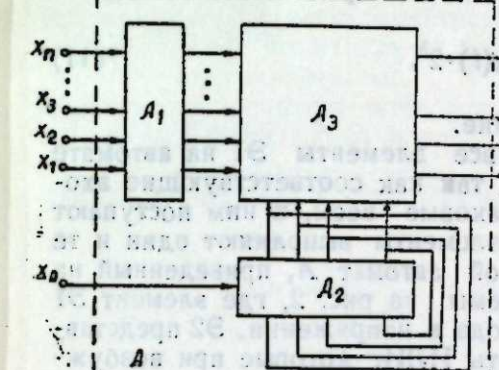


Рис. 1

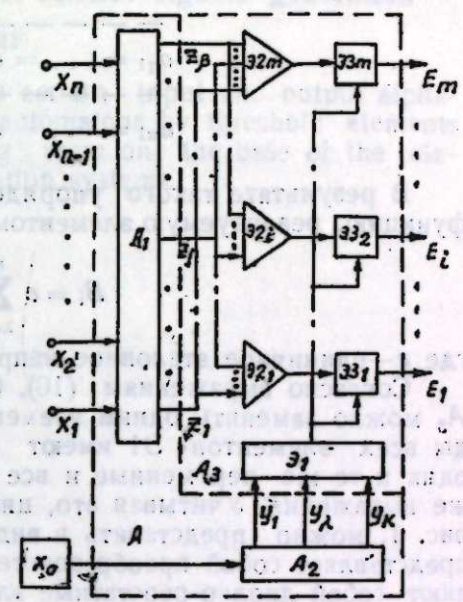


Рис. 2

вопроса оказалось, что построение таких схем управления возможно, если выражение (3) представить в виде:

$$E_i(t) = \begin{cases} 1, & \text{если } E_i(t) = 1 \text{ и } \sum_{\lambda=1}^k a_{\lambda i} Y_\lambda(t) = T_i \pm \epsilon \\ 0, & \text{если } E_i(t) = 0 \\ 0, & \text{если } \sum_{\lambda=1}^k a_{\lambda i} Y_\lambda(t) \neq T_i \pm \epsilon \end{cases} \quad (6)$$

и пороговый элемент рассмотреть как сочетание следующих элементов и узлов измерительно-информационных систем.

1. Узел суммирования весов — Э1, который выполняет функцию

$$B_i = \sum_{\lambda=1}^k a_{\lambda i} Y_\lambda(t) \quad (7)$$

2. Элемент образования порогового значения — Э2, выполняющий функцию

$$T'_i = \begin{cases} T_i \pm \epsilon, & \text{если } E_i(t) = 1 \\ 0, & \text{если } E_i(t) = 0 \end{cases} \quad (8)$$

3. Элемент выработки функциональных сигналов — Э3, который выполняет функцию

$$E_3 = \begin{cases} 1, & \text{если } B_1 = T_1 \pm \epsilon \\ 0, & \text{если } B_1 \neq T_1 \pm \epsilon \end{cases} \quad (9)$$

Здесь ϵ —допустимое отклонение значения T_1 от (T_1).

Схема автомата A_3 , синтезированная на основе элементов Э1, Э2, Э3, вполне реализуема существующими узлами измерительно-информационных систем. Для этого целесообразно ввести следующее упорядочение весов $[a_{11}, a_{12}, \dots, a_{1k}, \dots, a_{kk}]$ переменных $Y_1(t), Y_2(t), \dots, Y_k(t)$:

$$\left. \begin{array}{l} a_{11} = \dots = a_{1m} = \dots = a_{1m} \\ \vdots \\ a_{11} = \dots = a_{\lambda} = \dots = a_{\lambda m} \\ \vdots \\ a_{k1} = \dots = a_{k\lambda} = \dots = a_{km} \end{array} \right\} \quad (10)$$

В результате такого упорядочения весов, выражение (7), т. е. функцию, реализуемую элементом Э1, можно представить в виде:

$$B_1 = e \sum_{\lambda=1}^k Y_\lambda(t) \cdot 2^\lambda, \quad (11)$$

где e —единичное эталонное напряжение.

Согласно выражениям (10), (11), все элементы Э1 на автомате A_3 можно заменить одним элементом, так как соответствующие входы всех элементов Э1 имеют одинаковые весы, к ним поступают одни и те же переменные и все эти элементы выполняют одни и те же выражения. Учитывая это, цифровой автомат A , приведенный на рис. 1, можно представить в виде схемы на рис. 2, где элемент Э1 представляет собой преобразователь кода в напряжении. Э2 представляют собой диодно-реостатные элементы ИЛИ, которые при возбуждении входа на выходе выдают заранее установленные пороговые уровни напряжения $T_1 \pm \epsilon$. Элементы Э3 представляют собой нуль-органы. Таким образом, на автомате A_3 для формирования каждого функционального сигнала, предназначенного для выполнения определенной микрооперации, предусматривается отдельный пороговый уровень напряжения T_i на выходе соответствующего элемента Э2. В зависимости от комбинации входного алфавита (кода операции) автомат A_1 (декодифратор), на одном соответствующем выходе выдает сигнал и этим самым возбуждает определенные комбинации этих пороговых уровней, которые в свою очередь преобразовываются в соответствующие временные интервалы, по истечении которых с помощью соответствующих элементов Э3 (нуль-органов) вырабатывается соответствующий импульс на определенном канале. Значение временных интервалов определяется выходным алфавитом и алфавитом состояний автомата A_2 (счетчика).

ЛИТЕРАТУРА

- Каган Б. М., Коневский М. М. Цифровые вычислительные машины и системы. Изд-во „Энергия“, М., 1970.
- Дертоузос М. Пороговая логика. Изд-во „Мир“, 1967.

Т. А. Элиев

Идарәедици сигналлар верән схемләрин гурулмасы принципи ХУЛАСЭ

Мүәјҗән кириш вә чыхыш элифбасына малик идарәедици сигналлар верән автоматын „һүдүд“ элементләринде дүзәлдилмәсинин мүмкүнлүү гәбул едилир вә көстәрилир ки, һәмин автоматда белә элементләри һазырда информасија-өлчү техникасында кениш язылыш элемент вә ниссәләрлә әвәз етмәк олар.

Т. А. Aliev

The principle of diagram design of control signals generation SUMMARY

It is considered an automaton with certain input and output alphabet. Assuming the realisation of such automations by threshold elements it is shown the possibility of designing them on the base of the elements and units of measuring-information systems.

УДК 547.665.634

НЕФТЕХИМИЯ И
НЕФТЕХИМИЧЕСКИЙ СИНТЕЗ

Чл.-корр. М. А. МАРДАНОВ, С. А. СУЛТАНОВ, Н. Н. КУЛИЕВА

ИССЛЕДОВАНИЕ УГЛЕВОДОРДНОГО СОСТАВА
КЕРОСИНОВОЙ ФРАКЦИИ САНГАЧАЛЬСКОЙ НЕФТИ

В настоящее время наиболее эффективным методом исследования химического состава нефтяных фракций является их хроматографическое разделение.

В данной работе приводятся результаты хроматографического разделения керосиновой фракции, выделенной из сангачальской нефти, по методике [1].

Характеристика исходного дистиллята, полученного путем ректификации нефти:

ρ_4^{20} , г/см ³	— 8 329
и. к., °C	— 198
50%	— 255
к. к. °C	— 304
Вязкость кинематическая (сст.) при +20°C	— 2,8
Температура застывания, °C	— 5,5
Групповой углеводородный состав, % вес:	
ароматических	— 26,2
нафтеновых	— 40,6
парафиновых	— 33,2

Характеристика углеводородов, выделенных из керосиновой фракции сангачальской нефти, приводится в табл. 1. Окрашенная

Таблица 1

Показатели	Нафено-парафиновые углеводороды	Промежуточная фракция	Ароматические углеводороды	Окрашенная ароматич. фракция
Плотность ρ_4^{20} , г/см ³	0,8088	0,8938	0,9098	0,9521
Показатель преломления, n_D^{20}	1,4493	1,5008	1,5138	1,5452
Молекулярный вес	196,6	189	166,4	159,2
Элементарный состав, % вес.				
C	85,54	—	87,62	—
H	14,07	—	10,60	—
Эмпирическая формула	$C_{14,0} H_{27,7}$	—	$C_{11,4} H_{16,9}$	—
Гомологический ряд	$C_n H_{2n-0,3}$	—	$C_n H_{2n-5,9}$	—

ароматическая часть, выделенная хроматографически из керосиновой фракции сангачальской нефти, содержит ароматические углеводороды и смолистые вещества, для выделения которых был применен метод элюентной хроматографии. В результате были получены в чистом виде смолистые вещества и ароматическая фракция, которая смешена с аналогичной фракцией от первого разделения. Выход нафено-парафиновых углеводородов составил — 72%, мол. вес — 196,6; промежуточной фракции — 5,2%, мол. вес — 189; ароматических — 21,2% и 166,4; смол — 0,8% и 224.

Выделенные ароматические углеводороды в свою очередь по методике [2] были хроматографически разделены на окиси алюминия. Установлено, что в состав керосиновой фракции, выкипающей в пределах 200—300°C сангачальской нефти, входитmonoциклическая ароматика (80%) и бициклическая (20%), трициклическая ароматика отсутствует.

Таблица 2

Показатели	Исходные ароматические углеводороды	Топливо, полученное гидрированием ароматических углеводородов	ГОСТ 12308-66 на топливо Т-6
Плотность ρ_4^{20} , г/см ³	0,9214	0,8709	Не менее 0,8400
Вязкость кинематическая, сст. при +20°C	2,9	3,1	Не более 4,5
Фракционный состав, °C:			
начало кипения	178	195	195
10% перегоняется при тем-ре	19	204	220
50%	258	240	255
90%	292	280	290
Конец кипения	302	293	Не более 315
Температура начала кристаллизации, °C	— 70	— 70	— 60
Групповой углеводородный состав, вес. %			
ароматических	100	5,2	Не более 10,0
нафтеновых	—	94,8	
Содержание фактических смол, мг/100 мл топлива	108,8	4,9	6
Испытание на медную пластинку при 100°C в течение 3 ч	Отс.	Отс.	Отс.
Термостабильность при 150°C, количество нерастворимого осадка, мг/100 мл топлива (ГОСТ 9144-59)	5,4	Осадок	Не более 6
Теплота сгорания, ккал/кг (ГОСТ 11065-641)	9 800	Отс.	10 300

Моноциклические и бициклические ароматические углеводороды с целью идентификации их состава были исследованы ультрафиолетовой спектроскопией по методике, разработанной во ВНИИ НП, и установлено, что моноциклические ароматические углеводороды представлены в основном углеводородами ряда бензола и тетралина. Бициклические ароматические углеводороды — нафталином и в этой же фракции обнаружены трициклические ароматические углеводороды.

С целью изучения строения ароматических углеводородов, выделенных хроматографически из дистиллята сангачальской нефти, был применен метод каталитического гидрирования. Процесс осуществлялся в автоклаве над катализатором никель на кизельгуре при температуре 180—200°C, давлении 80—100 атм с предварительной гидроочисткой

сыря над алюмо-кобальтмолибденом. При этом происходило полное насыщение ароматических углеводородов водородом с превращением их в нафтеновые. Структурно-групповой состав ароматических углеводородов, выделенных из дистиллята сангачальской нефти, подсчитанный по прямому методу, показал, что в средней молекуле алкил ароматических углеводородов дистиллята сангачальской нефти почти 50% углерода находится в парафиновых цепях, общее число колец—1,87.

Полученные гидрогенизаты ароматических углеводородов были охарактеризованы по основным параметрам топлив и установлено, что полученное топливо отвечает всем требованиям ГОСТа, а по некоторым качествам (термическая стабильность, количество фактических смол) даже превосходит его (табл. 2). Особенностью полученного топлива является его большая плотность. Это дает возможность использовать его как самостоятельное авиационное топливо или как компонент, имеющий высокий запас плотности в смеси с компонентами низкой плотности.

Смолы, выделенные хроматографически из керосиновой фракции сангачальской нефти, были исследованы по методике [4]. Они делились на 4 фракции в результате ступенчатого вытеснения их растворителями различной химической природы и полярностью (последовательность применения растворителей: четыреххлористый углерод, бензол, ацетон, спирто-бензольная смесь).

Наибольшая доля смол приходилась на фракцию, извлекаемую четыреххлористым углеродом. Наши данные подтверждают имеющиеся в литературе указания о том, что именно дистилляты нефти с высоким содержанием углерода алифатического строения характеризуются и высоким содержанием фракции смол, извлекаемых с адсорбента наименее полярным алифатическим растворителем—четыреххлористым углеродом.

Смолы, выделенные из дистиллята сангачальской нефти, были исследованы инфракрасной спектроскопией, показавшей наличие в них ароматических колец (полосы 1600 см^{-1}) и углеводородных групп CH_2CH_2 (полосы поглощения 1380 и 1460 см^{-1}), указывающих на наличие боковых цепей в молекуле смол и полосы, характерные для связи $\text{C}\equiv\text{O}$ (1720 см^{-1}).

Выводы

1. Осуществлено хроматографическое исследование керосиновой фракции сангачальской нефти и охарактеризованы группы углеводородов.

2. Ароматические углеводороды в основном представлены моноциклическими соединениями ряда бензола и тетралина и в меньшем количестве—бициклическими углеводородами—нафталинами. Трициклические обнаружены в виде следов.

3. Методом катализитического гидрирования установлен структурно-групповой состав ароматических углеводородов.

4. Гидрогенизат ароматических углеводородов является хорошим авиационным топливом, отвечающим всем требованиям ГОСТа.

5. Наибольшая доля от общего количества смол дистиллята сангачальской нефти извлекается четыреххлористым углеродом.

ЛИТЕРАТУРА

- Ландсберг Г. С., Казанский Б. А. и др. Определение индивидуального состава бензинов прямойгонки комбинированным методом. Изд-во АН СССР. М., 1959.
- Топчиев А. В., Нифонтова С. С., Мусаев И. А. и др. Труды Ин-та нефти АН СССР, т. 14. Изд-во АН СССР. М., 1960.
- Ван-Нес К., Ван-Вестен Х. Состав масляных фракций нефти и их анализ. ИЛ., 1954.
- Сергинко С. Р. Высокомолекулярные соединения нефти. Гостоптехиздат, 1959.

Поступило 5. VI 1973

Э. Мэрданов, С. Э. Султанов, Н. Н. Гулиева

Сангачал нефтинин керосин фраксијасынын карбоидрокен тәркибинин тәдгиги

ХҮЛАСЭ

Мэгаләдә хромотографик үсүл илә дистиллатдан груп карбоидрокенләрниң ажрылыбы өјәрнилмәсендән бәхс олунмушдур.

Аjdынлашмышыр ки, Сангачал нефтинин керосин фраксијасынын ароматик карбоидрокенләри орта несаба 1,87 һәлгәли олуб, карбон атомларынын 50%-ли жән зәнчирдә иштирак едир.

Мэгаләдә ароматик карбоидрокенләри һидрокенләшдirmәклә кеjfijjәтли жаңаға алмағын мүмкүнлүjү көстәрilmишdir.

M. A. Mardanov, S. A. Sultanov, N. N. Kulieva

Study of hydrocarbon composition of kerosene cut of Sangachal oil

SUMMARY

The hydrocarbon composition of Sangachal oil distillate has been studied by the method of chromatographic separation and the hydrocarbon groups have been characterized.

Hydrocarbon group analysis of aromatics of aromatics have been established by the method of catalytic hydrogenation. Hydrogenates of aromatic hydrocarbons are good fuel meeting the requirements of GOST.

УДК 543.70

АНАЛИТИЧЕСКАЯ ХИМИЯ

И. Л. БАГБАНЛЫ, Н. Х. РУСТАМОВ, К. Дж. РАШИДОВ

ЭКСТРАКЦИОННО-ФОТОМЕТРИЧЕСКОЕ ОПРЕДЕЛЕНИЕ
РТУТИ (II) ПИНАВЕРДОЛОМ(Представлено академиком АН Азербайджанской ССР
Г. Б. Шахтахтинским)

Ассоциат хлоридных и бромидных комплексов ртути с родаминовыми красителями [1], метиловым зеленым и кристаллическим фиолетовым [2], бриллиантовым зеленым [3], метиловым голубым [4], триметилтионином [5], Виктория голубым [6], малахитовым зеленым [7] и др. хорошо экстрагируются некоторыми органическими растворителями и применяются для экстракционно-фотометрического определения его. Реакция галогенмеркуриятов с основными красителями очень чувствительна, молярные коэффициенты погашения этих ассоциатов велики и достигают порядка $n \cdot 10^5$. Меньшее значение концентрации галоген-ионов в растворе делает разработанные методы определения ртути (II) с применением основных красителей очень избирательными.

Настоящее исследование посвящено спектрофотометрическому изучению комплексообразования хлормеркуриата с одним из представителей цианиновых красителей—пинавердолом с целью разработки экстракционно-фотометрического метода определения микроколичеств ртути (II).

Изучение различных цианиновых красителей показывает, что они являются перспективными для определения отдельных элементов [8]. Применение цианиновых красителей, несомненно, вызывает большой интерес, так как весьма интенсивная собственная окраска дает возможность разработать чувствительные фотометрические методы.

ЭКСПЕРИМЕНТАЛЬНАЯ ЧАСТЬ

Реагенты и методика исследований. Исходный 0,1 M раствор ртути готовили растворением дважды перегнанного металла в HNO_3 , выпариванием до влажного состояния и дальнейшим растворением соли в воде. Концентрацию приготовленного 1 M раствора LiCl стандартизовали обработкой H_2SO_4 , взвешиванием в виде Li_2SO_4 . Рабочие растворы готовили разбавлением исходных. Использован препарат пинавердола чехословацкого производства марки "chemapol". Приготовлен $2 \cdot 10^{-3}$ M раствор пинавердола в этаноле. Значения pH

растворов измеряли на pH-метре ЛПУ-01 со стеклянным электродом, оптическую плотность растворов—на фотоколориметре ФЭК-56 и на СФ-4А. Растворы экстрагировали в пробирках с притертymi пробками.

В пробирки вводили определенный объем раствора $\text{Hg}(\text{NO}_3)_2$, добавляли раствор LiCl и пинавердола, создавали определенную кислотность водной фазы, доводили объем до 5 мл и экстрагировали равным объемом бензола в течение 30 сек. После расследования фаз измеряли оптическую плотность экстракта. Аналогично проводили холостой опыт.

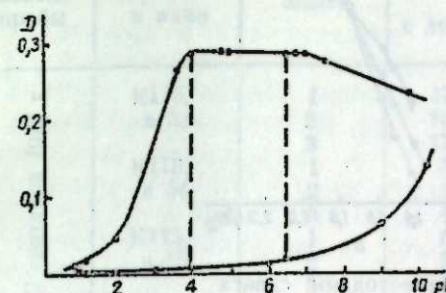


Рис. 1. Влияние pH-среды на комплексообразование ртути с пинавердолом.

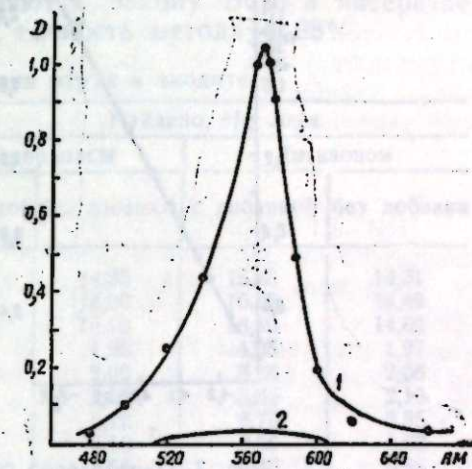


Рис. 2. Светопоглощение бензольного экстракта комплекса ртути пинавердолом (1) и реагента (2).

Результаты опытов и их обсуждение. Для извлечения хлормеркуриата пинавердола испробованы различные классы органических растворителей и их смеси. Установлено, что ассоциат лучше извлекается смесью бензола с дихлорэтаном (3:1). Однако при этом извлечение йодидной соли пинавердола велико ($D = 0,168$), поэтому в дальнейшем в качестве экстрагента использован бензол.

Изучена зависимость оптической плотности бензольных экстрактов хлормеркуриата пинавердола и реагента от pH испытуемых растворов, который создавали добавлением 0,1 M растворов H_2SO_4 или NaOH (рис. 1). Как видно из рис. 1, хлормеркуриат пинавердола экстрагируется, начиная с pH 0,5 и достигает максимального значения при pH 3,8–7. Дальнейшие исследования проводились при pH 4,5, который создавали в растворе посредством ацетатного буфера.

Для связывания 10 мкг ртути в ацидокомплекс достаточно создать в испытуемом растворе 0,05 M концентрацию LiCl . Повышение концентрации LiCl в растворе не влияет на извлечение ассоциата и реагента.

Для количественного извлечения ртути (II) достаточно взять 1 мл 0,05% спиртового раствора красителя. Оптимальным объемом водной фазы является 5–25 мл, органической — 5 мл.

Комплекс образуется сразу после добавления реагентов, бензольный экстракт хлормеркуриата пинавердола устойчив и не изменяется в течение изученных 24 ч. Для достижения равновесия в системе достаточно 20-секундного взбалтывания.

Светопоглощение бензольных экстрактов хлормеркуриата пинавердола и йодидной соли реагента снимали на СФ-4А (рис. 2), концентрация ртути при этом была $1,4 \cdot 10^{-5}$ M. Установлено, что ассоциат максимально поглощает при 573 нм, реагент — при 568 нм.

Состав ассоциата установлен методами сдвига равновесия и прямой линии [9]. Результаты этих опытов представлены на рис. 3, из которого следует, что соотношение ртути и пинавердола в экстрагируемом соединении составляет 1:2. Можно допустить, что состав экстрагируемого соединения выражается формулой $R_2[HgCl_4]$, где R — катион пинавердола.

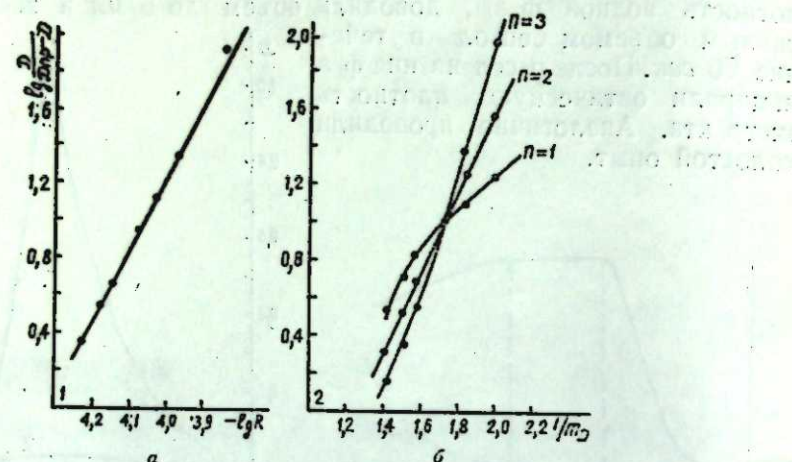


Рис. 3. Определение состава методами сдвига равновесия (а) и прямой линии (б).

Состояние хлормеркуриата пинавердола в органической фазе изучено по методу предельного логарифмирования [10]. Графическая зависимость $\text{lg} [Me] - \text{lg} D$ и $\text{lg} [R] - \text{lg} D$ представляет собой прямую, тангенс угла наклона которой соответственно равен $n = \tan \alpha_1 = 0,93$ и $n = \tan \alpha_2 = 1,03$ (рис. 4). Следовательно, хлормеркуриат пинавердола в органической фазе не полимеризуется и находится в мономерной форме.

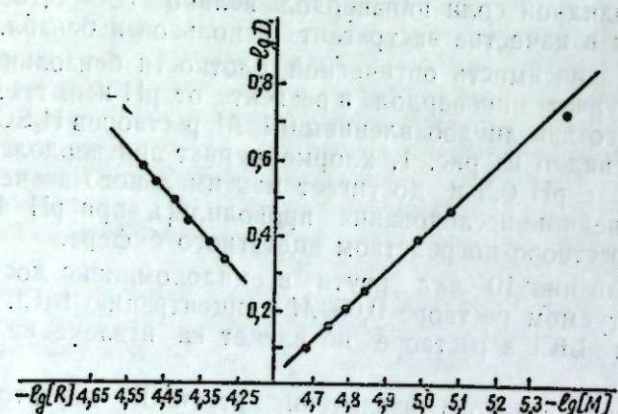


Рис. 4. Определение возможности полимеризации комплекса ртути с пинавердолом.

Логарифм константы экстракции комплекса оказался равным $4,95 \pm 0,34$; молярный коэффициент поглощения комплекса $7,585 \cdot 10^4$. Константа образования комплекса $5,297 \cdot 10^8$. Экстракционно-фотометрическое определение ртути (II). В пробирки с притертой пробкой берут до 15 мл слабокислого или нейтрального раствора, содержащего 1—50 мкг ртути, прибавляют 1 мл 1,25 М раствора LiCl, 4 мл ацетатного буферного раствора с

pH 4,5,3 мл 0,1%-ного раствора пинавердола в этаноле. Объем смеси доводят до 25 мл и слегка взбалтывают. Затем, прибавив 5 мл бензола, встряхивают в течение 20 сек. Отделив органическую fazу от водной, оптическую плотность экстракта измеряют на ФЭК-56, при $l = 0,5$ см, со светофильтром № 7 по отношению воды. Количество ртути находят по калибровочному графику, построенному аналогично.

Окрашенные экстракты подчиняются закону Бера в интервале концентрации ртути 0,04—2 мкг/мл, точность метода $\pm 0,98\%$.

Определение содержания ртути в анолите

Дата взятия пробы	№ корпусов и ванн	№ опыта	Найдено, Hg mg/l			
			Пинавердолом		Дитизоном	
			с добавкой	без добавки	с добавкой	без добавки
22 сентября 1972 г.	K 115, в 52	1	17,00	14,35	16,50	14,31
		2	16,80	15,00	16,45	14,49
		3	17,00	15,10	16,30	14,62
	K 115, в 54	1	3,90	1,95	4,05	1,97
		2	4,10	2,00	3,95	2,08
		3	4,00	2,08	3,85	2,10
	K 115, в 56	1	8,60	6,72	8,70	6,55
		2	8,80	6,80	8,50	6,62
		3	8,70	6,58	8,45	6,65
25 сентября 1972 г.	K 115, в 52	1	14,40	12,60	14,20	11,97
		2	14,45	12,40	14,00	11,80
		3	14,60	12,20	14,15	12,10
	K 115, в 54	1	7,00	4,75	6,50	4,90
		2	6,80	5,10	6,40	4,72
		3	6,95	4,90	6,80	4,55
	K 115, в 55	1	7,25	5,30	7,20	5,32
		2	7,35	5,50	7,40	5,40
		3	7,40	5,10	7,50	5,35
	K 41,	1	15,90	14,00	16,00	19,86
		2	16,00	13,85	16,15	13,95
		3	15,85	14,20	16,20	13,78

При мечание. В параллельные опыты добавлено по 2 мкг ртути.

Определению 10 мкг ртути не мешают щелочные и щелочноземельные элементы и большинство ионов, взятые в кратном избытке, которые показаны в скобках: Cu^{2+} (10), Re (VII) (12), Mg^{2+} (12), Ti (III) Ta (V) (60), Co^{2+} , Ni^{2+} , B^{3+} (100), Ga^{3+} , Te (IV) (200), Pb^{2+} (125), Nb (V) (177), Ge (IV), V (v), Ca^{2+} (300), Zn^{2+} (1500), Cd^{2+} (12000), Fe^{2+} (3500), As (V) (4000), In^{3+} (2500), Al^{3+} (2000), SO_4^{2-} (20000), винная (10), тиомочевина (100), шавелевая (750), CH_3COO^- (12 000), AsO_4^{3-} (15 000), Br^- (160), J^- (6 200), CNS^- (5 000).

Экстракционно-фотометрическому определению ртути с пинавердолом мешают любые количества Ag^+ и Fe^{3+} .

Предложенным методом ртуть определена в анолите Сумгантского хлорорганического завода. Содержание ртути также определено дитизоновым методом [11].

Определенный объем анолита в зависимости от содержания ртути переносят в пробирку с притертой пробкой, раствор кипятят 5 мин.

для удаления ClO^- и Cl_2 и нейтрализуют. В предварительном окислении ртути нет необходимости, т. к. анолит содержит NaClO и свободный хлор. К раствору прибавляют 1 мл 1,25 M LiCl , 4 мл ацетатного буферного раствора с pH 4,5, 3 мл 0,1%-ного раствора пинавердола в этаноле. Объем раствора доводят до 25 мл, слегка перемешивают для смешения реагентов. Затем, прибавляя 5 мл бензола, встряхивают в течение 20 сек., отделив органическую фазу от водной, оптическую плотность экстракта измеряют на ФЭК-56 при $l = 0,5 \text{ см}$ со светофильтром № 7 по отношению воды. Содержание ртути находят по калибровочному графику. Данные о содержании ртути в анолите приведены в таблице.

Выводы

При взаимодействии ртути (II) с пинавердолом в присутствии хлорид-ионов образуется разнолигандный комплекс, экстрагирующийся бензолом. Найдены оптимальные условия экстракции ртути (II) (pH 3,8–7, $[\text{Cl}^-] 5 \cdot 10^{-2} \text{ M}$, Пв = $4 \cdot 10^{-5} \text{ M}$). В экстрагируемом комплексе соотношение $\text{Hg} : \text{Пв} = 1 : 2$, максимум поглощения находится при 573 нм, молярный коэффициент поглощения = $7,585 \cdot 10^4$, константа образования = $5,297 \cdot 10^8$, логарифм константы экстракции $-4,95 \pm 0,34$.

Изучено влияние посторонних ионов на экстракционно-фотометрическое определение ртути и установлено, что большинство ионов не мешают. Предложенным методом содержание ртути определено в анолите Сумгайитского хлорорганического завода.

ЛИТЕРАТУРА

- Блюм И. А. Экстракционно-фотометрические методы анализа. Изд-во "Наука", М., 1970, стр. 150.
- Тарайн В. М., Овсепян Е. И., Лебедева С. П. Апр. хим. ж., XXII, 6, 551, 1969.
- Тарайн В. М., Овсепян Е. И., Керимян И. С. ДАН Арм. ССР, № 5, 242, 1969.
- Тарайн В. М., Овсепян Е. И., Керимян И. С. ДАН Арм. ССР, № 2, 51, 1970.
- Тарайн В. М., Овсепян Е. И., Керимян И. С. Апр. хим. ж., XXIV, 2, 121, 1971.
- Пилипенко А. Т., Киш П. П., Витченко Т. М. Укр. хим. ж., XXXVII, 11, 1149, 1971.
- Ананьевская М. П. Труды Новочеркасск. политехн. ин-та, 143, 3, 1963.
- Каррер Р. Курс органической химии, М., 1962.
- Булатов М. И., Калинкин И. П. Практич. руков. по фотометрич. и спектрофотометрич. методам анализа. Изд-во "Химия", Л., 1968.
- Бабко А. К. Физико-химический анализ комплексных соединений в растворах. Изд-во АН УССР. Киев, 1955.
- Кузятина И. С. Зав. лаб., № 1, 174, 1939.

Институт неорг. и физич. химии

Поступило 21. VI 1973

| И. Л. Бағбанлы |, Н. Х. Рұстэмов, К. Ч. Рәшидов

Чивэ (II)-нин пинавердолла екстраксијалы-фотометрик тә'јини

ХУЛАСӘ

Хлорид ионунун иштиракы илә чивэ (II)-нин пинавердолла гарышлыглы тә'сириндән бензолла екстраксија олунан, мұхтәлиф лигандлы комплекс әмәлә қәлір. Комплексин екстраксијанын оптималь шәранти мүәжжән едилмиш, екстраксија олунмуш комплексдә чивэ илә пинавердолун 1:2 нисбәтдә олдуғу мүәжжәнләшдирилмишdir. Комплексин мәксимум шұаудасы 573 нм, молјар шұаудма әмсалы $7,585 \cdot 10^4$, давамлылығ сабити $5,297 \cdot 10^8$, екстраксија сабитинин логарифми $4,95 \pm 0,34$ -дүр.

Ишләнмиш методда чивэ (II)-нин тә'јининә қәнап ионларын тә'сири өрәнілмишdir.

| I. L. Bagbanly, N. H. Rustamov, K. Dzh. Rashidov

Extraction-photometric determination of the mercury with pinaverdol

SUMMARY

At $5 \cdot 10^{-2} \text{ M}$ Cl^- -ions concentration and pH 3,8–7 mercury (II) with pinaverdol forms a complex compound in the composition 1:2, E_{K} which equals $7,585 \cdot 10^4$, $\beta_{\text{K}} = 5,29 \cdot 10^8$, $\lg k_{\text{ex}} = 4,95 \pm 0,34$ extracting with benzole.

This developed method has been applied to Hg-analysis in anolite.

УДК 541. 183+543. 42

ФИЗИЧЕСКАЯ ХИМИЯ

В. Я. ЗЕМЛЯНСКАЯ, А. К. МИСКАРЛИ, Б. И. МАМЕД-ЗАДЕ,
Б. М. ХЕИРОВИССЛЕДОВАНИЕ СОРБЦИИ НЕКОТОРЫХ ПОВЕРХНОСТНО-
АКТИВНЫХ ВЕЩЕСТВ (ПАВ) ЕСТЕСТВЕННЫМИ
БЕНТОНИТАМИ МЕТОДОМ РЕНТГЕНОГРАФИИ

(Представлено академиком АН Азербайджанской ССР М. А. Кашиаем)

Сорбционные свойства монтмориллонита главным образом определяются доступностью его внутренней поверхности адсорбированным молекулам. Количество адсорбированных органических молекул зависит от обменной емкости и характера неорганических обменных катионов, а также от энергии сольватации и энергии взаимодействия ионов с кислородами алюмосиликатных пакетов [5–6]. Межслоевая сорбция и изменение параметра "с" решетки в этом случае будет определяться не только размерами органических катионов, но и расположением их в межпакетном пространстве. Поэтому органозамещенные бентониты являются селективными сорбентами. Этим, собственно, и определяется пристальный интерес, проявляемый исследователями к изучению сорбции монтмориллонитом различных поверхностно-активных веществ в зависимости от степени замещения обменной емкости органическими ионами [4, 7, 3].

В настоящей работе излагаются результаты рентгенографического исследования сорбции Na-солей органических кислот и органических производных четвертичных солей аммония ханларским и дашсалахлинским бентонитами в зависимости от степени замещения их обменной емкости органическими ионами. Съемка дифрактограмм производилась на аппарате УРС-50ИМ на отфильтрованном медном излучении.

Приготовление образцов бентонитов осуществлялось по следующей методике: навески глины подвергались контактированию в течение 30 мин с растворами указанных выше органических соединений при непрерывном перемешивании в герметически закрытых установках при температуре 20–60°C. После охлаждения и отстаивания в осветленной части раствора определялась равновесная концентрация, по которой строились изотермы сорбции. Осадок отделялся от раствора, промывался водой, высушивался в токе воздуха и подвергался рентгенографическому исследованию.

Дифрактограммы модифицированных бентонитов и изотермы сорбции их приведены на рис. 1, 2, 3, 4.

На дифрактограммах ханларита, после контактирования его с пропионатом и пеларгонатом, сохраняются интенсивные рефлексы, характерные для монтмориллонита. Однако помимо мощного рефлекса монтмориллонита в первом случае появляется очень слабый рефлекс при межплоскостном расстоянии 24 Å, что, по-видимому, связано с проникновением молекул Na-пропионата между некоторыми пакетами.

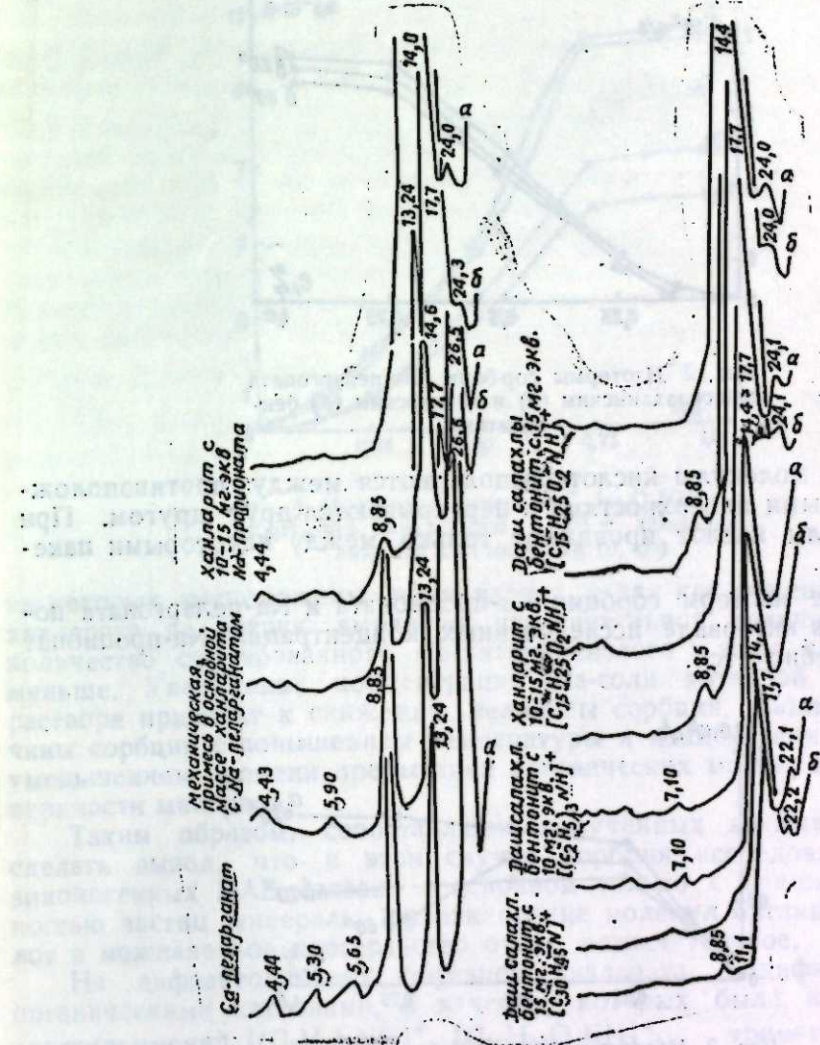


Рис. 1. Дифрактограммы монтмориллонитов различной степени замещения обменного комплекса органическими ионами: а—воздушно-сухого образца; б—насыщенного глицерином.

Во втором случае, в основной массе образца наблюдается та же картина с незначительным увеличением межплоскостного расстояния. В виде механической примеси в образце присутствует пеларгонат кальция, характеризующийся рефлексами 26,5; 13,24; 8,83; 6,65 Å и др. Для сравнения, на рис. 1 приводятся дифрактограммы этой механической примеси, отделенной от основного образца и чистой соли Ca-пеларгоната.

Расчет длины цепи молекул Na-пропионата и пеларгоната, учитывая количество метильных групп в углеводородном радикале, длину связи C—C, угол связи C—C—C в алифатической цепочке, равной

110° и размеры групп CH_3 и COONa равные, соответственно, 2,1 и 3,44 Å [9], приводят к величине 6,8–14,3 Å. Если к длине молекулы прибавить толщину монтмориллонитового пакета 9,4 Å [1, 8], то полученные значения, соответственно 16,2 и 23,7 Å будут ниже межплоскостных расстояний, определенных рентгенографически. Отсюда

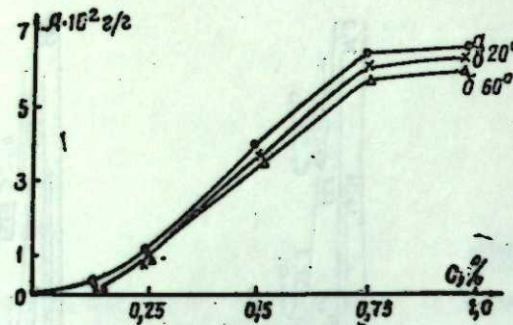


Рис. 2 Изотермы сорбции Na-пеларгоната дашалахлинским (a) и ханларским (б) бентонитами.

следует, что молекулы кислот располагаются между противоположными базисными поверхностями и перекрываются друг другом. При этом молекулы кислот проникают только между некоторыми пакетами.

Изучение изотерм сорбции Na-пропионата и Na-пеларгоната показало, что в интервале исследованных концентраций Na-пропионат почти не сорбируется.

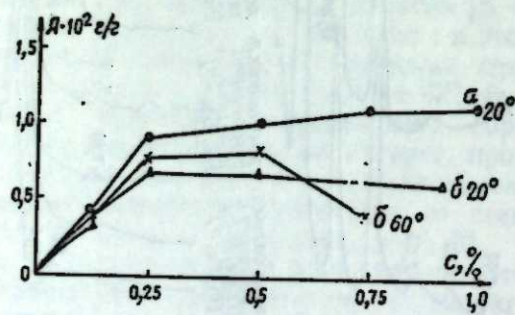


Рис. 3. Изотермы сорбции Na-янтарнокислого дашалахлинским бентонитом (a) и ханларитом (б).

В случае Na-пеларгоната, с увеличением концентрации его в растворе до 2–3 мгэкв, сорбция не превышает величины $5,5\text{--}6,0 \times 10^{-2} \text{ г/г}$, что составляет 0,5 мгэкв. Сорбция повышается с увеличением атомов углерода в алифатической цепи молекул кислот до $C = 10$ и выше.

На дифрактограммах дашалахлинского бентонита, обменная емкость которого по натрию составляет 23 мгэкв на 100 г [2], регистрируется почти аналогичный спектр. В отличие от двух описанных выше случаев, здесь рефлекс при 24 Å слабее. Ханларит, контактированный с Na-янтарнокислым (солью двухосновной кислоты—аналога

пропионовой), имеет дифрактограмму, сходную с дифрактограммой ханларита, контактированного с Na-пропионатом.

Na-янтарнокислый сорбируется ханларитом (рис. 3) в количестве вдвое меньшем, нежели дашалахлинским бентонитом. По-видимому, ориентация симметрично расположенных карбоксильных групп янтарной кислоты происходит на участках внешней поверхности минерала,

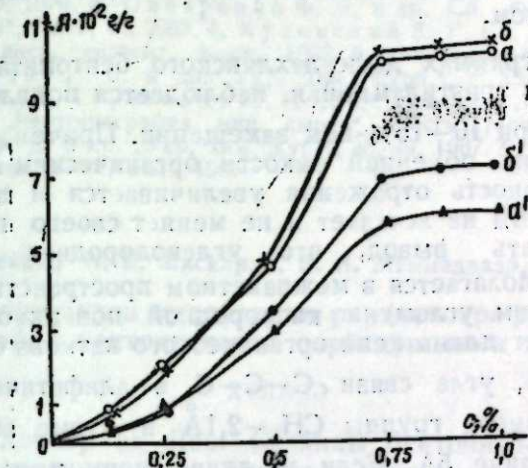


Рис. 4. Изотермы сорбции $[\text{C}_{15}\text{H}_{25}\text{O}_2\text{NH}]^+$ и $[\text{C}_{30}\text{H}_{45}\text{N}]^+$ ханларским (a, a') и дашалахлинским (b, b') бентонитами.

на которых расположены ионы натрия, а так как обменная емкость ханларита по натрию выражена незначительной величиной [2], то количество сорбированного Na-янтарнокислого в этом случае вдвое меньше. Увеличение концентрации Na-соли янтарной кислоты в растворе приводит к снижению величины сорбции. Снижение величины сорбции с повышением температуры и концентрации связано с уменьшением времени пребывания органических молекул вблизи поверхности минерала.

Таким образом, сопоставление полученных данных позволяет сделать вывод, что в этом случае сорбция исследованных нами анионогенных ПАВ связана в основном только с внешней поверхностью частиц минерала; проникновение молекул органических кислот в межпакетное пространство очень незначительное.

На дифрактограммах образцов ханларита, модифицированных органическими катионами, в качестве которых были использованы триэтиламмоний $[(\text{C}_2\text{H}_5)_3\text{NH}]^+$, $[\text{C}_{15}\text{H}_{25}\text{O}_2\text{NH}]^+$, trimetiloktадецил аммоний $[\text{C}_{18}\text{H}_{37}\text{N}(\text{CH}_3)]$ паразилкобензилтриэтиламмоний $[\text{C}_{30}\text{H}_{45}\text{N}]^+$, помимо рефлексов монтмориллонита появляется отражение при межплоскостных расстояниях 14,24 и 28–30 Å, соответственно. Катион—триэтиламмоний, при ионообменной адсорбции составляющий 10–15% степени замещения, не обнаруживается на дифрактограммах появления рефлексов нового положения. По-видимому, катион $[(\text{C}_2\text{H}_5)_3\text{NH}]^+$ ввиду малой активности, не проникает в межпакетное пространство; на внешней поверхности $[(\text{C}_2\text{H}_5)_3\text{NH}]^+$ сорбируется в незначительных количествах вследствие того, что обмен происходит только по участкам поверхности, на которых расположены обменные ионы натрия. Поэтому изменения в параметре решетки монтмориллонита по оси "с" не фиксируются на рентгеновском спектре. Анализ изотерм (рис. 4) сорбции ханларита показал, что с увеличением концентрации орга-

нических катионов $[(C_2H_5)_3NH]^+$ в растворе величина сорбции их увеличивается. Увеличение сорбции, вероятно, происходит в результате вовлечения в обменную реакцию катионов кальция. Поэтому фиксирование рефлекса, свидетельствующего об образовании [2] органокомплексов, в этом случае наблюдается только при значительном замещении обменной емкости (50% и более) монтмориллонита органическим ионом.

На дифрактограммах дашсалахлинского бентонита, модифицированного катионом триэтиламмония, наблюдается появление рефлекса при $14,4\text{\AA}$ уже при 10–15%-ном замещении. Причем, с увеличением степени замещения обменной емкости органическим ионом триэтиламмония интенсивность отражения увеличивается и при насыщении образца глицерином не исчезает и не меняет своего положения; это позволяет сделать вывод, что углеводородная цепь катиона $[(C_2H_5)_3NH]^+$ располагается в межпакетном пространстве вертикально (или под большим углом) к кислородной поверхности оснований тетраэдров. Расчет длины цепи органического катиона с учетом длины связи $C-C=1,5\text{\AA}$, угла связи $C-C-C$ в алифатической цепочке равного 110° , размера группы $CH_3=2,1\text{\AA}$ и атома азота $1,6\text{\AA}$ [1] приводит к величине 5\AA . Если к длине цепи катиона прибавить толщину монтмориллонитового пакета $9,4\text{\AA}$ [8], то полученное значение $14,4\text{\AA}$ как раз будет соответствовать определенному на дифрактограмме межплоскостному расстоянию (рис. 1).

Увеличение размера органического катиона до C_{18-18} приводит к более значительной сорбции его монтмориллонитом. Образование органомонтмориллонитового комплекса отмечается при обмене 10–20 мэкв органического катиона. Образование органомонтмориллонитового комплекса фиксируется на рентгенограмме отражением $(001)=24-30\text{\AA}$.

Расчет длины органического катиона молекул органических хлораммониевых солей с C_{18-18} составляет, соответственно, $30,7-31,4\text{\AA}$, т. е. полученное значение длины межплоскостного расстояния выше определенного рентгенографически. Очевидно, с увеличением длины органического катиона, даже при незначительной степени замещения емкости обмена, расположение их в межпакетном пространстве следует считать не вертикальным, а под некоторым углом к плоскостям кислородных сеток оснований тетраэдров. Такое положение подтверждается еще и тем, что двухвалентные катионы обменной емкости также вовлекаются в обменную сорбцию; количество мэкв сорбированного органического иона соответствует количеству мэкв вытесненного кальция и магния в растворе.

Изучение изотерм сорбции (рис. 3 и 4) позволяет сделать и другой интересный вывод о том, что увеличение сорбции с ростом длины органического иона наблюдается до определенного числа атомов углерода в алифатической цепи, не превышающего C_{30} . Катион бирается поверхностью монтмориллонитов. По-видимому, сорбционная активность органического катиона, в первую очередь, зависит не от строения катиона в целом, а от строения алифатического радикала (R). На дифрактограммах регистрируется рефлекс при $22,2\text{\AA}$, что указывает на более наклонное расположение катиона в межпакетном пространстве монтмориллонита при образовании органокомплекса.

Сравнение изотерм сорбции, снятых при различной температуре,

показало, что последняя незначительно снижает величину сорбции; рентгенографически этажа языка не регистрируется (рис. 1).

ЛИТЕРАТУРА

1. Куковский Е. Г. и др. Сб. «Рентгенография минер. сырья», № 7, 1970.
2. Землянская В. Я., Мискарли А. К., Мамед-заде Б. И. «ДАН Азерб. ССР», № 9, 1970.
3. Овчаренко Ф. Д. и др. Сб. «Физ.-хим. механика и лиоф. дисп. систем». Киев, 30, 1968.
4. Куковский Е. Г. Сб. «Физ.-хим. механика и лиофильность дисп. систем». Киев, 1968.
5. Овчаренко Ф. Д., Дьяченко Н. С., Вдовенко Н. В. и др. «Укр. хим. журн.», т. XXXIII, № 3, Киев, 1967.
6. Овчаренко Ф. Д., Тарасевич Ю. И. «Укр. хим. журн.», № 30, 1964.
7. Куковский Е. Г. Сб. «Рентгенография мин. сырья». Госгеолтехиздат, вып. 3, 1963.
8. Овчаренко Ф. Д. и др. «Укр. хим. журн.», № 33, 49, 1967.
9. Мюллер Е. «Новые воззрения в органич. химии». ИЛ., 1960.

ИНФХ

Поступило 16.VI 1971

В. Я. Землянская, А. К. Мискарли, Б. И. Мамедзаде, М. Б. Хеирев

Бэ'зи сэтни-актив маддэлэрин рентгенографија үсулу
илэ тэбийн бентонитлэрдэ сорбсијасынын тэдгиги

ХУЛАСЭ

Мэглэдэ Ханлар вэ Даш Салаһлы бентонитлэриндэ, онларын мубадилэ комплексинин үзви ионларла эвээ олуимасы дэрэчэснээндэн асылы олараг, үзви туршууларын Na дузлары вэ дөрдлү амониум дузларынын үзви төрөмлэлэринин рентгенографик сорбсијасы тэдгигатынын иэтгэлэри верилшишдир.

Мүэйян едилшишдир ки, кичик молекуллу үзви туршууларын Na дузлары пакетлэраасы бошууга кечмэжэрэк јалыз харичи базал сэтнилэ гаршилыглы тэ'сирдэ олур. Дуру мэйлүлларда үзви туршууларын Na дузларынын сорбсијасында онларын молекуллары бирбүринэ экс олан базал сэтнилэдэ йерлэшир. Буна көрэ дэ үзви комплекслэрин эмэлэ кэлмэс мүстэвиллэраасы мэсафэдэки диаграмда рефлекслэрлэ геjd олуунур. Пакетлэраасы бошуулугда үзви катионун вэзијэти мубадилэ комплексинин эвээзолуума дэрэчэсн вэ катионун бөјүклүүндэн асылыдыр. Лакин кичик молекуллу үзви ионлар тетраэдрлэрин отураачаина перпендикулар йерлэшир. Ейни эвээзетмэ дэрэчэснээндэ катион радикалын узуултуу артдыгча онларын дүзүлүшү маили вэзијэйт алыр.

V. Ja. Zemljanskaia, A. K. Miskarli, B. J. Mamed-zade, B. M. Hejirov.

The investigation of sorption of some surface active substances by natural bentonit clays using the x-ray method

SUMMARY

It has been set forth the results of radiographic investigation of sorption Na -salts of organic acids and organic derivatives of quaternary salts of ammonium by bentonites of Hanlar and Dashedsalahlin.

УДК 550. 74

ЛИТОЛОГИЯ

Н. А. АКПЕРОВ, Г. Р. АЛИЕВ

**ЛИТОЛОГИЧЕСКИЕ ОСОБЕННОСТИ ОТЛОЖЕНИЙ НИЖНЕГО
ОТДЕЛА ПРОДУКТИВНОЙ ТОЛЩИ МЕСТОРОЖДЕНИЯ
ПЕСЧАНЫЙ-МОРЕ**

(Представлено академиком АН Азербайджанской ССР А. Д. Султановым)

Изучение литофацевального состава пород нижнего отдела ПТ месторождения Песчаный-море может способствовать более успешному и правильному разрешению ряда вопросов нефтяной геологии для территории Фатман-Зыхской складчатой системы.

В литологическом отношении месторождение Песчаный-море представляет весьма сложный характер по сравнению с остальными месторождениями Апшеронской нефтеносной области.

При рассмотрении фактических данных (керновых, каротажных и др.) по литофацевальному составу получаются интересные результаты. Во-первых, здесь наблюдается частая изменчивость (переход от чистых песков, песчаников, и алевритов к глинам и наоборот) литологического состава, во-вторых, как правило, песчанистость отдельных свит как верхнего отдела ПТ, так и нижнего, обычно увеличивается от подошвы к кровле свит. Однако в отдельных местах месторождения наблюдается нарушение этой закономерности, что, на наш взгляд, может быть объяснено колебанием дна бассейна с начала накопления отложений отдельных свит, которые находились под действием колебательных движений, продолжавшихся непрерывно-прерывисто в течение всей плиоценовой эпохи геотектонического развития юго-восточной оконечности Фатман-Зыхской складчатой системы.

Поднятие и опускание морского дна обусловливались основной причиной распределения пород различной зернистости (мелкой, средней и крупной), т. е. с различными литологическими составами. В качестве примера можем указать осадки калинской и подкирмакинской свиты, представленные монотонным чередованием пропластков серых, светло-серых песчаников, песков, алевритов и не уплотненных глин. Замещение указанных отложений друг другом объясняется рельефом дна бассейна, имеющего неровную поверхность в момент образования отдельных свит ПТ, характером снесенных терригенных материалов и др.

Калинская свита, являющаяся базисным объектом ПТ, полностью вскрыта только в двух скважинах, по данным которых эта 300 м свита глинистыми разделами расчленяется на 3 песчаные (KaC_1 , KaC_2 , KaC_4) и одну глинистую (KaC_3) пачки, а ПК свита на ПК^a и ПК^u.

При расчленении за основу была принята интерпретация электрокаротажных диаграмм скважин, характер нефтеносности и величины мощностей отдельных нефтенасыщенных частей свиты, наличие непроницаемых глинистых разделов в разрезе, а также другие геолого-эксплуатационные данные.

Для наглядности прослеживания изменения литологического состава пород и каротажной характеристики разреза нижнего отдела ПТ предлагается их описание в направлении с севера-запада на юго-восток по трем блокам (северный, центральный и юго-восточный).

На северном блоке по данным скв. № 5 на глубине 3 195 м глинистые породы (в подошве) ПК-свиты замещаются песчаниками и алевритами KaC , а по данным скв. № 20 на глубине 3 566 м при переходе от ПК свиты к KaC наоборот—пески, песчаники и алевриты—глинистыми отложениями. Здесь во всех скважинах глины КС, НКГ выражены в основном глинами серого, светло-серого цвета.

Указанные факты свидетельствуют о том, что в пределах месторождения Песчаный-море в начале накопления осадков ПК и KaC в районе скв. 5 существовало небольшое локальное поднятие (в виде острова). В начале образования KaC в районе скв. № 20, 84 имели местные опускания, а в век накопления осадков КС и НКГ влияние колебательных движений, скорость сноса терригенных материалов, на всей площади их распространения, интенсивность тектонических сил периодически то усиливалась, то замедлялась. В целом в этот период, возможно, в основном господствовали местные опускания отдельных участков северного блока месторождения.

Далее, в центральном блоке месторождения, в разрезе отдельных свит ПТ, постепенно увеличивается содержание песков, песчаников и алевритов. В качестве примера можем указать НКП свиту, по которой разрез становится значительно песчанистым и KaC , где также в низах разреза появляются песчаные пачки с кажущимся сопротивлением в порядке 25 омм.

Выявленные закономерности по литологическому составу отложений отдельных свит нижнего отдела ПТ сохраняются и в юго-восточном блоке, а также далее в юго-восточном направлении.

В центральном блоке по данным скв. №№ 91, 330 и др. выявляется, что разрез KaC и ПК характеризуется преимущественно песчаными образованиями, т. е. чередование пропластков песчаных фаций с глинистыми происходит сравнительно более редко, нежели в северном блоке.

Такое изменение литологического состава обнаруживается и в южном блоке, где могут быть выявлены литологические залежи в низах разреза KaC , которые в дальнейшем могут явиться дополнительным резервом в нефтедобыче месторождения.

Переход от глин к пескам, песчаникам, алевритам и наоборот встречается не только на границах отдельных свит, а также наблюдается большая изменчивость литологического состава пород в пределах их. Поэтому, начиная с верхних их частей, вплоть до нижних, значение сопротивления часто то повышается, то понижается. Изменение величины сопротивления происходит в пределах 0,2—110 омм. Как правило, повышенные значения сопротивления соответствуют зонам повышенной карбонатности, остаточной нефти или же нефтеносным частям свит, а пониженные — глинистым.

Так, в разрезе KaC (скв. № 5, 7) минимальное значение сопротивления (12 омм) придерживается всего в мощности 4 м, далее увеличивается до 30—32 омм, что сохраняется в пределах 2 м, затем опять снижается до 10—12 омм. Такое (скачкообразное) изменение (даже через каждые 1,5—2 м) наблюдается по всему разрезу калинской свиты.

В разрезе ПК наблюдается сравнительно другая картина, т. е. мини-

мальное значение сопротивления (10–12 омм) придерживается в пределах 8–10 м, а максимальное (25–40 омм) в мощности 5–8 м.

В разрезе КС кажущееся сопротивление изменяется в пределах 1–7 омм, а в НКП – 0,2–3 омм, в НКГ – еще меньше.

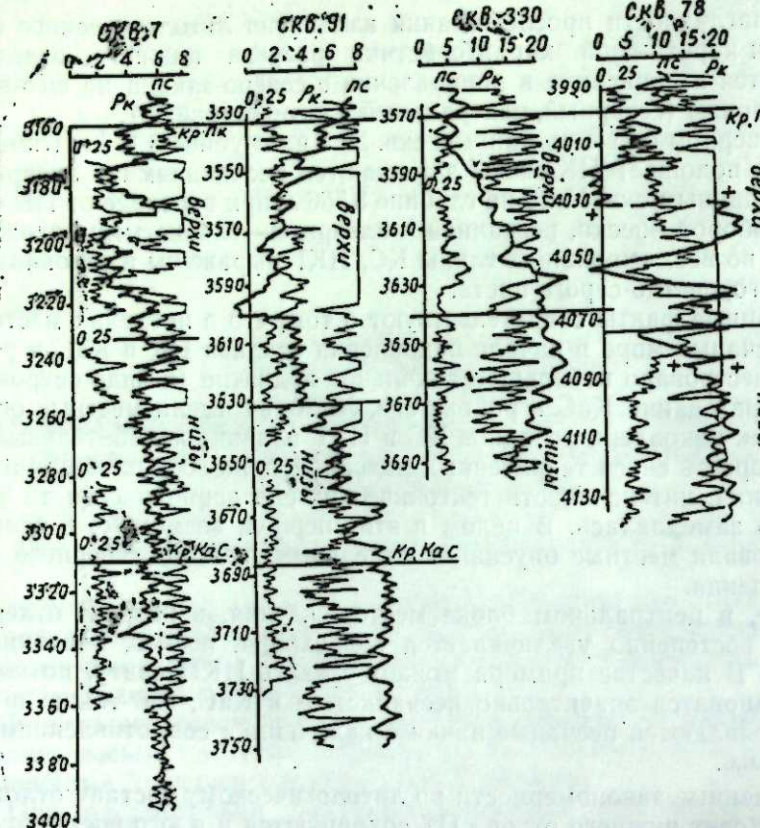


Рис. 1. Сопоставление каротажных разрезов КаС и ПК свиты месторождения Песчаный-море

В центральном блоке месторождения, в скрытой части разрез КаС (скв. № 67) характеризуется большим сопротивлением (до 25 омм), нежели разрез КаС северного блока, но претерпевает большие изменения каротажной характеристики в зависимости от нефтенасыщенности вмещающих пород. В разрезе ПК и НКП обнаруживается большая выдержанность песчаных пород с высоким сопротивлением до 50 омм, а разрез КС идентичен разрезу КС северного блока, за исключением нижней части ее, где появляются песчаные пачки общей мощностью до 6 м с кажущимся сопротивлением до 25 омм.

На юго-восточном блоке разрез КС аналогичен разрезу КС центрального блока, а в ПК отмечается абсолютно другая картина, где наблюдается значительное повышение сопротивления песчаных пород от 10 до 110 омм с большой выдержанностью по мощности свиты. Однако следует отметить, что при опробовании этих пластов во всех случаях получены пластовые воды с пленкой нефти. Высокие значения сопротивления в разрезе ПК юго-восточного блока, возможно, связаны с остаточной нефтеносностью пород.

В целом материалы каротажа (рис. 1) показывают, что отбивка свиты КаС и ПК в пределах нефтеносных частей залежей отчетлива. Так, кривая сопротивления на границе свит КС и ПК делает больший скачок в сторону увеличения, нежели в нижней части ПК. Затем в разрезе КаС

происходит увеличение значения сопротивлений, что доказывает нефтенасыщенность калинской свиты.

Наряду с этим следует подчеркнуть, что в некоторых скважинах при опробовании нашли паки высокого сопротивления (75 омм) из ПК свиты, в разрезе которой происходит увеличение значения r^k до 100–110 омм. Данные, полученные в скважине № 78, являются убедительным доказательством для поиска и разведки залежей как в разрезе ПК, так и в разрезе КаС в пределах юго-восточного погружения складки.

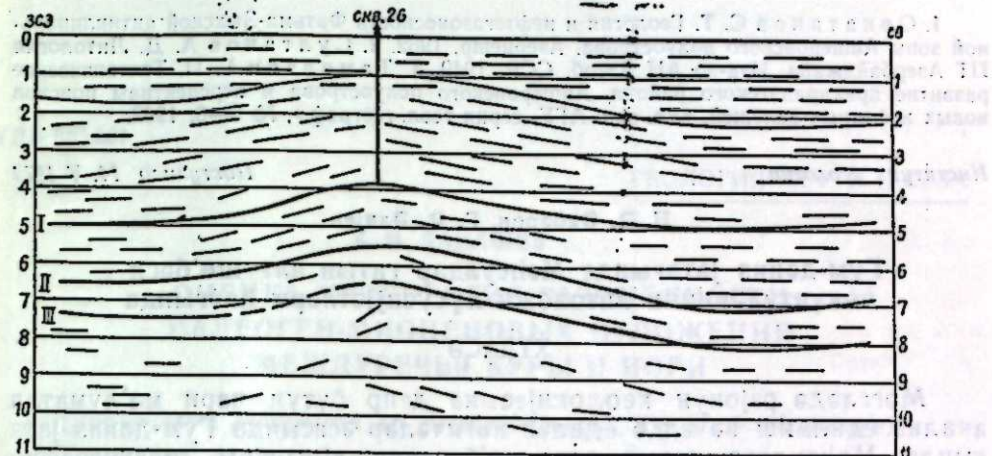


Рис. 2. Сейсмический профиль: I—I—условный сейсмический горизонт, приуроченный к отложениям ПК свиты; II—II—условный сейсмический горизонт (миоцен—олигоцен); III—III—условный сейсмический горизонт (палеоген—верхний мезозой).

Известно, что мощности свит ПТ на морских месторождениях увеличиваются в южном и юго-восточном направлениях, т. е. в региональном погружении складчатости. Этой закономерности и должна подчиняться калинская свита исследуемой площади, что дает основание надеяться обнаружить новые песчаные горизонты в низах КаС, которые могут оказаться перспективными в отношении ее нефтегазоносности.

Для подтверждения этого предположения основными материалами также являются и результаты сейсмических работ, проводимых в период 1961–1962 гг. в районе Песчаный-море, Биби-Эйбат-море и банка Макарова (Бахар), которые указывают на наличие структурного осложнения в виде четких антиклинальных перегибов в районе скв. № 26, 28, 32, 51 и др. (рис. 2), начало которых, по всей вероятности, было положено в палеогеновое время.

По результатам этих работ представляется, что наиболее приподнята часть этого тектонического осложнения располагается в 9 км к югу от о. Песчаный.

Несмотря на то, что в настоящее время трудно сказать, имеет ли это поднятие какую-либо тектоническую связь с уже выявленным погребенным поднятием Песчаный-море, однако возможность тектонической связи между ними не исключается.

Для решения этой задачи следует продолжить детальные сейсмические и другие геологические работы как в районе скв. № 26, 28, 32 и 51, так к северу и югу от них, после чего может быть выявлено геологическое строение палеоподнятия.

Особо следует отметить, что трудно судить (в связи с отсутствием данных) о распределении фаций в пределах всего поднятия. Но есть основания полагать, что, по всей вероятности, в крыльевой части ее литоло-

гофикальные условия окажутся более благоприятными (в отношении нефтегазоносности), нежели в сводовой части (как на северном блоке).

Основываясь на высказанные предположения, касающиеся в целом как месторождения Песчаный-море, так и палеоподнятия, не можем отрицать нефтегазоносность КаС и ПК свиты, а также нефтегазоносность отложений верхнего отдела продуктивной толщи и пределах палеоподнятия.

ЛИТЕРАТУРА

1. Овнатанов С. Т. Геология и нефтегазоносность Фатъма-Зыхской антиклинальной зоны Апшеронского полуострова. Азернешир, 1962.
2. Султанов А. Д. Литология ПГ Азербайджана. Изд-во АН Азерб. ССР, 1949.
3. Тамразян Г. П. Тектоническое развитие прикарадагского района Апшеронского полуострова и перспективы поисков новых нефтяных залежей. «Уч. зап. АГУ, серия геол.-географ.», № 5–6, 1962.

Институт геологии

Поступило 14. V 1971

Н. Э. Экбиров, Г. Р. Эллаев

Гум-дәнис јатағында Мәңсүлдар гатын алт шө'бәси чөкүнүләринин литологи хүсусијәтләри һагында

ХУЛАСЭ

Мәгләдә районун қеолокијасына даир бүтүн ҹары мә'лumatla анализ едилиши вә элдә едилен иәтичәләр әсасында Гум-дәнис јатағында Мәңсүлдар гатын алт шө'бәси чөкүнүләринин литологи хүсусијәтләри стратиграфик вәнилләри литологијасын дәжишмәсендән өсүлү олараг, онларын нефтлилијин пајланма хүсусијәтләри көстәрилмишdir. Бунунда јанашы, Гум-дәнис јатағынын чәнуб-шәрг гутарачагында (26, 28, 32, 51 №-ли гујулар олән рзонда) мүәлләп олунмуш антиклинал гурулуш һагында да йени мә'лumat верилмишdir (2-чи шәклә баҳ).

АЗЭРБАЙЧАН ССР ЕЛМЛӘР АКАДЕМИЈАСЫНЫН МӘРҮЗӘЛӘРИ

ДОКЛАДЫ АКАДЕМИИ НАУК АЗЕРБАЙДЖАНСКОЙ ССР

ТОМ XXX

№ 5

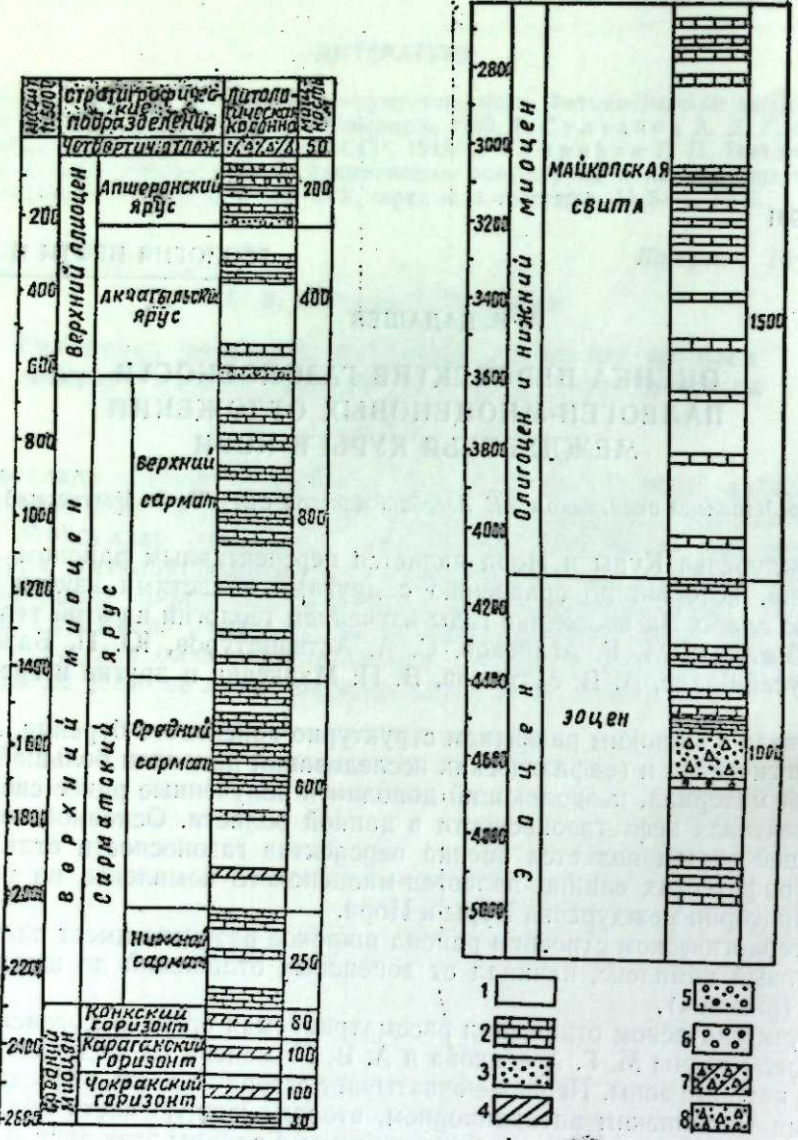
1974

ДОКЛАДЫ АКАДЕМИИ НАУК АЗЕРБАЙДЖАНСКОЙ ССР

ТОМ XXX

ДОКЛАДЫ АКАДЕМИИ НАУК АЗЕРБАЙДЖАНСКОЙ ССР

В результате проведенных поисково-разведочных работ в депрессионных зонах Азербайджана была установлена промышленная нефтегазоносность различных свит палеоген-миоценового комплекса в Апшеронской, Прикаспийско-Кубинской, Кобыстанской и Кировабадской областях. Возможными нефтегазопроницаемыми свитами в Аджиноурской и Ленкоранской областях являются отложения палеоген-миоцен.



Междуречье Куры и Иори.
Сводный разрез третичных отложений: 1—глина; 2—песчаник; 3—песок;
4—мергель; 5—галечник; 6—конгломерат; 7—суглинок; 8—брекчия

На некоторых площадях Восточной Грузии (Норио, Сачиниси, Патардзеули, Таривани и др.) в сарматских, майкопских и зооценовых отложениях установлена промышленная нефтегазоносность. Следует отметить, что аналогичное положение имеет место также и по другим нефтегазоносным областям Кавказа.

Промышленная газоносность выявлена в отдельных свитах в палеоген-миоценовых отложениях ряда нефтегазоносных областей Кавказа. Так, например, в Краснодарском крае промышленные залежи газа свя-

заны с миоценовыми отложениями, приуроченными к северо-западному погружению Б. Кавказа. Крупнейшие месторождения газа в Ставропольском крае связаны с майкопской свитой. Крупные месторождения газа, открытые в Грозненской нефтеносной области, связаны с отложениями миоцена. Промышленные притоки газа из палеоген-миоценовых отложений отмечены также в Южном Дагестане и т. д. [3].

Приведенные данные показывают, что газоносность палеоген-миоценовых отложений в пределах Кавказа отмечается на обширной территории, что позволяет высоко оценить перспективы газоносности этих отложений на территории Азербайджана, в том числе и междуречья Куры и Иори.

Анализируя весь материал по геологии и газоносности палеоген-миоценовых отложений, мы приходим к выводу о несомненной перспективности рассматриваемой территории. Этот вывод также подтверждается многочисленными грязевыми вулканами и сопками, которые до настоящего времени выделяют газ. По данным М. Г. Агаджекова и А. В. Мамедова они связаны с сарматскими и майкопскими отложениями [2]. М. К. Калинко в своей работе показывает, что «грязевулканическая деятельность связана с аномальными давлениями в недрах Земли, возникающими в результате мощного накопления газа в тех пластах, с которыми связаны газы грязевых вулканов» [6]. Этот факт подтверждает газоносность вышеотмеченных свит исследуемой области. Со времени окончания Великой Отечественной войны и до настоящего на структурах междуречья Куры и Иори проводится поисковое бурение на нефть и газ.

В результате изучения данных бурения большого количества структурно-поисковых скважин, пробуренных на отдельных структурах территории, четко отмечается, что наиболее интенсивные нефтегазопроявления здесь в основном приурочиваются к сарматским и майкопским отложениям. Геологические факторы показывают, что именно эти свиты являются наиболее нефтегазонасыщенными.

Не меньший интерес представляет распределение нефтегазопроявлений по площади. Если в скважинах, пробуренных на площадях Армудлы, Саждаг, Кейрюккейлан, были отмечены преимущественно газопроявления, то на площадях Ахтахата, Гырахкесаман в подавляющем большинстве скважин были отмечены нефтепроявления. Распределение нефтегазопроявлений увязывается с определенной тектонической зональностью.

Площади Армудлы, Кейрюккейлан и Саждаг приурочены к сравнительно более погруженной части рассматриваемой области. Фактические данные показывают, что основные естественные выходы газа и нефтегазопроявления в скважинах отмечаются в северной зоне (Чатминская) исследуемой территории. Что касается Южной зоны (Джейранчельская), то она, в отличие от северной, характеризуется отсутствием в ней как на поверхности, так и в скважинах нефтегазопроявлений. В свое время И. М. Губкин [5] и М. В. Абрамович [1] отметили, что отсутствие поверхностных нефтегазопроявлений не может иметь решающее значение для отрицательной оценки какого-нибудь района. И. М. Губкин пришел к выводу, что «при определении перспективности района первое место должно быть отведено детальному изучению геологического строения и основанию геологических факторов. А поверхностные признаки должны лишь дополнить и углубить те выводы, к которым исследователь пришел в результате геологического изучения местности». Учитывая это, надо одновременно расширить геологические работы в пределах южной зоны междуречья Куры и Иори и выяснить перспективы ее нефтегазоносности.

Таким образом, анализируя все фактические данные и геологические факторы, мы, как и предыдущие исследователи, приходим к выводу, что в пределах междуречья Куры и Иори палеоген-миоценовые отложения являются перспективными в отношении нефтегазоносности. Наиболее

перспективными в отношении газоносности здесь являются сарматские и майкопские отложения, а чокракские и эоценовые отложения перспективными. Что касается мезозойских отложений, то можно сказать, что они в пределах рассматриваемой территории погружены на значительную глубину.

Исходя из анализа фактического материала о нефтегазоносности отложений майкопа и эоцена на площадях Гырахкесаман и Хатулы, можно предполагать, что мезозойские отложения также могут представлять значительный интерес в районе междуречья Куры и Иори в отношении нефтегазоносности.

По данным Ю. П. Баженова [4], в пределах западных структур Кушхуна-Гуйрухэнчинский и Мамедтапе-Кейрюккейланский антиклинальных линий предполагается улучшение литофизических свойств верхнемеловых отложений. Поэтому есть основания предполагать разведочное—глубокое бурение на мезозойских отложениях в пределах этих антиклинальных линий.

ЛИТЕРАТУРА

1. Абрамович М. В. Перспективы поисков в Азербайджане газовых скоплений, связанных с грязевыми вулканами. «Геология нефти и газа», № 11, 1959.
2. Агадеев М. Г., Мамедов А. В. Геология и нефтегазоносность Западного Азербайджана и Восточной Грузии. Азернефтишер, 1960.
3. Ализаде А. А. Газовые ресурсы Азербайджана и направления их поисков и разведки. «Изв. АН Азерб. ССР, серия геол.-геогр. наук», № 6, 1961.
4. Баженов Ю. П. Строение и история геологического развития смежных зон междуречья Куры и Иори, Аджинизура и Восточной Грузии в связи с их нефтегазоносностью. Автореф. канд. дисс., Баку, 1967.
5. Губкин И. М. Тектоника юго-восточной части Кавказа в связи с нефтеноносностью этой области. ОНТИ, 1934.
6. Калинко М. К. Основные закономерности распределения нефти и газа в земной коре. Изд-во «Недра», 1964.

Институт геологии

Поступило 19.IV 1971

А. М. Дадашов

Кур вэ Иори чајлаараасы Палеокен-Миосен чөкүнтүләринин газлылыг перспективлији

ХҮЛАСЭ

Кур вэ Иори чајлаараасы нефти-газлы вилајетиндэ Палеокен-Миосен чөкүнтүләри кениш јајымышдыр. Мәгаләдә һәмин чөкүнтүләрин газлылыг перспективлији елми әсасларла верилмишиdir. Бунуна әлагәдар олараг, мүәллиф вилајетин бир сырға сәһәләри дә газымыш гујуларны бүтүн фактики материалларыны топламышдыр. Материалларын тәһлили көстәрик ки, Кур вэ Иори чајлаараасы сәһәси П. Леонен-Миосен чөкүнтүләринин кәсилишинде газлы ләjlарын олмасы еңтимал едилир. Буну вилајетин бир сырға сәһәләринде газымыш гујулардан алышан газ тәзәнүрләри вэ тәбии газ чыхышлары субут еди. Геjd олумалыдыр ки, һәмин сәһәләрдә Палеокен-Миосен чөкүнтүләриндән башга бу гатдан дәриндә ятан даң бир нефти-газлы табәгә—Мезозој чөкүнтүләри иштирек еди. Көстәрик вилајетдә Мезозој чөкүнтүләринин нефти-газлы олмасыны Гыр хәсәмән вэ Хатыны сәһәләриндә газымыш бир нечә гујудан алышмыш фактики материаллар субут еди. Беләлик э, фактики материаллара әсасән, Кур вэ Иори чајлаараасы сәһәләри дә Палеокен-Миосен вэ биләр. Бу ятаглары биринчи нөвбәдә вилајетин шимал зонасында ахтармаг лазымдыр.

А. М. Дадашев

Valuation of presence of gas perspectives of Paleogene-miocene deposits of Kura and Jor interfluves

SUMMARY

Analizing all materials on the geology of Kura and Jor interfluves, one may draw a conclusion that here the most perspective gas content are the sarmat and Maikop deposits, but Chokrak and eocene deposits are perspective. According to the gas content the North zone is comparatively more perspective.

УДК 553.98

ГЕОЛОГИЯ НЕФТИ И ГАЗА

Ф. Г. ДЖАБАРЛЫ, М. М. ГУММАТОВ, М. Н. ДАДАШЕВ

ЛИТОЛОГО-ФАЦИАЛЬНЫЕ ОСОБЕННОСТИ И КОЛЛЕКТОРСКИЕ СВОЙСТВА ОТЛОЖЕНИЙ ПОДКИРМАКИНСКОЙ СВИТЫ (ПК) ЗАПАДНОЙ ЧАСТИ АПШЕРОНСКОГО АРХИПЕЛАГА

(Представлено академиком АН Азербайджанской ССР Ш. Ф. Мехтиевым)

В пределах антиклинальной зоны б. Дарвина—структура Южная отложения ПК свиты представляют собой мощную пачку светло-серых песчаников, песков, алевритов с редкими глинистыми прослойками. В разрезе ПК свиты песчаные частицы имеют преобладающее значение, заметно содержание алевритовых и незначительно содержание глинистых фракций.

Нами в результате изучения каротажного и кернового материала существенно дополнены данные о мощности, песчанистости, гранулометрическом составе, карбонатности, открытой пористости и абсолютной проницаемости коллекторов по свите.

По каротажным диаграммам ПК свита на месторождении б. Дарвина очень часто отделяется от вышележащей свиты КС.

Из карты равных мощностей видно, что по структуре б. Дарвина мощность изменяется от 0 до 80 м, среднее значение—50 м. Значение мощности от присводовой части к далеким крыльям и северной периклиниали сильно увеличивается.

По данным каротажных показаний, вся мощность ПК свиты на месторождении б. Дарвина и о. Артема разделена четырьмя обособленными пиками. Однако в связи с непостоянством глинистых разделов, ПК свита разрабатывается общим фильтром.

На поднятии о. Артема минимум мощностей (20 м) отмечается на северо-восточном крыле складки, в районе расположения скважин № 282, 714, 716, 717. Далее от присводовой части к далеким крыльям и южной периклиниали значения мощности плавно увеличиваются и доходят до 85 м, среднее значение мощности—55 м. Форма изолиний мощности очень схожа с изогипсами структуры.

Значение мощности от о. Артема в южном направлении резко возрастает и на месторождении Гюргяны-море доходит в среднем до 130 м, изменяясь от 110 до 140 м. Изолинии мощности протягиваются плавно.

ПК свита на площади Гюргяны-море делится на четыре объекта. разработка залежей нефти которых осуществляется раздельно.

В сторону площади Южной значения мощностей ПК свиты снова относительно месторождений Гюргяны-море уменьшаются (изменяются от 90 до 120 м, в среднем равно 105 м).

Из карты равных мощностей ясно, что изопахиты протягиваются очень плавно, повторяя конфигурацию структуры. Минимальные мощности совершенно соответствуют сводовой части складки (90 м), к далеким перифериям увеличиваются и доходят до 120 м.

Для характеристики песчанистости ПК свиты по отдельным структурам и в целом по антиклинальной зоне построена карта равных песчанистостей. Из этой карты видно, что содержание песков в разрезе ПК свиты месторождения б. Дарвина колеблется от 40% на далекой периферии складки до 75% в присводовой части структуры, среднее значение—60%. Следует сказать, что повышенные значения песчанистости (60%) соответствуют минимальным мощностям.

На структуре о. Артема в сводовой части содержание песков в разрезе ПК свиты превышает 80%, на далекой периферии уменьшается до 50%, среднее значение—65%. На этой площади так же, как и на всех других площадях данной антиклинальной зоны, повышенные значения песчанистости соответствуют минимальным мощностям.

На структуре Гюргяны-море сводовый и присводовый участки также характеризуются содержанием песков до 80%, а к далеким крыльям и южной периклиниали содержание песков уменьшается до 60%.

Содержание песков в разрезе ПК свиты месторождения Южного варьирует от 60 (на далеком крыле) до 80% (на сводовой части), в среднем равно 65%.

Содержание песков от свода к крыльям понижается плавно.

Выявленные закономерности изменения мощности и песчанистости на отдельных поднятиях прослеживаются по всей антиклинальной зоне (рис. 1, 2, 3). Следует сказать, что значения мощности и содержание песков ПК свиты от месторождения б. Дарвина в южном и юго-восточном направлении к месторождению Гюргяны-море (130 м; 70%) и структуры Южной (105 м; 65%) увеличиваются.

По данным гранулометрического анализа отложения ПК свиты на месторождении б. Дарвина представлены плохо отсортированными породами.

По фракционному составу песчаная фракция составляет 42,1%, алевритовая—34,4, глинистая—23,5%.

Карбонатность пород-коллекторов месторождения б. Дарвина изменяется в пределах 2,0—46,2%, среднее значение—9,5%.

Общая пористость изменяется от 6,4 до 32,7%, в среднем 22,1%,



проницаемость—24,5—1262,3 млдарси, составляя в среднем 451,4 млдарси.

По данным гранулометрического состава отложения ПК свиты тоже представлены плохо отсортированными породами. По фракционному составу характеризуются следующим образом: песчаная фракция—41,6%, алевритовая—36,8%, глинистая—21,6%.

Карбонатность пород-коллекторов ПК свиты месторождения о. Артема изменяется от 3,0 до 34,6%, среднее значение 9,5%. Общая пористость колеблется от 6,8 до 34,7%, в среднем 27,0%. Проницаемость от 46 до 360, в среднем 259,2 млдарси.

На месторождении Гюргяны-море по данным каротажа ПК свита выражена сплошным песком высоких омических сопротивлений со средним значением 40—50 омм.

В разрезах отдельных скважин сопротивление достигает 60—70 омм. Кривая ПС имеет хорошую дифференциацию.

По данным гранулометрического состава отложения КС-свиты представлены песчаными разновидностями.

Карбонатность пород-коллекторов месторождения Гюргяны-море в среднем равна 17,6% по отдельным объектам она изменяется от 0,5 до 29,5%. Для ПК-1—10,6, для ПК-2—15,8, для ПК-3—20,0, для ПК-4—17,1%.

Наибольшее среднее значение карбонатности у алевритового песка—24,8, наименьшее у супеси—5,6%.

Общая пористость изменяется от 3,0 до 22,8%, среднее значение—15,3%. Среднее значение для ПК-1—18,4, для ПК-2—15,1, для ПК-3—14,0, для ПК-4—15,9%.

Проницаемость в среднем по свите ПК равна 226 млдарси, изменяется по отдельным объектам от 7,0 до 1626,6 млдарси. По свите ПК-1 среднее значение проницаемости 349 млдарси, по ПК-2—396,2, по ПК-3—130,8, по ПК-4—151 млдарси.

На месторождении Южный по данным гранулометрического состава исследованные породы-коллекторы ПК свиты в основном представлены к семейству песка.

Содержание песчаной фракции изменяется в пределах 14,0—83,47%, в среднем равно 52,3%, алевритовой фракции—11,17—66,0%, в среднем—39,1%, самое меньшее количество глинистой фракции—0,2—16,4%, в среднем равно—8,6%.

Содержание карбонатов (CaCO_3) в коллекторах ПК свиты по всей площади изменяется от 2,9 до 31,8%, составляя в среднем 11,7%.

Пористость коллекторов ПК свиты по всей площади изменяется от 12,3 до 23,2% составляя в среднем 19,1%.

Проницаемость пород-коллекторов ПК свиты изменяется в широких пределах—15,0—971 млдарси, в среднем составляет 361,2 млдарси.

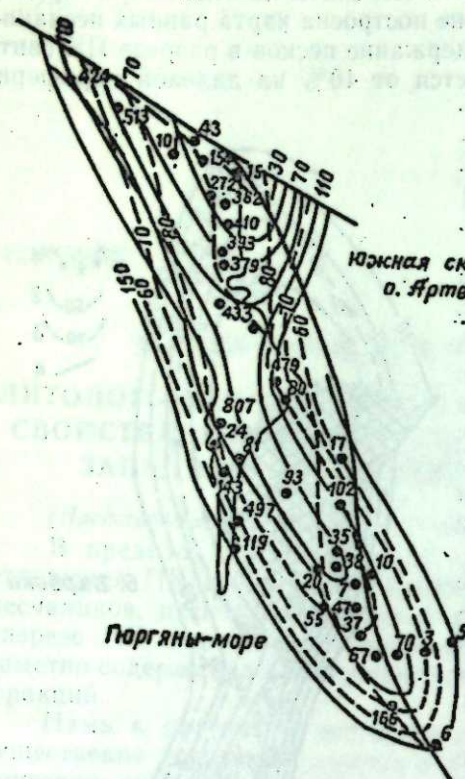


Рис. 2. Условные обозначения те же, что и на рис. 1.

Среднее значение для ПК-1—10,6, для ПК-2—15,8, для ПК-3—20,0, для ПК-4—17,1%. Наибольшее среднее значение карбонатности у алевритового песка—24,8, наименьшее у супеси—5,6%.

Общая пористость изменяется от 3,0 до 22,8%, среднее значение—15,3%. Среднее значение для ПК-1—18,4, для ПК-2—15,1, для ПК-3—14,0, для ПК-4—15,9%.

Проницаемость в среднем по свите ПК равна 226 млдарси, изменяется по отдельным объектам от 7,0 до 1626,6 млдарси. По свите ПК-1 среднее значение проницаемости 349 млдарси, по ПК-2—396,2, по ПК-3—130,8, по ПК-4—151 млдарси.

На месторождении Южный по данным гранулометрического состава исследованные породы-коллекторы ПК свиты в основном представлены к семейству песка.

Содержание песчаной фракции изменяется в пределах 14,0—83,47%, в среднем равно 52,3%, алевритовой фракции—11,17—66,0%, в среднем—39,1%, самое меньшее количество глинистой фракции—0,2—16,4%, в среднем равно—8,6%.

Содержание карбонатов (CaCO_3) в коллекторах ПК свиты по всей площади изменяется от 2,9 до 31,8%, составляя в среднем 11,7%.

Пористость коллекторов ПК свиты по всей площади изменяется от 12,3 до 23,2% составляя в среднем 19,1%.

Проницаемость пород-коллекторов ПК свиты изменяется в широких пределах—15,0—971 млдарси, в среднем составляет 361,2 млдарси.

По антиклинальной зоне б. Дарвина—структуре Южная по свите ПК в направлении от б. Дарвина к Южной песчаная фракция возрастает от 42,1 до 52,3%, глинистая фракция наоборот уменьшается от 23,5 до 8,6%. Алевритовая фракция почти не изменяется.

Месторождение	Тектонические блоки	Гранулометрический состав пород, %			Карбонатность, %	Общая пористость, %	Абсолютная проницаемость, млдарси
		0,1 м.м.	0,1—0,1 м.м.	0,01 м.			
б. Дарвина	Северный	7,1	58,5	34,4	7,5	24,5	—
	Северо-восточный	35,64	38,33	26,03	15,59	17,18	148,5
	Северо-западный	40,05	41,85	18,10	7,28	23,18	—
	Центральный	45,05	31,80	23,05	8,3	20,76	562,3
	Южный	49,59	28,78	21,63	8,7	24,68	643,38
о. Артема	Северная складка-море	44,9	40,7	14,4	6,4	26,9	264
	Северная складка-суша	44,9	33,9	21,0	11,2	28,6	201,2
	Южная складка	36,0	39,1	24,9	9,3	22,8	250
Гюргяны-море		39,0	29,6	21,4	17,6	15,3	226
Южная		52,3	39,1	8,6	9,6	19,1	361,2

Карбонатность пород-коллекторов в данной антиклинальной зоне по свите ПК от 9,5% на месторождении б. Дарвина увеличивается до 17,6%, на месторождении Гюргяны-море, далее к Южной уменьшается до 9,6%.

Общая пористость по свите ПК от б. Дарвина к о. Артема увеличивается от 22,1 до 27,0%, а затем к Гюргянам (15,3%) и Южной (19,1%) уменьшается.

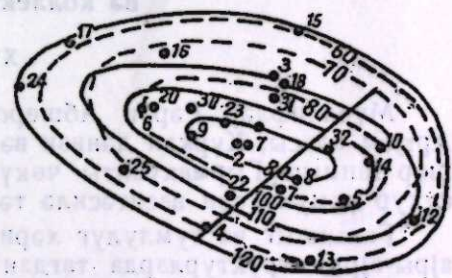
Проницаемость пород-коллекторов в вышеуказанном направлении уменьшается от 451,4 (б. Дарвина) до 226 млдарси (Гюргяны-море), а затем увеличивается до 361,2 млдарси (Южная).

Основные литолого-петрографические и коллекторские особенности рассматриваемой свиты антиклинальной зоны следующие:

1. Значения мощностей и содержания песков ПК свиты от месторождения б. Дарвина в юго-восточном направлении к месторождению Южной увеличиваются:

а) увеличение мощностей объясняется погружением свит в данное направление;

б) увеличение содержания песков в разрезе ПК свиты в юго-восточном направлении объясняется тем, что образование отложений происходило в условиях интенсивного приноса терригенного материала.



Структура Южная

Рис. 3. Условные обозначения те же, что и на рис. 1.

2. Минимальная мощность соответствует зонам расположения древних поднятий.

3. Выдержанность характерного литофациального состава свиты с некоторым изменением местного характера. Свита слагается, в основном, осадками терригенного ряда, в которых преимущественным распространением пользуются аллювиальные породы.

4. Резкое преобладание кварца над полевыми шпатами и обломками пород породообразующих компонентов.

5. Содержание и состав тяжелой аллювритовой фракции заметно меняется по разновидностям пород. Как правило, она изобилует рудными минералами—сингенетичным пиритом и частично ильменитом, а еще чаще лейкосеном.

6. Содержание карбонатов по всей мощности свиты в зависимости от литологических разновидностей изменяется в больших пределах.

7. Величины проницаемости и пористости в зависимости от литологических и содержания цементирующих особенностей карбонатности тоже изменяются в больших пределах.

ЛИТЕРАТУРА

1. Алиханов Э. Н. Нефтяные и газовые месторождения Каспийского моря. Азербиян, 1964. 2. Вагирзаде Ф. М. Формирование среднеплиоценовых залежей нефти и газа в экваториальной части Южно-Каспийской впадины. Азербиян, 1969. 3. Молик-Пашаев В. С. Геология морских нефтяных месторождений Ашуронского архипелага. Гостехтехиздат, 1969. 4. Зейналов З. И., Мамедов М. М., Ушаков А. Н. Геология, нефтеносность и экономическое развитие Артемовского района. Азербиян, 1963.

Институт геологии

Поступило 14. VII 1971

Ф. Чаббарлы, М. М. Ымматов, М. Н. Дадашов

Гәрби Абшерон архипелагының Гырмакуалты лај чөкүтүләринин литологи-фасиал ҳүсусијәти ва коллекторлуг жасасы

ХҮЛӘСӘ

Мүэллифлар Гәрби Абшерон архипелагының Дарвин бинкасы, Артjom одесы, Күркән дәннәни из чөнуб структуру раюндорунда интишар тәнниш Гырмакуалты чөкүтүләринин каротаж диаграммалыра из сүхур нүмүнәләри вәситәсендә тәдгиг етмишләр.

Гылапылар из гумлуулуг хәритәләрниң көрә сүбүт олуулушдур ки, юры-юры структурларда түрдөн генәдләре, үмуми антиклиналь гырмыштар узәр ШГ-дән ҘШ-э тәрәф лајын гылапылар артыр. Гумлуулугун фазалык исә биринчи йөлдә вәләләр, иккинчи йөлдә артыр.

Айдашашмашылдыр ки, антиклиналь гырмыштар узәр ШГ-дән ҘШ-э тәрәф гүм фракциянын фазалык артыр, килин фазалык исә вәләләр.

Карбонатлар Күркән дәннәннәдә эн јүкеәк гијметә мааликдир. Бу, Дарвин бинкасы из сәләә дә чөнуб структуралу тәрәф вәләләр.

Үмуми мәслимәлийин фазалык Дарвин бинкасында Күркән дәннәннә дөгүрү артыр, Күркән дәннәннән чөнуб гырмыштарын тәрәф вәләләр. Гырмакуалты из дәстәсн узәр эн чох кечирчиллик Дарвин бинкасында (461,4 ми. дарен), эн из Күркән дәннәннә (226 ми. дарен) гәрд олуулур.

Сүхурун коллекторлуг жасасы онун литологи тәркиби из сых аллагәдердир,

F. Jabarly, M. M. Ommatov, M. N. Dadashev

Lithologic and Facies Peculiarities and Collector Property of Podkermaklusky Series Formation of the Western Part of Apsheron Arkipelago

SUMMARY

As a result of a very deep study of logging and a core sample the data of a thickness, arenosity, granulometric composition, carbonaceous, porosity and absolute permeability of Podkermaklusky series are amplified in this paper.

Conditions of formation and lithologic collector peculiarities of deposits are shown.

Regularities and peculiarities of lithologic collectors are proved once more in this paper.

Академик М. А. КАШКАЙ, А. И. МАХМУДОВ, А. А. МАГРИБИ

**ТЕТРАДИМИТ И ГЕССИТ ИЗ МЕДНО- И
СЕРНОКОЛЧЕДАННЫХ РУД КАШКАЧАЙСКОГО
МЕСТОРОЖДЕНИЯ В ДАШКЕСАНСКОМ РАЙОНЕ
АЗЕРБАЙДЖАНСКОЙ ССР**

Геологическое строение и минералогия руд данного месторождения изучались впервые нами [2, 3, 4]. При дальнейших же детальных исследованиях авторам удалось установить тетрадимит ($\text{Bi}_2\text{Te}_2\text{S}$) и гессит (Ag_2Te) [6], что представляет определенный интерес. В одних и тех же пробах комплексно исследовались их оптические, физические и химические свойства, кристаллическая структура и парагенетические соотношения.

Кашкачайское медно- и серноколчеданное месторождение в 18—23 км от Дашкесанских кобальтово-железорудных месторождений располагается в пределах вулканической средней юры, сложенной в Кашкачайскую антиклинальную складку. Она прорвана интрузивом—сателлитом Дашкесанского гранитоидного комплекса нижнего мела (неоком)—верхней юры. С квардиоритовым дифференциальным связанны гидротермальные изменения окварцевания пород и процессы оруденения. Морфологически руды включают пленного, вкрапленного-прожилкового жильного типа.

В ассоциации теллуридов и гесситов в Кашкачайском месторождении, кроме халькопирита, пирита присутствуют греногириит, пирротин

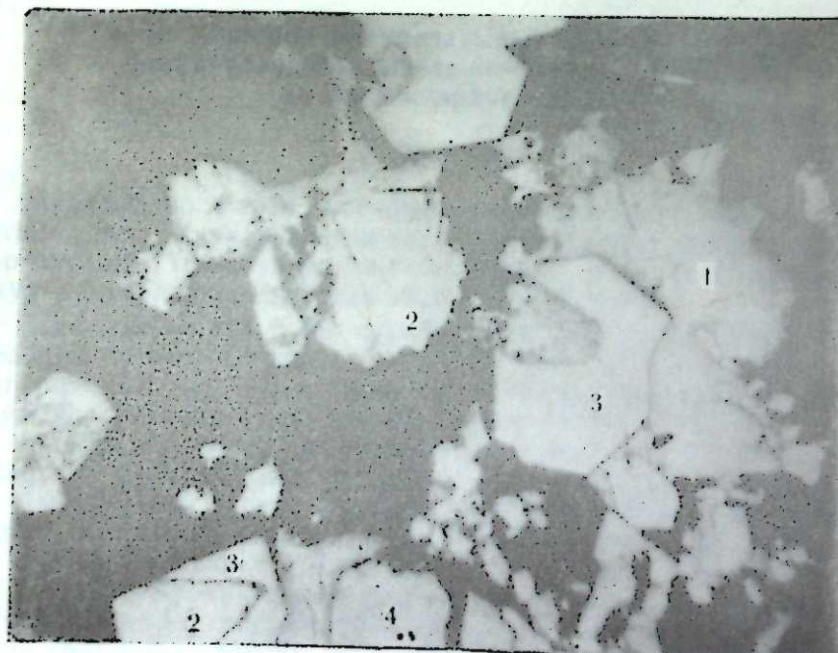


Рис. 1. 1—тетрадимит (серовато-белое); 2—гессит (светло-серое); 3—скелетные кристаллы кобальтина в срастании с аллоклазитом (белое); 4—халькопирит (белое). Кашкачайского месторождения.

Алишиф № 701. Ув. 90.

Результаты рентгенометрического анализа тетрадимита с примесью гессита из Кашкачайского месторождения

№ пп.	<i>hkl</i>	По Михееву В. И. (1957)						Из Кашкачая	
		42		42a		42b		Пр. 701 из Кашкачая	
		<i>I</i>	$\frac{da}{n}$	<i>I</i>	$\frac{da}{n}$	<i>I</i>	$\frac{da}{n}$	<i>I</i>	
1	222	6	5,06	2	4,94	2	5,20		
2						7	4,12		
3	100	5	3,71						
4	110	3		1	3,64	2	3,57		
5	333; 211	2	3,36			5	3,38	4	3,357
6	221	10	3,20	1	3,24	2	3,20		
7				10	3,10				
8						10	3,04	10	3,051
9	322	3	2,84						
10				2	2,76	2	2,72	7	2,705
11	332	4	2,65	3	2,59	5	2,63		
12	444	2	2,52			5	2,50		
13				3	2,45	5	2,42	4	2,423
14	433	6	2,35					4	2,320
15				5	2,28	10	2,26		
16	443	2	2,21					1	2,231
17	011	8	2,16	3	2,16	7	2,14		
18				4	2,11	7	2,08	3	2,047
19						6	2,05		
20	555; 231; 544	5	1,99	4	1,963				
21				4	1,916	7	1,906	3	1,910
22	554; 111; 200	2	1,86					5	1,856
23	220; 342; 311	4	1,79	1	1,819	2	1,808	5	1,802
24				1	1,766				
25	331	1	1,72	4	1,147	5	1,734	5	1,754
26	655; 666; 422	2	1,68						
27	453	2	1,63	5	1,640	7	1,625	5	1,634
28	665; 442	3	1,59	2	1,551	5	1,591	4	1,597
29		533	1	1,54	2	1,551	7		
30				1	1,506	2	1,494		
31				3	1,439				
32				2	1,439	7	1,427	3	1,433
33						2			
34				3	1,347	5	1,341		
35				5	1,292	9	1,288		
36				3	1,254	7	1,251		
37				1	1,216	2	1,226		
38				5	1,207	7	1,203		
39				1	1,181	2	1,180		
40				1	0,880	5	1,078		
41						2	1,059		
42				2	1,051	5	1,049	5	1,0426
43				4	1,012				
44					0,979				
45				2	0,962				
46				3	0,941				
47				3	0,914				
48				4	0,899				
49				4	0,839				
50				4	0,839				

Более точного установления химического состава это микроподход нецелесообразен. Сумма 100% не превышает этого показателя в 95%. Поэтому можно предположить, что содержание в гессите $\text{Bi}_2\text{Te}_2\text{S}$ не превышает 10%, а содержание Ag_2Te не превышает 10—15%. Микровесочные методы позволяют определить содержание гессита в 10—15%.

На нашей просьбе, И. И. Гайдукова из Института геологии и минералогии Академии наук Азербайджанской ССР, определить содержание гессита в 10—15%.

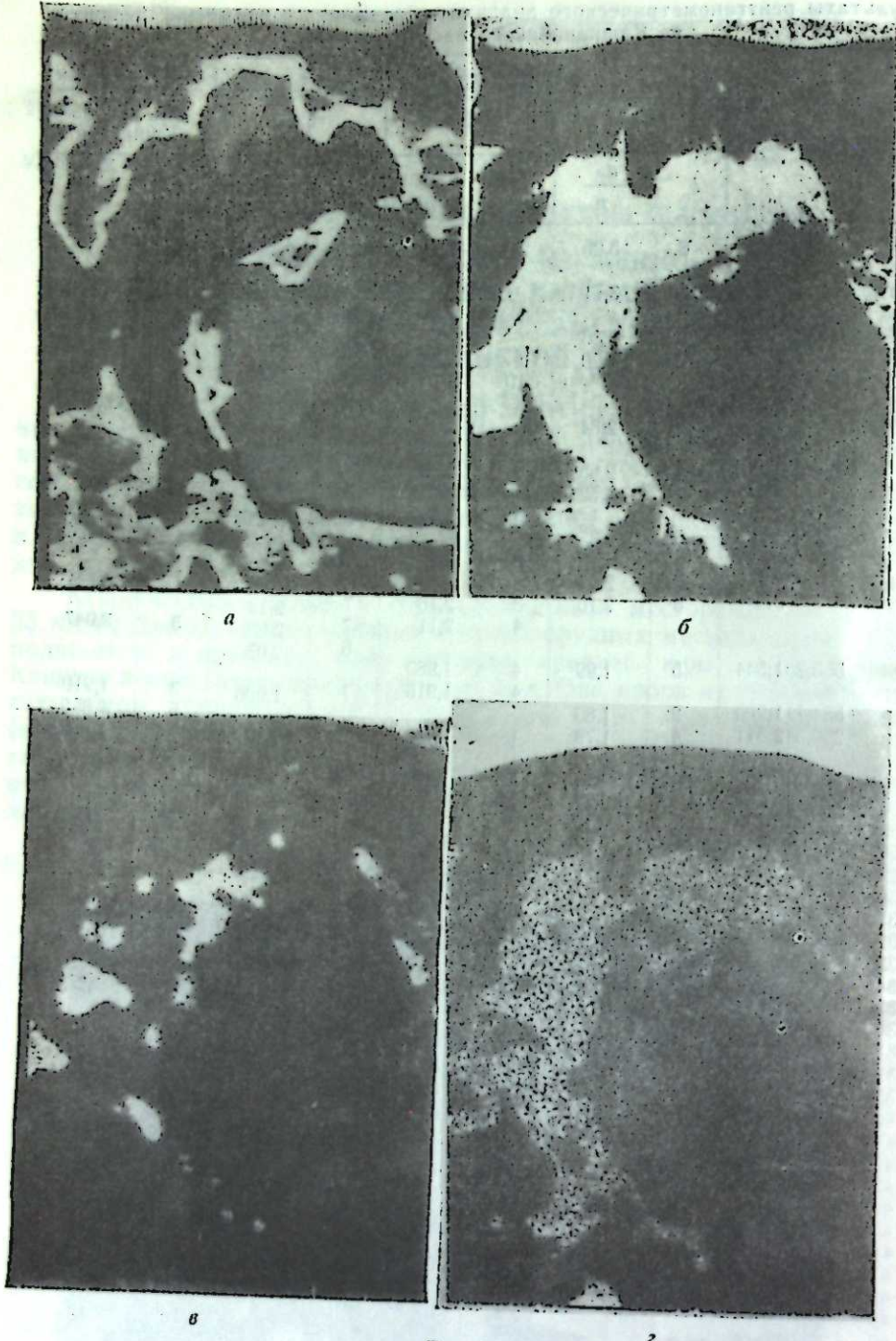


Рис. 2.

марказит, галенит, сфалерит, молибденит, кобальтий, висмутин, аллоклазит, куприт, мельниковит, молибденит, борнит, халькозин, ковеллин, малахит, азурит, лимонит, гетит и гидрогетит; из нерудных минералов—кварц, кальцит и др.

Тетрадимит обнаружен авторами[6] под микроскопом на полированном аншлифе в виде мелких таблитчатых, пластинчатых и зернистых форм выделения размером 0,3—0,5 мм, а иногда до 1—2 мм.

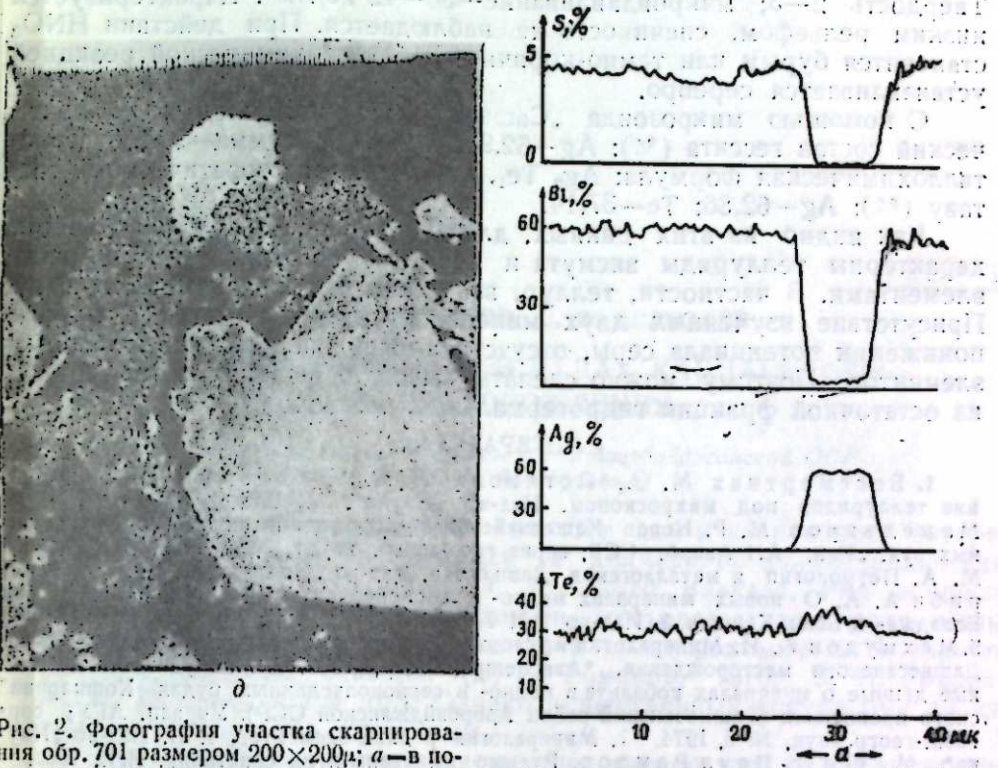


Рис. 2. Фотография участка сканирования обр. 701 размером 200×200 мк; а—в поглощенных электронах и в характеристическом рентгеновском излучении; б—теллур (белое); в—серебро (белое); г—висмут (белое); д—сера (серое).

Рис. 3. Запись распределения Te, Ag, Bi и S по поверхности обр. 701 по профилю, обозначенному на рис. 2.

Он подобен теллуровисмутиту и находится в срастании с гесситом. Они выполняют промежутки скелетных кристаллов халькопирита, кобальтина, аллоклазита и др. или их окаймляют (рис. 1). По твердости (5—2), микропдавливанию (27—70 кг/мм²), коэффициенту анизотропии [1,6], бледно-стально-серому цвету, металлическому блеску тетрадимит характерен. В литературе для него указываются электропроводность и термоэлектрические свойства. Несмотря на различные свойства травления по отношению к отдельным реактивам, на тетрадимит действует HNO₃ (при вскипании выделяется NO₂), минерал приобретает темно-коричневый цвет.

Для более точного установления тетрадимита был определен химический состав его микрозондом «Сатеса** (%): Bi—59,5; Te—36,0; S—4,5 (сумма 100). Пересчет этого анализа на кристаллохимическую формулу показал: Bi_{2,03} Te_{2,01} S_{1,00}, что соответствует его теоретическому составу: Bi—59,2; Te—36,18 и S—4,55.

Межплоскостные расстояния тридимита с примесью гессита при-

*По нашей просьбе, И. П. Лапутина на рентгеновском анализаторе—микрозонде «Камека» французской фирмы произвела химический анализ теллурита Кашкачайского месторождения.

ведены в таблице. Также получена фотография сканированного изображения (обр. 701) размером $200 \times 200 \mu$ (рис. 2), произведена запись распределения теллура, серебра, висмута и серы (рис. 3) на поверхности того же образца по профилю, обозначенному на рис. 2.

Гессит на полированных шлифах виден светло-серыми мелкими кристалликами на поверхности белых зерен тетрадимита. Наблюдается анизотропный мелкозернистый агрегат пластинчатых двойников. Твердость 2–3; микровдавливание – 30–42 кг/мм². Характеризуется низким рельефом, спаянность не наблюдается. При действии HNO₃ становится бурым или темно-коричневым. Микрохимической реакцией устанавливается серебро.

С помощью микрозонда "Самеса" установлен следующий химический состав гессита (%): Ag – 62,95; Te – 37,0; сумма – 99,95. Кристаллохимическая формула: Ag₂Te₁, что отвечает теоретическому составу (%): Ag – 62,86; Te – 37,14.

Как видно из этих данных, для Дашкесанского рудного района характерны теллуриды висмута и серебра, возможны и с другими элементами. В частности, теллур, возможно и селен, замещают серу. Присутствие изученных двух минералов свидетельствует о резком понижении потенциала серы, отсутствии мышьяка и других подобных элементов. Поэтому можно сделать вывод о выделении теллуридо из остаточной фракции гидротермальных растворов.

ЛИТЕРАТУРА

1. Бессмертная М. С., Логинова Л. А., Соболева Л. И. Определение теллуридов под микроскопом. Изд-во "Наука". М., 1969.
2. Кащакай М. Мамедъяров М. Р. Новое Кашичайское месторождение медно-серноколчеданных руд. Изв. АН Азерб. ССР, серия геол-геогр. наук, № 3, 1959.
3. Кащакай М. А. Петрология и металлогения Дашкесана. Изд-во "Недра". М., 1965.
4. Мартиби А. А. О новых минералах медно- и серноколчеданных руд бассейна р. Баладжа- и Беюк-Кашкайчай. Изд-во АН Азерб. ССР, т. XX, № 11. Баку, 1965.
5. Махмудов А. И. Минералогия и условия формирования кобальтовых руд Южного Дашкесанского месторождения. "Азернешр", Баку, 1968.
6. Махмудов А. И. Новые данные о минералах кобальта в медно- и серноколчеданных рудах Кошкарчайского проявления (Дашкесанский район Азербайджанской ССР). Уч. зап. АГУ, сер. геол.-геогр. наук, № 6, 1974.
7. Минералогия редких элементов, т. II. Изд-во "Наука", М., 1964.
8. Пауль Райдор. Рудные минералы и их срастания. ИЛ., 1962.

Институт геологии

Поступило 12. III 19

М. Э. Гашгай, Э. И. Махмудов, Э. А. Магриби

Дашкесан району Гашгачай жатағы мис вә күкүрд колчеданы филизләринде тетрадимит вә һессит минераллары

ХУЛАСЭ

Мүэллифләр тәрәфиндән Гашгачай мис вә күкүрд колчеданы филизләринин минераложи тәркиби микрозондом "Самеса" вә дикәр үсүлар илә дәгиг тәдгиг едилмиш, истиңәдә һәмни жатаг үчүн жени тетрадимит вә һессит минераллары мүәјжән олунмушдор. Һәмни минералар бөйүк иәзәри вә әмәли әһәмијәт кәсб едир.

М. А. Кащакай, А. И. Махмудов, А. А. Магриби

Tetradymite and hessite from copper-and sulphur-pyrite ores from the Kashkachay deposit in the Dashkeshan region, Azerbaijan SSR

SUMMARY

Following a thorough investigation of the mineral composition copper-and sulphur-pyrite ores from the Kashkachay deposit, using the microsound "Samesa" and other methods, there were ascertained by the authors two new minerals for this deposit—tetradymite and hessite which are both of theoretical and practical interest.

АЗЭРБАЙЧАН ССР ЕЛМЛӘР АКАДЕМИЯСЫНЫН МӘРҮЗӘЛӘРИ

ДОКЛАДЫ АКАДЕМИИ НАУК АЗЕРБАЙДЖАНСКОЙ ССР

ТОМ XXX

№ 5

1974

УДК 549. 313. 7

ГЕОЛОГИЯ

Г. И. КЕРИМОВ, С. Ф. ВЕЛИЗАДЕ

НОВЫЕ МИНЕРАЛЫ В РУДАХ КАЦДАГСКОГО МЕСТОРОЖДЕНИЯ

(Представлено академиком АН Азербайджанской ССР
Ш. А. Азизбековым)

Кацдагское месторождение является одним из наиболее интересных среди медно-пирротиновых и колчеданно-полиметаллических месторождений южного склона Большого Кавказа. Ряд вопросов, касающихся геологической позиции месторождения, роли малых интрузий в локализации оруденения и их петрохимической характеристики, уже был освещен (В. И. Романов, 1970; В. И. Романов, М. П. Елчиев, 1971 и др.). Однако вещественный состав руд до сих пор оставался слабо изученным.

При детальном изучении вещественного состава руд Кацдагского месторождения нами помимо ранее известных обнаружен ряд минералов, незначительных по масштабам распространения, но весьма интересных в генетическом отношении, из которых в настоящей статье описываются самородный висмут, свинецодержащий жозеит A, кубанит, а также серебросодержащий тетраэдрит. Наличие блеклых руд на Кацдагском месторождении отмечалось еще до наших исследований, однако без каких-либо диагностических данных, могущих установить точно название минерала из этой группы. Из группы блеклых руд серебросодержащий тетраэдрит также установлен нами.

Самородный висмут (Bi) встречается в тесной парагенетической ассоциации с поздними генерациями галенита и халькопирита и свинецодержащим жозеитом A. Среди агрегатов галенита образует мелкие неправильной формы выделения (рис. 1). Местами выполняет промежутки между зернами пирротина. Размеры ксеноморфных выделений самородного висмута в поперечнике доходят до 0,06 мм. Он обнаружен как в массивных и полосчатых, так и в прожилково-вкрашенных рудах. Самородный висмут, галенит и халькопирит поздних генераций по времени выделения близки и являются почти одновременными. Для определения наличия висмута в минерале нами применялась реакция капельного анализа (С. А. Юшко, 1966). Полированная поверхность минерала подвергалась травлению HNO₃ (1:1) в течение 1 мин с последующим добавлением 10%-ного раствора тиомочевины. Образовавшееся при этом на фильтровальной бумаге желтое пятно служило доказательством наличия висмута в минерале.

Свинецсодержащий жозеит А является весьма редким минералом и обнаружен нами только в трех образцах в тесной парагенетической ассоциации с самородным висмутом и приурочен исключительно к агрегатам галенита поздней генерации. Обычно представлен

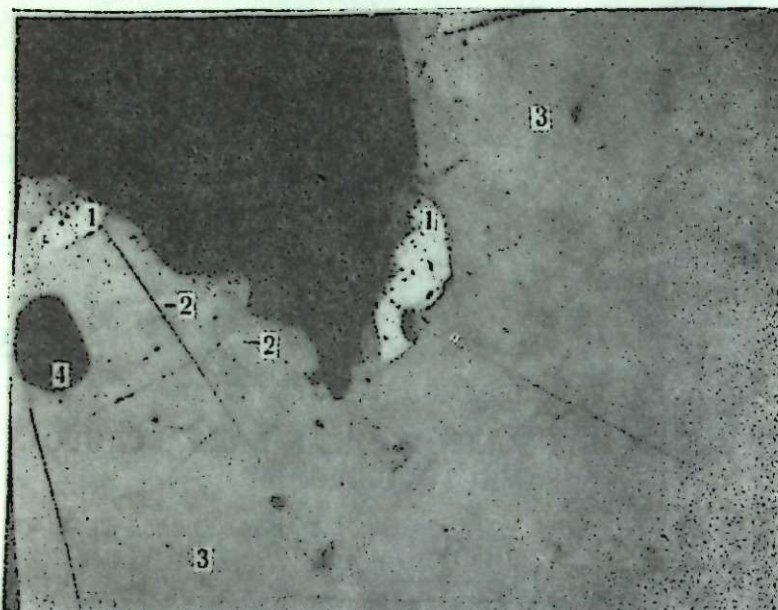


Рис. 1. Неправильной формы выделения самородного висмута (1) и пластинчатые агрегаты свинецсодержащего жозеита А (2) в галените (3). Серое—сфалерит (4), черное—кварц. Обр. 6492. Полированый шлиф. Увел. 450.

мельчайшими выделениями и весьма тонкими пластинками величиной до $0,032 \times 0,12$ мм (рис. 1). Химический состав минерала определен на рентгеновском микроанализаторе Ms-46 французской фирмы „Камека“. Количество анализу предшествовало проведение

Таблица 1
Химический состав свинецсодержащего жозеита А

№ образца	Элементы	Весовой процент	Атомные количества	Аналитические линии
6492	Bi	76,0	0,365	BiLa ₁
	Pb	4,0	0,019	PbLa ₁
	Te	13,5	0,106	TeLa ₁
	S	6,1	0,190	SK _a
Сумма		99,6		
(Bi, Pb) _{0,06} Te _{1,11} S ₂				

Химическая формула

качественного анализа на все элементы. Проверялась также гомогенность минерала. Сканирование зерен минерала в рентгеновских лучах показало, что уровни концентраций главных элементов в пределах зерен существенно не меняются и они распределены в минерале равномерно. Для качественного анализа использовались аналитические линии BiLa₁, PbLa₁, TeLa₁ и SK_a. Этalonами для определения Bi и Te

служили чистые металлы, а для Pb и S—минералы стехиометрического состава PbS и FeS₂. При проведении количественного анализа в измеренные значения относительных интенсивностей линий вносились поправки на поглощение (Philibert, 1965) с использованием значений массовых коэффициентов поглощения (Heinrich, 1966); при этом учитывались также поправки на атомный номер (Duncumb, Reed, 1968) и на флуоресцентное возбуждение характеристическим излучением присутствующих элементов (Reed, 1965). Результаты определения химического состава минерала приведены в табл. 1.

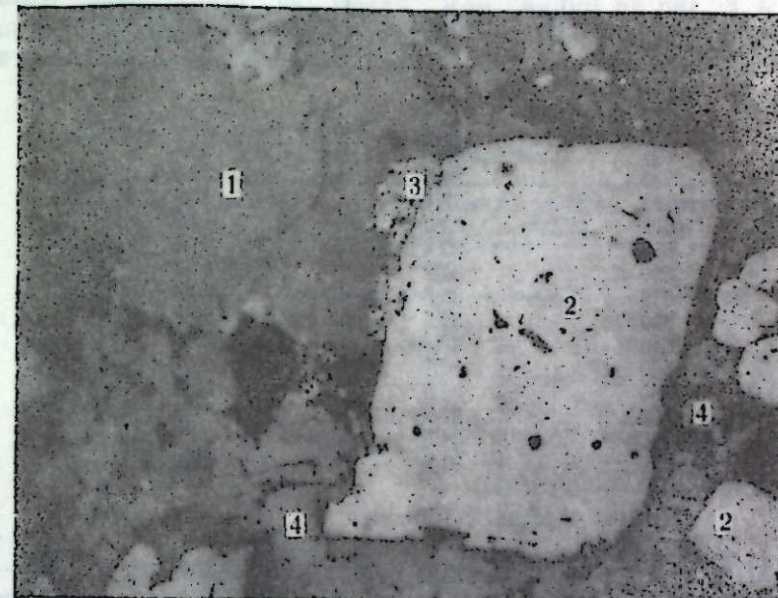


Рис. 2. Ксеноморфные агрегаты серебросодержащего тетраэдрита (1) с кристаллами пирита (2); в контакте этих минералов марказит (3), светло-серое—халькопирит I (4), черное—кварц. Обр. 2020. Полированный шлиф. Увел. 340.

По химическому составу наш свинецсодержащий жозеит А является членом изоморфного ряда теллуржозеит (В)-сульфожозеит (А) и хорошо сопоставляется с жозеитом А (Bi_{4,01}Te_{1,01}S_{1,99}) из Британской Колумбии (А. А. Годовиков и др., 1971). Как видно из табл. 1, минерал содержит 4 весовых процента Pb, что, по-видимому, объясняется аномальным доменным изоморфным замещением свинцом висмута в минерале (Э. А. Дукин-Борковская и др., 1968). Так как свинецсодержащий жозеит А встречается в очень тесном срастании с галенитом, наличие в составе минерала свинца возможно также из основы (подложки) последнего. В силу очень малых размеров выделений мы были лишены возможности иметь рентгенометрическую характеристику и точных данных по оптическим свойствам минерала.

Кубанит. О наличии кубанита в рудах Кацдагского месторождения отмечено в рукописном отчете обогатителей (Н. В. Щегай и др., 1970) без каких-либо диагностических данных. Кубанит относится к числу редких минералов руд Кацдагского месторождения. Он встречается в тесной парагенетической ассоциации с халькопиритом поздней генерации, образуя тонкие пластинки в последнем. Толщина пластинок кубанита в среднем порядка 0,012 мм, хотя нередко имеет место частое утолщение и расщепление отдельных пластинок, а в большинстве случаев последние постепенно выклиниваются, реже внезапно обрываются. Произведенные нами проверки с магнитной

супензией показали, что кубанит обладает магнитными свойствами, пластики его полностью покрываются супензией.

Образование пластинчатого срастания кубанита с халькопиритом объясняется распадом высокотемпературного твердого раствора с понижением температуры (П. Рамдор, 1962, А. Д. Генкин и др., 1966).

Таблица 2
Значения R серебросодержащего тетраэдрита

$\lambda, \text{нм}$	R, %	
	2020*	Эталонный тетраэдрит из Урала
440	32,0	30,8
460	32,0	30,5
480	32,3	30,5
500	32,8	30,9
520	33,1	31,7
540	33,3	31,9
560	33,4	31,6
580	33,2	31,0
600	32,8	30,4
620	32,5	29,8
640	32,4	29,0
660	32,1	28,5
680	32,0	27,5
700	31,7	27,0
720	31,5	26,8
740	31,2	26,4

* номер образца.

По Будько и др. (1971) в условиях высоких температур (800–900°) существуют пирротиновый, борнитовый и халькопиритовый твердые растворы, которые при понижении температуры до 235°C распадаются на кубанит и халькопирит. Продукты этого распада являются надежным „геологическим термометром“.

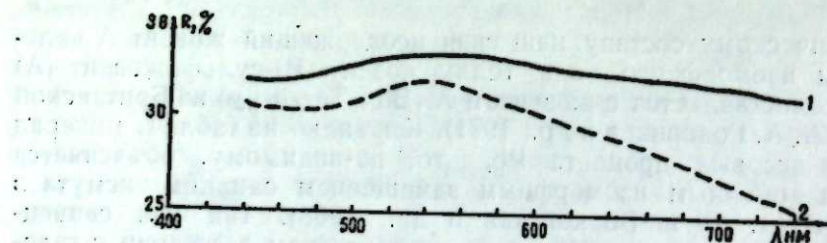


Рис. 3. Кривые дисперсии отражения: 1—серебросодержащий тетраэдрит из Кацдагского месторождения; 2—эталонный тетраэдрит из Урала.

Серебросодержащий тетраэдрит образует тесные срастания с халькопиритом первой генерации. Часто мельчайшие включения минерала приурочены к агрегатам сфалерита. Более крупные выделения его имеют неправильную форму (рис. 2), размеры которых достигают 0,14 мм в поперечнике. В участках, где пиритовые агрегаты раздроблены, он проникает в ранний пирит и интегрально коррелирует его, замещает сфалерит, в свою очередь замещается пирротином и агрегатом, состоящим из халькопирита и галенита поздних генераций. Последние образуют заливы, проникающие в агрегаты серебросодержащего тетраэдрита.

■ Значения R серебросодержащего тетраэдрита определялись в лаборатории минерографии ИГЕМ АН СССР Л. Н. Вяльсовым на установке „ПИОР“. Измерение производилось при объективе 3 \times фирмы „Лейц“. В качестве эталона использовался металлический кремний. Спектральная чистота излучения 30 Å. Диаметры фотометрируемого и освещаемого участков соответственно 10 и 20 μ. Использован фотоэлектронный умножитель ФЭУ-79. Напряжение на ФЭУ-79 1450 в. Значения R минерала помещены в табл. 2, кривые дисперсии отражения показаны на рис. 3. Для сравнения приведены данные отражения эталонного тетраэдрита из Урала. Как видно из рис. 3, R нашего тетраэдрита выше, чем у эталонного, что объясняется изоморфным вхождением серебра в решетку минерала.

Таблица 3
Результаты рентгенометрического анализа серебро-содержащего тетраэдрита

2020*		L. G. Berry and R. M. Thompson (1962)	
I	d_a	I	d_a
1	6,16	1/2	4,29
1	4,31	1	3,69
1	3,73	3	
3	3,351	10	3,00
10	3,029	2	2,80
2	2,819	4	2,62
4	2,631	2	
2	2,553	3	2,49
2	2,479	1	
1	2,410	4	
1	2,236	3	2,23
4	2,053	4	2,06
3	1,923	9	
9	1,859	6	1,855
1	1,800	1	1,81
1	1,750	2	
2	1,704	7	1,583
7	1,583	6	
1	1,487	2	1,482
1	1,333	3	1,331
1	1,316	2	1,312
1	1,297	1	
2	1,255	3	1,254
2	1,223	3	1,220
2	1,203	4	1,204
1	1,162	1	
1	1,133	2	1,131
3	1,108	2	1,106
1	1,095	1	
1	1,082	4	1,083
5	1,071	1	
1	1,040	2	1,072
1	1,021	2	
2	1,011	1	
2	1,001	2	

$a = 10,466 \text{ \AA}$

*номер образца.

Сложность структурного травления блеклых руд затрудняет судействие о форме, размерах и срастаниях зерен в агрегатах серебросодержащего тетраэдрита.

Для рентгеновской съемки нами было отобрано микроколичество минерала по методу А. Д. Генкина, Н. В. Королева (1961). Съемка проводилась на установке УРС-55 в камере РКД диаметром 57,3 мм.

Условия съемки: железное излучение—35 кв, 16 та. Данные рентгеноометрического анализа приведены в табл. 3.

Рентгеноометрически предварительно исследованные зерна минерала подверглись лазерному спектральному анализу. Последним установлено высокое содержание в минерале меди, железа, сурьмы, серебра, значительное количество цинка, следы никеля и хрома. Наличие в минерале высокого содержания серебра объясняется изоморфным замещением последним меди в тетраэдрите (М. С. Сахарова, 1966).

В заключение авторы выражают искреннюю благодарность И. П. Лапутиной, Л. Н. Вяльсову, Г. В. Басовой и Г. Л. Васильеву за определение некоторых констант минералов.

ЛИТЕРАТУРА

1. Булько И. А., Брызгалов И. А., Ракчесев А. Д. К вопросу о полиморфных модификациях кубанита. Зап. Всес. минер. о-ва, 100, № 4, 1971.
2. Геккин А. Д., Королев Н. В. К методике определения небольших зерен минерала в рудах. Геол. рудн. месторожд., № 5, 1961.
3. Геккин А. Д., Филимонова А. А., Шадлун Т. Н., Соболева С. В., Тронева Н. В. О кубическом кубаните и кубическом халькопирите. Геол. рудн. месторожд., № 1, 1966.
4. Годиков А. А., Кочеткова К. В., Лаврентьев Ю. Г. О систематике сульфотеллуридов и теллуридов висмута. Зап. Всес. минер. о-ва, ч. С, вып. 4, 1971.
5. Дуини-Борковская Э. А., Лидер В. В., Рожанская В. Н. Свинец содержащий жозеит из Устарасая. Зап. Всес. минер. о-ва, ч. 97, вып. 5, 1968.
6. Рамдор П. Рудные минералы и их срастания. ИЛ., 1962.
7. Романов В. И. Роль субвулканических малых интрузий в локализации колчеданно-полиметаллических залежей Кацдагского месторождения (Большой Кавказ). Труды Центр. науч.-исслед. горноразвед. ин-та цветн., редк. и благородн. мет., вып. 92, 1970.
8. Романов В. И., Елчнев М. П. Геологическая позиция и структурные условия размещения колчеданно-полиметаллического и медно-пирротинового оруденения в Кехиз-меданской взбросо-надвиговой зоне (южный склон Большого Кавказа). Труды Центр. науч.-исслед. горноразвед. ин-та цветн., редк. и благородн. мет., вып. 99, 1971.
9. Сахарова М. С. Основные вопросы изоморфизма и генезиса блеклы руд. Геол. рудн. месторожд., № 1, 1966.
10. Щегай Н. В., Воронин А. Н., Макарова И. С. Изучение обогатимости руд новых месторождений Азерб. ССР (массивные и прожилковато-вкрашенные руды Кацдагского месторождения). М., 1970.
11. Юшко С. А. Методы лабораторного исследования руд. Изд-во „Недра“, М., 1966.
12. Berry L. G. and Thompson R. M. x-ray powder data for ore minerals. The geological Society of America, Memoir 85, № 4, 1962.
13. Dunsmuir B. Reed-Quantitative electron probe microanalysis, 1968.
14. Reed Brit. J. Appl. Phys. robe, 1966.
15. Hepprich K. F. S. x-ray absorption uncertainty. The electron Microprobe, 1966.
16. Philibert L'analyse quantitative en microanalyse par sonde électronique. Publication JRSID. Ser. B, № 51, 1965.

Институт геологии

Поступило 23. I 1973

Н. Н. Кәримов, С. Ф. Вәлизадә

Касдағ жатағы филизләринде жени минераллар

ХҮЛАСӘ

Касдағ жатағының колчедан-полиметал вә мис-пирротин филизләринде илк дәғә оларға сәрбәст бисмут, гурғушунлу жозеит-А, кубанит вә күмүшлу тетраедрит кими жени минераллар мүәјжән едилмишидир.

Сәрбәст бисмут вә гурғушунлу жозеит-А гәленит вә халькопиритин сон кенерасијалары илә сыйх парзакнетик ассоциацияда раст көлир. Кубанитта халькопиритин сон кенерасијасы ичәрисинде назик лөвһәчикләр шәклиндә тәсадүф едилер. Күмүшлу тетраедрит халькопиритин биринчи кенерасијасы илә ассоциация тәшкил едир.

H. J. Kerimov, S. F. Velizade

New minerals in ores of Katsdag deposit

SUMMARY

In studying material composition of pyrite-polimetallic and copper-pyrrhotite ore of Katsdag deposit the new minerals are ascertained for the first time: native bismuth, plumbiferous josseite A, cubanite and argentiferous tetrahedrite.

Native bismuth and plumbiferous josseite A are met in close paragenetic association with late generations of galenite and chalcopyrite.

Cubanite associates with chalcopyrite of late generation and is the product of decay of high temperature hard solution.

Argentiferous tetrahedrite is met in paragenetic association with chalcopyrite of the first generation.

АГРОХИМИЯ

Г. И. ИСМАИЛОВ

**ФОСФОР КУБРЭСИННИН МУХТЭЛИФ НОРМАЛАРЫНЫН
ПАМБЫГ БИТКИСИНДЭ ФОСФОР БИРЛЭШМЭЛЭРИНИН
ТОПЛАНМАСЫНА ТЭ'СИРИ**

(Азэрбајҹан ССР ЕА академики В. Х. Тутајуг тэгдим етмишdir)

Битки һәјаты үчүн фосфор эн вачиб гида элементләриндән биридир. Фосфорсуз иенини али биткиләр, һәтта эн садә организмләр белә яшаја билмәз. Бу, һәјати просесләрдә мүһүм рол ојнајан бир чох маддәләрин тәркибиң дахил олур. Мәһз буна көрә дә А. Е. Ферсман [1] фосфору «һәјат вә фикир элементи» адландырымышдыр. Мүэллиф көстәрир ки, фосфор бүтүн организмләриң даими тәркиб һиссәси олараг неч бир элементлә өвэз едила билмәз.

А. В. Соколов (1950) көстәрир ки, «фосфорсуз һәјат јохдур», онун мүрәккәб бирлешмәләри биткидә сәрбәст функцияда малик олуб, һүчејрә ширесинин буферлик габилийетини артырыр вә организмдә јени әмәлә кәлмиш һүчејрәләрин инициафы үчүн әсас фосфор мәнбәји ролуну ојнајыр.

Гејд етмәк лазымдыр ки, маддәләр мубадиләсиинн әксәр просесләри јалныз фосфор туршусунун иширакы илә кедир. Илк дәфә олараг А. И. Опарин вә А. Л. Курсанов [3] көстәрмишләр ки, фосфор туршусу илә фруктозанын бирлешмәсендән әмәлә кәлмиш фруктоза-6 фосфат вә глукоза-фосфориллаза ферментинин тэ'сир илә шәкәрләrin синтез процеси јараныр.

Л. С. Лјубарскаја [4] фосфорун иширакы олмадан ди-вә полисахаридләрин синтезини гејри-мүмкүнлүјүнү гејд едир.

Фосфор һәмчинин битки дахилиндә шәкәрләрин топланмасында [5, 6, 7] сулукарбонларын диссимилјасы просесинде, биринчи нөвбәдә исә синтез, тәнәффүс вә гычгырма просесләриндә [2, 8], иңһајет, биткинин бөјүмә вә инициафында, көк системинин мөһкәмләнмәсендә, онун бөјүмә сүр'этинде, хүсүсилә векетатив органлардан кенератив органлара кечид просесинин сүр'этләнмәсендә, тохумун тез јетишмәсендә әсас рол ојна-

жыр [2, 9, 10, 11, 12].

Фосфор бирлешмәләри формаларынын ёрәнилмәсиин бөյүк әһәмијәти вардыр. Биткиләрдә фосфор, әсас е'тибарилә, үзви вә минерал бирлешмәләр һалында олмагла маддәләр мубадиләсендә мүһүм рол ојнајыр.

Үзви фосфор бирлешмәләриң аид олан фосфатидләр, нуклеин туршулары вә яхуд нуклеопротеидләр, фитин вә сахарофосфатидләр битки һәјатында чох бөйүк әһәмијәтә маликдир. Буна көрә дә 1967-чи илдә ве-

кетасија тәчрүбәси васитэсилә Мил—Гарабағ зонасынын гәдимдән суварылан шабалыды торпагында ади суперфосфат күбрәсиин мүхтәлиф до-заларынын памбыг биткисинин ајры-ајры инициаф фазаларында үмуми фосфорун топланма динамикасы илә берәбәр, набелә битки дахилиндә һәмни фосфорун һаңсы чеврилмәләрә мә'рүз галдырыны мүәјҗән етдик.

Тәдгигатын мәгсәдинә уйғун олараг, памбыг биткисинин мүхтәлиф инициаф фазаларында (гәнчәләмә, чичәкләмә, мејвәэмәләкәлмә вә векетасијанын сонуна) битки нүмунәләрі көтүрүлүб, габагча отаг температурunda, соңра исә термостатда 60—70°C-дә сабит чәки алышана гәдәр гүрудулуб әзиләрәк 1 мг-лик әләкән кечирилмишdir. Соңра һәмни нүмунәләрдә фосфорун үмуми мигдары (К. Е. Кинзбург, Г. М. Шеглова, Е. А. Вулфиус үсулу илә), минерал, туршуда һәлл олан үзви, фосфатид вә нуклеопротеид бирлешмәләрі (А. В. Соколов үсулу илә) тә'јин едилмишdir.

Чәдәл

Фосфор күбрәсиин нормаларынын памбыг биткисинде фосфор бирлешмәләринин топланмасына тэ'сир
(1 г гуру маддәдә, мг-да)

Тәчрүбәнин схеми	Фосфор бирлешмәләринин формалары	Инициаф фазалары			
		гәнчәләмә	чичәкләмә	мејвәэмәләкәлмә	векетасијанын сону
Күбрәсиз (контрол)	минерал туршуда һәлл олан фосфатидләр иуклеопротеидләр үмуми	1,07 0,59 0,52 2,43 4,61	0,75 0,83 0,62 1,90 4,10	0,52 1,06 0,69 1,40 3,67	0,32 0,43 0,30 2,19 3,24
Фон+N100 мг N+SO мгК	минерал туршуда һәлл олан фосфатидләр иуклеопротеидләр үмуми	1,15 0,62 0,57 2,40 4,74	0,80 0,87 0,67 1,84 4,18	0,57 1,10 0,75 1,33 3,75	0,36 0,47 0,35 2,15 3,33
Фон+Pс 50 мг	минерал туршуда һәлл олан фосфатидләр иуклеопротеидләр үмуми	1,36 0,77 0,71 2,62 5,46	0,94 1,00 0,82 0,11 4,87	0,71 1,22 0,94 1,57 4,44	0,48 0,59 0,46 2,22 3,75
Фон+Pс 100 мг	минерал туршуда һәлл олан фосфатидләр иуклеопротеидләр үмуми	1,62 0,88 0,85 2,85 6,20	1,11 1,17 0,95 2,35 5,58	0,83 1,39 1,04 1,74 5,00	0,50 0,70 0,53 2,35 4,18
Фон+Pс 150 мг	минерал туршуда һәлл олан фосфатидләр иуклеопротеидләр үмуми	1,76 0,98 0,92 3,26 6,94	1,20 1,30 1,00 2,65 6,15	0,83 1,48 1,09 2,08 5,58	0,67 0,76 0,57 2,50 4,50
Фон+Pс 250 мг	минерал туршуда һәлл олан фосфатидләр иуклеопротеидләр үмуми	2,00 1,16 1,06 3,78 8,00	1,39 1,47 1,16 3,25 7,27	1,15 1,67 1,26 2,41 6,49	0,80 0,90 0,66 2,93 2,39

Чәдәлдән көрүндүјү кими, азот вә калиум күбрәләри фонунда фосфор күбрәсиин верилмәсі памбыг биткисинде фосфор бирлешмәләринин мигдарынын фона нисбәтэн ھејли артырымышдыр. Лакин бу артым верилмиш фосфор күбрәсиин дозасы илә элагәдәр мүхтәлиф олмуш дур. Мәсәлән, гәдимдән суварылан шабалыды торпагда азот вә калиум күбрәләри верилмиш вариантда биткинин гәнчәләмә фазасында 1 г гуру күбрәләри верилмиш мигдары 1,15 мг-ы тәшмаддә фосфорун минерал бирлешмәләринин мигдары 1,15 мг-ы тәш-

кил етдији налда, бу мигдар һәмин күбрәләр фонунда 50 мг Р₂O₅ верилмиш варианта 1,36 мг-а, фосфор күбрәсисин дозасыны 250 мг Р₂O₅-ә гәдәр артырмагда исә 2,00 мг-а бәрабәр олмушдур.

Һәмин дөврә азот вә калиум күбрәләри верилмиш варианта туршуда һәлл олан үзви фосфор бирләшмәләринин мигдары 1 г гуру маддә 0,62 мг-а, фосфатидләр 0,57 мг-а, нуклеопротеид исә 2,40 мг-а бәрабәр олдуғу налда, бу мигдар мұвағиғ оларғ 50 мг Р₂O₅ верилмиш варианта 0,77; 0,71 вә 2,62 мг 250 мг Р₂O₅ верилмиш варианта исә 1,16; 1,06 вә 3,78 мг-ы тәшкил етмишdir.

Көрүндүјү кими, памбыг биткисинин генчәләмә фазасында минерал фосфор бирләшмәләринин вә нуклеопротеидләрин мигдары туршуда һәлл олан үзви фосфор бирләшмәләри вә фосфатидләрин мигдарына иисбәтән даһа чох олмушдур. Иникишаф фазаларының ахырларында, хүсусилә мејвәэмәләкәлмә фазасында минерал фосфор бирләшмәләринин вә нуклеопротеидләрин мигдарының азалмасы несабына туршуда һәлл олан фосфор бирләшмәләринин вә фосфатидләрин мигдарының артмасыны чәдвәлдән көрмәк мүмкүндүр. Мәсәлән, һәмин фазада азот вә калиум күбрәләри верилмиш варианта минерал фосфор бирләшмәләринин мигдары азалараг 1 г гуру маддә 0,57 мг-ы, нуклеопротеидләр 1,33 мг-ы тәшкил етмишдирсә, эксинә, туршуда һәлл олан үзви фосфор бирләшмәләринин мигдары артараг 1,10, фосфатидләр исә 0,75 мг-а бәрабәр олмушдур.

Һәмин күбрәләр фонунда әлавә оларғ 250 мг Р₂O₅ верилмиш варианта минерал фосфор бирләшмәләринин мигдары 1 г гуру маддә 1,15 мг-а, нуклеопротеидләрин мигдары 2,41 мг-а гәдәр азалдығы налда, туршуда һәлл олан үзви фосфор бирләшмәләринин мигдары артараг 1,67, фосфатидләр исә 1,26 мг олмушдур. Лакин векетасијанын сонунда нуклеопротеидләрин мигдарының эксинә оларғ фосфорун дикәр бирләшмәләринин, минерал, туршуда һәлл олан үзви фосфор вә фосфатидләр) мигдары кәсқин сурәтдә азалмышды. Буны фосфор бирләшмәләринин чох ииссәсинин мәһсүла топламасы илә изән етмәк олар.

Үмумијүттө, апарылмыш тәдгигаты ашағыдақы иәтичәләрлә тамамламаг олар:

1. Азот вә калиум күбрәләри фонунда тәтбиғ олунан фосфор күбрәси памбыг биткисинде фосфор бирләшмәләринин топламасына мүсбәт тә'сир көстәрмишdir.

2. Фосфор күбрәсисин дозасыны 50 мг Р₂O₅-дән 250 мг Р₂O₅-ә гәдәр артырығда биткидә фосфор бирләшмәләринин мигдары даһа чох јүксәлмишdir.

ӘДӘБИЙЛАТ

1. Ферсман А. Е. «Геохимия», том 2, Химтеорет, Л., 1934, 2. Соколов А. В. Агрохимия фосфора, М., 1950. 3. Опарин А. И., Курсанов Л. И. Жури. «Сахарная промышленность» № 7, 1931. 4. Любанская Л. С. Особенности питания сахарной свеклы по периодам роста. Исследования по агротехнике физиологии сахарной свеклы, 1949. 5. Власюк Т. А., Березанский М. Л. Удобрения в районах свекловичного полеводства, К., 1936. 6. Душечкин А. И. Перспективы применения на Украине фосфатов в качестве удобрения. Тр. КСХИ, т. 5, 1949. 7. Ермаков А. И. Методы биохимических исследований, 1952. 8. Енгелгард В. А. «Изв. АН СССР (серия биол.)», № 2, 1945. 9. Абуталыбов М. П. Потребность хлопчатника в различных стадиях развития в минеральном удобрении. Труды Ботанического ин-та, т. VI, АзФАН СССР, 1939. 10. Кружилин А. С. Биологические особенности орошения культур. Сельхозгиз, М., 1954. 11. Ратнер Е. И. Питание растений и применение удобрений. Изд. АН СССР, М., 1955. 12. Гусейнов Р. К. Условия повышения эффективности фосфорных удобрений. Изд. АН Азерб. ССР, Баку, 1960.

К. И. Исмайлов

Влияние различных доз фосфорных удобрений на содержание фосфорных соединений хлопчатника

РЕЗЮМЕ

В вегетационном опыте на давно орошающейся каштановой почве изучалось влияние различных доз фосфорных удобрений на содержание фосфорных соединений хлопчатника. Установлено, что увеличение дозы вносимого простого суперфосфата от 50 до 250 мг/кг почвы повышает содержание в хлопчатнике всех форм фосфорных соединений (неорганические, органические кислотнорастворимые, фосфор, фосфатиды и нуклеопротеиды).

Наибольшее количество нуклеопротеидов и неорганических фосфатов отмечено в фазе бутонизации, а органический кислотнорастворимый фосфор и фосфатиды в этот период составляют незначительную долю. В фазе цветения содержание последних значительно увеличивается. В фазе созревания содержание всех форм фосфорных соединений, за исключением нуклеопротеидов, в связи с накоплением их в урожае, резко уменьшается.

K. I. Ismailov

The effect of various doses of phosphorus fertilizers on the content of phosphorus combination of cotton plant

SUMMARY

It is determined that the increase of the dose of simple superphosphorus into soil from 50—250 mg/kg increases the content of all forms of phosphorus combinations in cotton plant.

УДК 631.85.

КЕНЕТИКА

Мұхбір үзві М. А. ӘЛИЗАДӘ, Р. Т. ӘЛИЈЕВ

НЕТЕРОЗИС ҚАДИСӘСИЛӘ ӘЛАГӘДАР ОЛАРАГ
БУГДА, ЕКИЛОПС ВӘ ЧОВДАР НӨВЛӘРИНИН
ЧИНСАРАСЫ ҢИБРИДЛӘРИНДӘ НУКЛЕИН ТУРШУЛАРЫНЫН
МИГДАРЫ

Нетерозисин тәбиэтинин аждынлашдырылмасы вә ондан кәнд тәсәрүфатында истифадә олуимасы мұасир кенетиканың ән бәйүк проблемаләриндән биридір.

Назырлық тәсөввүрә көрә һетерозис хассәли һибрид биткиләрдә күчлү бој вә јүксәк мәһсүлдарлыг, физиоложи вә биокимјәви нәгтеји-нәээрчә, даһа јүксәк сәвијәлі маддәләр мұбадиләси, жаһуд үмуми мұбадиланың айры-айры һиссәләринин кәмийіттән қаршылаштырылады.

Мәлүмдүр ки, бој вә һүчејрәнин бөлүнмәси просесинде нуклеин туршулары чох мүһүм рол ојнајыр. Күман етмәк олар ки, һетерозис һибридләрдә құчлу бој вә јұксәк мәһсүлдарлығ нуклеин туршулары мұбадиласинин сәвијжәси, жаһуд да онларын дикәр метаболик хүсусијәтләриз алағәздардыр.

Биз, һетерозис һадиссесилә нуклеин туршулары арасындағы эләгән өјрәнмәк мәгсәді илә чәдвәлдә верилмиш буғда, екилопс, چовдар иевләри вә онларын чинсарасы һибридләри үзәриндә тәдгигатлар апармышыг. Һибридләр О. Мәммәдова тәрәфидән алынышдыры. Тәчрүбеләр Азәрбајҹан ССР Елмләр Академијасы Кенетика вә Селексија Институтуну Гарабаг Елми-Тәчрүбә Базасында گојулмушшур. Нұмунәләр боруверма фазасында бүтөв битки шәклиндә көтүрүлмүш, нуклеин туршуларының мигдары Nieman a. Poulsen (1963) методы ила тәжірибелі.

Чэдвэлдэн көрүндүү кими, човдар-бугда һибридибојуунун һүндүр олиасына баҳмајараг гурь чөкчинн мигдарына көрэ өз валидејн формаларына иисбәтэн аралыг мөвгедэ дуур. Бу һибриддэ нуклеин туршуларыны иисби вэ мүтлэг мигдары дà өз валидејиләриә нисбәтэн аралыг мөвгедэдир.

Екилопс бүгда һибридлэриндээ исэ вэзијжэт тамамилэ башгадыр. Доғрудур, бу һибридлэр дэ борувермэ фазасында гуру чэкинин топлан-масына көрө валидејнлэриндэн бир о гэдэр фәрглэнмир. Лакин иуклени-туршуларынын нисби вэ мутлэг мигдары бу һибридлэрдэ нэээрэ чарпа-чаг дэрэчэдэ јүксэкидир. Мэсэлэн, валидејн формалар олан бэрк бүгда вэ екилопсда РНТ-ний нисби мигдары 635; 715 мг%, мутлэг мигдары 15,2; 17,2 мг-дырса, һибрид биткидэ мұвағиг олараг РНТ 832 мг% вэ 20,1 мг-ы тәшкіл етмишдир. ДНТ-ний мигдары исэ екилопсда эн аз—122 мг% вэ 2,9 мг; бэрк бүгдада эн чох—175 мг% вэ 4,2 мг; бэрк бүгда-екилопс һибридийндэ исэ орта мөвгедэ—156 мг% вэ 3,8 мг олмушудур.

Жумшаг бүгда екилопс һибридләриндә дә јухарыдақы ганунаујғунлуг сахланыр, јәни иуклеин туршуларының мигдары валидејн формалара нисбәтән бу һибридләрдә јүксәкдир. Лакин бәрк бүгда-екилопс һибриддиндә РНТ-нин, жумшаг бүгда-екилопс һибридләриндә ишә ДНТ-нин мигдары иәзэрә чарпачаг дәрәчәдә јүксәк олур. Бу, тамамилә ганунаујғундур. Чунки бәрк бүгданың биология мәһсүлдарлығы жумшаг бүгдаја нисбәтән јүксәкдир.

ЧЭДВЭЛ

Friticum, *Aegilops* вә *Secale* нөвләринин чинарасы инбриидләрində нуклеин туршуларынын мигдары (борувермә фазасы)

Валидеји формалар вэ гибридлэр	Бир бит- кинии гурү чэкиси, г-ла	Гурү маддээдэ, мг %-ла		РНТ		Бир биткидэ, мг-ла	
		РНТ	ДНТ	ДНТ	РНТ	ДНТ	ДНТ
Валидеји формалар							
<i>Tr. durum</i> , Чэфэри	2,39	635	175	3,63	15,2	4,2	
<i>Tr. aestivum</i> , Болбугда	4,28	617	287	2,15	26,4	12,2	
<i>Tr. aestivum</i> , Йерли ферру- м кинеум	1,98	822	213	3,86	16,3	4,2	
<i>Ae. aucheri</i>	1,55	648	201	3,22	10,0	6,1	
<i>Ae. owata</i>	2,40	715	122	5,85	17,2	2,9	
<i>Ae. triuncialis</i>	1,65	930	247	3,77	15,3	4,1	
<i>Secale segitale</i> —чөл човдары	5,06	278	103	2,70	14,1	5,3	
Гибридлэр, F_2							
<i>Secale segitale</i> X <i>Tr. durum</i> , Чэфэри	3,06	490	130	3,77	15,0	4,0	
<i>Tr. durum</i> , Чэфэри X <i>Ae.</i> <i>owata</i>	2,46	832	156	5,34	20,2	3,3	
<i>Tr. aestivum</i> , Йерли феррум киненум X <i>Ae. owata</i>	2,77	680	305	2,23	18,8	8,4	
<i>Tr. aestivum</i> , Болбугда X <i>Ae. aucheri</i>	4,08	797	203	3,93	20,6	3,3	
<i>Secale segitale</i> X <i>Ae. triun- cialis</i>	2,93	671	163	412	19,7	4,7	

Жумшаг бүгд-екилопс (жерли феррукинеум X овата) һибридиндэ ДНТ-нин мигдарынын өз валидеји формаларындан јүксәк олмасы чох мараглы фактдыр. Белә ки, бу һибрид морфологи эламәтләринә кәре ата вә анатоми әсас хүсусијәтләрини өзүндә чәмләшdirмишdir. ДНТ-нин нисби мигдарынын белә јүксәк олмасы, бизчә, бу һибридин амфи-диплоидлији илә элагәдардыр. Одур ки, бу һибридин ситологи чәһәтдән өјрәнилмәси чох мараглыдыр.

Чэдвэлдэ човдар-екилопс нибридиний характеристизэ сэдэн рэгэмлэр дэ мараглыдыр. Бу нибрид нуклеин туршууларынын нисби мигдарынын јүксэклийнэ көрө ата формаја—екилопса, гуру маддэнийн интенсив топлан- масына көрө исэ ана форма олаи човдара уյгун кэлир. Одур ки, РНТ вэ ДНТ-ийн нисби мигдары бу нибриддэ өз валидеjnлэрийнэ нисбэтэн јүксек олмаса да, онларын мутлэг мигдары валидеji формаларындан иэзэрэ чарпачаг дэрэчэдэ артыгдыр. Апарылан тэдгигатлардан ашағыдахи нэтичэлэрэ кэлмэк олар:

1. Човдар-буғда әз човдар-екилопс һибридләриңе писбәтән буғда-
екилопс һибридләринде нуклеин туршуларының мигдары јүксәкдир.

2. Нуклеин түршуларының мигдарына көрә бугда-екилопс һибридләринин иккىчи пәсслинде дә нетерозис нағисеңи сахланып. Бәрк бугда

(Чәфәри)-екилопс һибриді өз валидеји формаларындан РНТ-нин, јумшаг бүғда-екилопс һибридләри исә ДНТ-нин мигдарының даһа чох олмасы илә фәргләнир.

Кенетика өз Селексија институту

Алынышдыр 21.1 1972

М. А. Али-Заде, Р. Т. Алиев

Содержание нуклеиновых кислот у межвидовых и межродовых гибридов пшеницы, ржи эгилопса в связи с явлениями гетерозиса

РЕЗЮМЕ

Изучалось содержание нуклеиновых кислот у ржано-пшеничных, эгилопсо-пшеничных и ржано-эгилопсовых гибридов второго поколения. Установлено, что у пшенично-эгилопсовых гибридов второго поколения сохраняется гетерозисный характер роста и развития.

Выявлено, что у пшенично-эгилопсовых гибридов содержание нуклеиновых кислот значительно превышает ржано-пшеничные и ржано-эгилопсовые гибриды.

M. A. Ali-Zade, R. M. Aliev

The content of the nucleic acids by both the interstrain and interspecific hybrids of the wheats, aegilops and rye (*Secale cereale*)

SUMMARY

By the wheaten-aegilops hybrids the content of the nucleic acids is higher than by both the rye-wheaten and aegilops-wheaten hybrids.

АЗЭРБАЙЧАН ССР ЕЛМЛЭР АКАДЕМИЈАСЫНЫН МӘРҮЗӘЛӘРИ

ДОКЛАДЫ АКАДЕМИИ НАУК АЗЕРБАЙДЖАНСКОЙ ССР

ТОМ XXX

№ 5

1974

УДК 581.19

БИОХИМИЯ

Г. М. ТАЛЫШИНСКИЙ, Ю. Б. ФИЛИППОВИЧ

ДИНАМИКА СОДЕРЖАНИЯ СВЯЗАННЫХ АМИНОКИСЛОТ В ЛИСТЬЯХ ИСХОДНОГО СОРТА И ПОЛУЧЕННЫХ ИЗ НЕГО ЭКСПЕРИМЕНТАЛЬНЫХ ПОЛИПЛОИДНЫХ ФОРМ ШЕЛКОВИЦЫ

(Представлено академиком АН Азербайджанской ССР И. К. Абдуллаевым)

Известно, что биологический эффект полипloidии связан с ведущей ролью ядра и в особенности хромосом в физиологии клетки, во внутриклеточном обмене веществ. Однако механизм взаимосвязи между числом хромосом и интенсивностью биохимических и физиологических процессов по существу исследован очень мало [2, 4, 5, 7].

Особый интерес представляет в этой связи изучение аминокислотного состава белков исходных форм растений и полученных из них полиплоидных мутантов. Исходя из этого, нами была изучена динамика связанных аминокислот в процессе роста и развития листьев шелковицы сорта Сыхгез-тут и созданных на его основе полиплоидных форм [1, 3].

МАТЕРИАЛ И МЕТОДИКА

Образцы листьев получали с плантации IV серии экспериментальной полипloidии, которая была заложена в 1958—1959 гг. на территории Кусарчайской зональной опытной станции.

Пробы для определения аминокислот собирали в пяти биологических повторностях, каждая из которых представлена пятью деревьями женского пола.

Собранные листья помещали в специальные сосуды и в течение короткого промежутка времени (10 мин) доставляли в лабораторию. Затем их фиксировали паром в течение 10—15 мин, после чего доводили до воздушно-сухого состояния в комнатных условиях. Свободные аминокислоты извлекали из мелко измельченных образцов листьев многократной обработкой 75%-ным горячим раствором этанола. Остаток после экстракции высушивали и навеску величиной 20 мг подвергали гидролизу 20%-ной соляной кислотой в запаянных ампулах. Соляную кислоту удаляли многократной вакуумной перегонкой. Содержание аминокислот определяли методом хроматографии распределения на бумаге в модификации одного из нас [6].

Для хроматографического определения аминокислот использовали бумагу марки FN-3. Для разделения аминокислот применяли смеси *n*-бутанола, ледяной уксусной кислоты и воды (15:3:7 и 8:3:1). Каждый проявитель пропускали по хроматограмме четырехкратно. По окончании проявления хроматограммы просушивали до полного удаления прояв-

теля. Обнаружение аминокислот проводили двухпроцентным раствором нингидрина в 95%-ном ацетоне. Продукт цветной реакции аминокислот с нингидрином элюировали 75%-ным этиловым спиртом, насыщенным медным купоросом и измеряли экстинции элюатов на ФЭК-М с зеленым светофильтром в кювете с рабочей длиной 10 мкм.

РЕЗУЛЬТАТЫ ИХ ОБСУЖДЕНИЕ

Как видно из таблицы, содержание связанных аминокислот в листьях исходного сорта Сыхгез-тут в мае нарастает от 12,25 до 14,73%, а в июне наблюдается снижение его до 11,59%.

Содержание связанных аминокислот в листьях триплоида увеличивается от 11,59 до 12,77, а у тетраплоида изменяется в пределах 10,35—13,08%.

Что касается процентного содержания индивидуальных связанных аминокислот в листьях исходного сорта и полученных из него полиплоидных мутантов, то по этому показателю их можно разделить на четыре группы.

К первой группе относится глутаминовая кислота, которой исключительно богаты листья исходного сорта и полученных из него мутантных форм (3—5%); ко второй группе принадлежат аспарагиновая кислота, аланин и лизин, содержание которых колеблется между 1—2%; в третью группу входят аминокислоты, уровень содержания которых варьирует в основном в пределах 0,5—1,0% (тироzin, треонин, фенилаланин, аргинин, лейцин и изолейцин); наконец, четвертую группу составляют цистин с цистеином, гистидин, валин с метионином, глицин, содержание которых очень мало и редко приближается к 0,5%.

Содержание некоторых аминокислот в процессе роста и развития листьев (май, июнь) варьирует в широких пределах, примерами могут служить аргинин, глицин и лизин. Что касается связи аминокислотного состава белков листьев шелковицы со степенью пloidности, то положительная корреляция обнаруживается у аланина, аргинина, глутаминовой кислоты, лейцина с изолейцином и лизина. Тем не менее следует подчеркнуть здесь, что степень изменчивости содержания аминокислот в связи с полиплоидизацией шелковицы примерно того же порядка, что и степень изменчивости их содержания в связи с вегетацией. Два этих явления создают довольно сложную картину динамики аминокислот по мере развития растения.

Если оценить полученные нами результаты с точки зрения содержания заменимых и незаменимых аминокислот у исходных форм и полученных из них триплоидов и тетраплоидов, то прежде всего следует подчеркнуть, что совершенно определенно вырисовывается превосходство полиплоидных форм по содержанию трех важнейших незаменимых аминокислот, а именно лизина, лейцина и изолейцина. Опережая исходные сорта по содержанию треонина и фенилаланина в начале вегетации, полиплоидные формы уступают им по этому показателю к концу ее. В какой-то степени это компенсируется нарастанием содержания к концу выкормки шелкопряда таких аминокислот, как гистидин, глутаминовая кислота, тирозин и глицин. Все это говорит о том, что полиплоидные формы шелковицы, судя по их химическому составу и содержанию аминокислот, явно превосходят исходные сорта к концу выкормочного сезона и могут быть, безусловно, рекомендованы для преимущественного практического использования на завершающих этапах выкормки тутового шелкопряда.

Выводы

1. Полиплоидизация шелковицы сопровождается изменением содержания связанных аминокислот в ее листьях на фоне достаточно резких вариаций в содержании отдельных аминокислот по мере вегетации.

Динамика накопления связанных аминокислот в листьях исходного сорта и полученных из него методом

Аминокислоты	Сыхгез-тут (исходный сорт, диплоид)						АзГ 59-6 (триплоид)						АзГ 58-15 (тетраплоид)					
	19.V	26.V	5.VI	12.VI	19.VI	19.V	26.V	5.VI	12.VI	19.VI	26.V	5.VI	12.VI	19.VI	26.V	5.VI	12.VI	19.VI
Аланин	1,77	1,38	0,84	1,47	1,05	0,63	1,35	1,34	1,41	1,11	1,23	1,08	1,29	1,23	1,23	1,23	1,23	1,50
Аргинин	0,63	0,84	0,60	1,65	0,54	0,48	0,99	0,69	0,57	0,57	0,60	0,45	0,54	0,69	0,69	0,69	0,69	0,69
Аспарагиновая к-та и серин	1,41	1,59	1,26	1,56	1,17	1,26	1,29	1,41	1,08	0,99	1,59	0,99	0,93	1,02	1,02	1,02	1,02	1,20
Валин и метионин	0,24	0,42	0,42	0,57	0,39	0,60	0,42	0,48	0,39	0,45	0,48	0,45	0,30	0,48	0,48	0,48	0,48	0,48
Гистидин	0,27	0,48	0,39	0,36	0,54	0,24	0,36	0,54	0,33	0,30	0,36	0,54	0,39	0,27	0,39	0,39	0,39	0,39
Глицин	0,21	0,57	0,33	0,27	0,48	0,18	0,57	0,63	0,69	0,30	0,24	0,51	0,30	0,30	0,30	0,30	0,30	0,30
Глутаминовая кислота	5,25	4,29	3,18	3,24	4,02	3,99	3,57	4,23	3,93	2,85	2,70	3,09	3,30	4,83	4,83	4,83	4,83	3,90
Лейцин и изолейцин	0,81	1,32	0,72	0,93	1,05	0,93	0,72	0,36	0,54	0,43	0,90	0,66	0,72	1,08	1,08	1,08	1,08	0,99
Лизин	1,11	1,41	1,32	1,95	1,47	1,05	1,50	0,84	1,05	1,05	1,11	1,11	1,20	1,29	1,29	1,29	1,29	1,53
Тирозин	0,57	0,57	1,05	0,43	0,42	0,24	0,48	0,42	0,48	0,24	0,66	1,17	0,24	0,27	0,27	0,27	0,27	0,42
Треонин	0,90	0,69	0,69	0,60	0,39	0,27	0,47	0,54	0,51	0,39	0,54	0,57	0,54	0,69	0,69	0,69	0,69	0,66
Фенилаланин	0,57	0,96	0,81	0,75	0,72	0,54	0,42	0,78	0,81	0,48	0,78	0,57	0,54	0,69	0,69	0,69	0,69	0,66
Ц-вал. и цисин	0,21	0,27	0,18	0,21	0,18	0,18	0,18	0,21	0,21	0,24	0,18	0,24	0,21	0,21	0,21	0,21	0,21	0,33
Сумма аминокислот	12,25	14,73	11,92	13,69	11,92	11,59	12,13	12,77	12,23	9,36	11,43	11,70	10,35	12,54	12,54	12,54	12,54	13,08

2. По содержанию аминокислот в листьях исходный сорт превосходит три- и тетраплоидную формы в начале вегетации (май), но уступает по этому показателю экспериментальным формам в конце ее, что говорит о преимуществе полиплоидов для завершения выкормок или проведения поздних выкормок тутового шелкопряда.

ЛИТЕРАТУРА

1. Абдуллаев И. К. Проблемы полиплоидии у шелковицы. В сб. «Полиплоидия у шелковицы», стр. 7. Изд-во ВАСХНИЛ. М., 1970. 2. Абдуллаев И. К., Талышинский Г. М., Мустафаев А. С. Биохимические особенности листьев триплоидных и тетраплоидных форм шелковицы. В сб. «Полиплоидия у шелковицы», стр. 82. Изд-во ВАСХНИЛ. М., 1970. 3. Абдуллаев И. К., Нахмедов А. Г. Изучение качества листа экспериментально полученных аутотетраплоидных сортов шелковицы. «Изв. АН Азерб. ССР, серия биол. науки», № 4, стр. 36, 1971. 4. Плаксина Т. И., Джадаров Н. А., Филиппович Ю. Б. Химический состав некоторых полиплоидных форм шелковицы. В сб. «Полиплоидия у шелковицы». Изд-во ВАСХНИЛ. М., 1970. 5. Хамада С. Полиплоидные сорта шелковицы. Перевод из японск. журнала «Шелководство» (Франция), т. II, вып. 12, стр. 40, 1960. 6. Филиппович Ю. Б. Количественное определение аминокислот методом хроматографии распределения на бумаге. «Уч. зап. кафедры орг. и биол. химии», МГПИ им. В. И. Ленина, т. 140, вып. 9, стр. 147, 1958. 7. Талышинский Г. М. Изучение биохимических особенностей триплоидных и тетраплоидных форм шелковицы. Мат-лы научного совещания по тутоводству и защите шелкопряда и шелковицы от болезней и вредителей. (23—28 сентября 1968 г.), Тбилиси, стр. 43, 1968.

Институт генетики
и селекции

Поступило 10.IV 1973

Н. М. Талишински, Ю. Б. Филиппович

Ана сортда вә ондан алымыш тәрүби полиплоид формалы тут биткиләринин јарпагларында бирләшмиш амин туршуларының топланма динамикасы

ХҮЛАСӘ

Тәдгигатдан ашағыдағы нәтичәләр әлдә едилмишdir:

1. Плоидлийләкә әлагәдар оларға амин туршулары кејфијетчә дәјишмиш. 2. Тәрүби полиплоид формалы тут биткиләринде (АЗТ 59—6 вә АЗТ 58—15) биртәшмиш амин туршуларының чәми диплоид сорта нисбәтән хејли аздыр. Лакин јарпагларын бөјүмә вә инкишафы әрзинде бу формаларда амин туршуларының мигдары диплоид сортуна нисбәтән чүз'и мигдарда азалыр.

3. Өјрәндіжимиз бүтүн сорт вә формаларын јарпагларында мај айынді вә ијунун әvvәлләринде амин туршулары чох топланыр.

G. M. Talishinsky, U. B. Philipovich

The dynamic of the content proteinic amino acids in the leaves normal and polyploidic forms of the mulberry-tree

SUMMARY

Take into account of the importance amino acids in the reare of the larve of the mulberry silkworm us was studied of the content proteinic amino acids in the leaves of the initial diploid sorts Sehgezlut and received from it such forms: three—(AZT—596) and tetraploidical (AZT 58—15).

The content of the proteinic amino acids depend from ploidy of the mulberry-tree. The maximum content of the proteinic amino acids was in initial sort in the May and in polyploidic forms—at the beginning June.

МЕДИЦИНА

Акад. М. Р. НАЗИРОВ

ГЕПАТО-ЛИЕНАЛЬНЫЙ СИНДРОМ

Представление, что в условиях краевой патологии Азербайджана поражение гепато-лиенальной системы в основном было связано с малярией и другими тропическими заболеваниями, надо считать устаревшим. Нами проанализировано 556 больных с гепато-лиенальным синдромом в возрасте 18—68 лет. Не отвергая значения ряда инфекционно-протозойных заболеваний известной этиологии (малярия, бруцеллез, висцеральный лейшманиоз и др.) в формировании гепато-лиенального синдрома, нам кажется, на основании накопленного материала, что мы переоценивали их этиологическую роль.

Несмотря на ликвидацию малярии как массового заболевания, а также резкое снижение заболеваний бруцеллезом и висцеральным лейшманиозом, тем не менее часто наблюдается гепато-лиенальный синдром.

Наши изыскания в области причин формирования гепато-лиенального синдрома выявили у нас наличие Ку-лихорадки, периодической болезни, а другими авторами талассемии, которые сопровождаются этим синдромом. Наши изыскания выявили также значение профилактических вакцинаций, а экспериментальные данные ряда авторов роль ауто-антителенных воздействий в формировании данного синдрома. При этом необходимо отметить, что придавая значение целому ряду инфекционных заболеваний в формировании гепато-лиенального синдрома, не обращается внимание на такие патогенетические факторы, которые часто имеют этиологическое значение, как, например, белковое голодаание и авитаминозы.

Изучение патогенеза заболеваний краевой патологии, сопровождающихся наличием гепато-лиенального синдрома, выявило, что в патогенезе этих заболеваний и формировании структурных изменений, ведущее место принадлежит изменению проницаемости эндотелия капилляров в сторону ее усиления. В патогенезе же изменения проницаемости капилляров определенная роль принадлежит изменению белкового состава крови, а также повышению фермента гиалуронидазы и электролитами.

Об этиологической структуре. По материалам нашей клиники, заболевания печени, в частности, хронические гепатиты и циррозы среди больных общетерапевтического профиля значительно участились.

Наиболее частой причиной развития цирроза печени является перенесенный эпидемический гепатит, реже перенесенная в прошлом малярия, бруцеллез.

В ряде случаев причиной развития хронического гепатита, нередко переходящего в цирроз печени, являлось длительное заболевание желудочно-кишечного тракта.

В этиологической структуре гепато-лиенального синдрома на нашем материале определенное значение занимали: дизентерия, ТБС, куриккет-сиоз, латентный люэс, септический эндокардит, ревматоидный полиартрит, периодическая болезнь, сахарный диабет, амилоидоз, хроническая недостаточность сердечно-сосудистой системы.

На основании проведенных наблюдений нами установлена определенная связь гепато-лиенального синдрома с профилактической вакцинацией, что должно привлечь внимание педиатров.

В числе причин, вызывающих гепато-лиенальный синдром, определенную роль играет токсаплазмоз, лептоспироз, листериоз, диагностика которых еще не на должной высоте.

Наряду с этим в нашей республике выявлено наличие микроцитарной гемолитической анемии — талассемии (болезнь Кули), а также гемолитической анемии на почве фавизма, тоже сопровождающееся гепато-лиенальным синдромом.

На основании полученных данных для изучения и выявления этиологической структуры гепато-лиенального синдрома применяемые нами методы исследования пока недостаточны и несовершенны, зачастую, решающего значения не имеют в смысле выявления как этиологии, так и критерия выздоровления.

Весьма важным и далеко не разрешенным является вопрос взаимосвязи между острым и хроническим гепатитом. Другими словами, нельзя считать ясным и общепризнанным патогенез этого перехода. Этиология исчезает, а чем же поддерживается хроническое течение? Остается нерешенной роль этиологии, а также патогенетических механизмов, которые не восстанавливаются.

Поэтому внедрение гистохимических методов, изучение аминокислотного электролитного состава сыворотки крови и содержания витаминов может восполнить существующий пробел в понимании патогенеза поражения гепато-лиенальной системы и улучшить терапевтическую тактику.

Биохимические показатели крови. Проведенные биохимические исследования у 556 больных с поражением гепато-лиенальной системы выявляют, что ведущее место занимают нарушения белкового обмена, выражющиеся в основном диспротеинемией вследствие гипоальбуминемии, гиперглобулинемии и понижение А/Г коэффициента у 59,3% больных. При этом гиперглобулинемия наблюдается в основном в результате повышения γ -глобулинов у 60% больных, в меньшей степени повышаются α_1 -глобулины, т. е. у 37,4% больных, α_2 — у 27,3% и меньше всего повышаются β -глобулины — у 21% больных. Содержание фибриногена повышено у 34,7% больных, причем чаще отмечается понижение (23,5% больных) и реже повышение (11,2%). Общее содержание белка нарушено у 34,7% больных, в основном за счет гипопротеинемии — у 33,2% больных, гиперпротеинемии — 1,5%.

Антитоксическая функция печени, сулемовая проба и реакция Вельтмана нарушены почти у 50% больных. Положительная йодовая проба выпадает относительно реже, т. е. у 32% больных. Остаточный азот повышается редко, т. е. у 3,7% больных.

Нарушение в углеводном обмене характеризуется в основном патологическими сахарными кривыми у 87,4% больных. Содержание сахара в крови нарушено только у 20% больных, из них у 16% отмечается гипогликемия и у 4% — гипергликемия.

Выявляется определенная зависимость степени нарушения обменных процессов соответственно тяжести поражения гепато-лиенальной системы, т. е. при более выраженных структурно-морфологических изменениях

(цирроз печени, гепатосplenомегалия) выявляются и более выраженные нарушения обменных показателей, хотя и не всегда строго закономерно. Особенно эта зависимость выявляется в отношении нарушения показателей белкового состава крови, сулемовой пробы, реакции Вельтмана, антитоксической функции печени, содержания холестерина, что может приобретать некоторое дифференциально-диагностическое значение в отношении суждения о степени поражения гепато-лиенальной системы, тяжести течения заболевания, прогрессирования процесса и даже может иметь и прогностическое значение.

Функциональные показатели. Среди больных гепато-лиенальным синдромом различной этиологии нарушение белкового обмена в стадии острого и хронического гепатита более выражено при малярии и болезни Боткина по сравнению с бруцеллезом и другими заболеваниями. Однако в стадии гепатосplenомегалии и цирроза печени, хотя нарушения белкового обмена относительно более выражены, не выявляют различий, позволяющих придать им этиологическую значимость.

Содержание билирубина в ранних стадиях болезни, т. е. при острым гепатите более повышенено при болезни Боткина, относительно меньше при малярии. При прочих заболеваниях повышение билирубина отмечается только у отдельных больных, а при бруцеллезе у всех больных билирубин в пределах нормы. В более поздних стадиях поражения гепато-лиенальной системы, т. е. у больных с гепатосplenомегалией и циррозом печени повышение билирубина выявляется почти в одинаковой степени, независимо от этиологии.

Показатели остальных изученных нами обменных процессов — углеводный обмен, остаточный азот, осадочные реакции (сулемовая, йодовая пробы, реакция Вельтмана), содержание холестерина, пробы Квика не выявляют характерных особенностей для той или иной этиологии, т. е. не имеют дифференциально-этнологического диагностического значения.

Таким образом, лишь отдельные биохимические сдвиги, т. е. сдвиги в белковом обмене и в содержании билирубина выявляют некоторую этиологическую зависимость только на ранних этапах поражения гепато-лиенальной системы.

О роли этиологии в формировании гепато-лиенального синдрома. Придавая в формировании гепато-лиенального синдрома значение целому ряду инфекционных заболеваний, следует отметить, что если по ликвидации этиологического фактора гепато-лиенальный синдром остается, принимает хроническое течение и доходит до необратимого состояния, то при этом не учитывались патогенетические факторы, которые часто имеют этиологическое значение, как например, белковое голодаание,avitaminоз, которые могли сопутствовать вышеуказанным заболеваниям, а по ликвидации инфекции, оставаясь, превращаются в причину развития патологического процесса, т. е. формирования дальнейших изменений гепато-лиенальной системы.

На нашем материале, с точки зрения причинности ведущими этиологическими факторами в развитии гепато-лиенального синдрома у 211 больных является малярия, у 188 — бруцеллез, у 66 — болезнь Боткина, у 68 — разные заболевания и невыясненная этиология у 23 больных. Мы здесь приводим с точки зрения причинности достоверные факторы, с которыми связываем поражение гепато-лиенальной системы. Конечно, этим мы отнюдь не умаляем значение фона, на котором окончательно сформировались изменения гепато-лиенальной системы к моменту обследования больного. Этот вопрос с точки зрения правильного понимания сущности патологического процесса хотя имеет огромное значение, но тем не менее на данном этапе наших знаний не всегда разрешим.

При поражении гепато-лиенальной системы выявляются нарушения обменных показателей, в основном белкового обмена. После соответст-

вующего лечения у части больных наряду с клиническим выздоровлением происходит нормализация обменных показателей, у части больных при отсутствии лечения, а также при наличии ряда отрицательных факторов, нарушение обмена веществ прогрессирует и, по-видимому, приобретает этиологическое значение в дальнейшем развитии и прогрессировании изменений гепато-лиенальной системы.

Нарушение показателей обмена веществ, в частности белкового обмена, приобретает роль эндогенной этиологии в формировании гепато-лиенального синдрома. При этом экзогенному этиологическому фактору—внешнему воздействию—придается роль пускового механизма.

АМН им. Нариманова

Поступило 12. II 1971

Акад. М. Р. Нэзирев

Непатолиженал синдром (етиология, патогенез в клинике)

ХУЛАСЭ

556 хэстэдэ непатолиженал синдромуун этиологиясы, патогенези вэ клиникеы өјрэнүүлэхээг бэлэ гэрээр кэллинишидир ки, нэмийн синдром чох заман мухтэлиф юлхучу хэстэликлэр, интоксиксијалар кечирмиш, бэ'зи налларда эндокрин вээилэри функцијаларынын позулмасындан ирэли кэлир.

Мүбадилэ просесслэриин динамик тэдгиги нипербилирубинемијанын кэсскин непатитдэ, хүсүүлэ Боткин хэстэлийндэ тэсадүф олумасыны көстэрир.

Етиологијалы непатитлэрдэ малјарија, нипербилирубинемија аз налларда, брусселлээ исэ неч тэсадүф едилмир.

Непатолиженал синдром иикишаф етдикдэ хроники непатитдэ вэ гара чијэрии серозунда зулал мүбадилэс дэјишикликлэри: нипопротеинемија вэ диспротеинемија даана да артыр. Непатитлэрии кэсскин дэврүүдэ зулал мүбадилэс дэјишикликлэри бу вэ ја башга дэрэчэдэ этиологијадан ёссылы олараг фэрглэнэрсэ, гара чијэрии серозунда бу фэрг гејд едилмир. Гара чијэрии дикэр функционал сынаглары этиологијадан ёссылы олараг фэрглэнмир.

Үмумијэтлэ, мүбадилэ көстэричилэри вэ функционал сынаглар непатолиженал системдэки дэјишикликлэрии ағырлыгы илэ паралелизм тэшкил едир.

АЗЭРБАЙЧАН ССР ЕЛМЛЭР АКАДЕМИЈАСЫНЫН МЭРҮЗЭЛЭРИ

ДОКЛАДЫ АКАДЕМИИ НАУК АЗЕРБАЙДЖАНСКОЙ ССР

ТОМ XXX

№ 5

1974

УДК 616—073.75

МЕДИЦИНА

Н. А. МУТАЛИБОВ

**ОДНОВРЕМЕННАЯ ИНТРАОПЕРАЦИОННАЯ
АНГИОПУЛЬМОНОГРАФИЯ И МЕДИАСТЕНАЛЬНАЯ
ФЛЕБОГРАФИЯ**

(Представлено академиком АН Азербайджанской ССР М. А. Топчибашевым)

Метод приживленного контрастирования сосудов малого круга кровообращения и средостении играет решающую роль при диагностике самых тяжелых заболеваний органов грудной полости. К ним относятся тромбоэмболии легочной артерии, опухоли легких, молочной железы и средостении, загрудинный и внутригрудинный зоб, сужение или облитерация верхней полой вены и др.

В настоящее время существует несколько методов ангиопульмонографии, в числе которых внутривенное введение контрастного вещества (Робб и Стейнберг, 1938) признано практическим и весьма полезным. Существенным ее недостатком является то, что не совсем четко выявляются сосуды малого круга кровообращения. Причина заключается в том, что в крупных сосудах скорость кровотока велика и контрастное вещество в концентрированном виде не достигает легочных артерий.

Метод зондирования и избирательного контрастирования отдаленных ветвей легочных артерий (Форсман, Коуриэнд, Рейнджис, 1941) довольно сложен, требует большого опыта и времени. Особенно трудно введение катетера в сосуды левого легкого, которое сопровождается длительным рентгенооблучением как врача, так и больного. Введение контрастного вещества путем пункции легочной артерии и правого желудочка на операционном столе после вскрытия грудной полости чревато тяжелыми осложнениями (тромбоэмболия легочной артерии, кровотечения и др.).

Существующие методы медиастинальной флегографии введением контрастного вещества через кубитальные вены (П. Н. Мазаев, 1949; А. Е. Пеутенко, 1947; Обергофер, 1953; Штиллер, 1954; Рихтер, 1959) выявляют тени только безымянной верхней полой вены, при этом обнаружить тени внутригрудных, межреберных и непарной вен не удается по той причине, что на уровне впадения указанных вен в верхнюю полую вену существуют множественные клапаны, которые препятствуют поступлению контрастного вещества к указанным венам.

При помощи метода зондирования верхней полой вены (А. Н. Дьяченко и А. Н. Линкович, 1954; Fotsup и Rink, 1958 и др.) удается обнаружить тень непарной вены только в тех случаях, когда зонд слу-

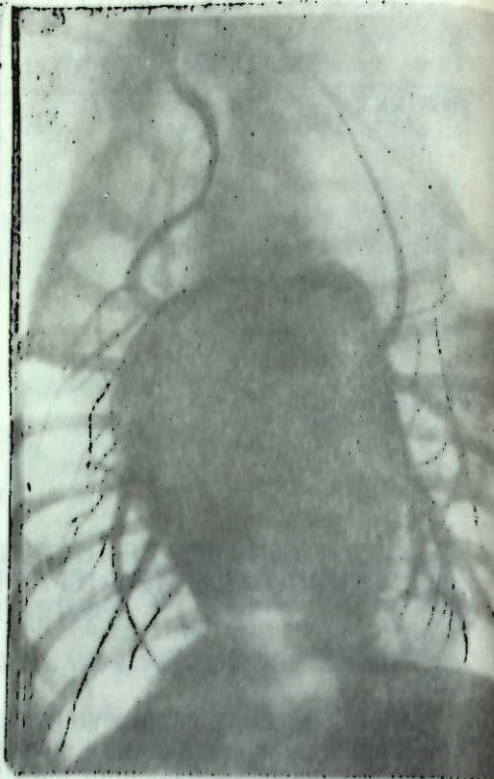


Рис. 1

Рис. 2



Рис. 3

Рис. 4

чайно проскальзывает минуя клапаны в непарную вену. Однако при этом выявить тени внутргрудных и межреберных вен не удается.

Метод внутрикостной флебографии с введением контрастного вещества в отсистые отростки позвонков или ребро (Тори, 1952; Зюси и Лурич, 1954; Маркоцци, 1960; Э. Д. Богатина, 1961 и др.) позволяет выявить тени только непарной вены. Однако при помощи указанного метода обнаружить тени других сосудов грудной клетки и коллатерального кровообращения не удается.

Как видно из сказанного, существующие методы агиопульмографии и торакальной флебографии требуют для своего выполнения много времени и ими нельзя пользоваться интраоперационно.

Нами в эксперименте на 80 собаках разработан новый метод одновременной агиопульмографии и медиастенальной флебографии в 1968 г., что позволяет пользоваться ими интраоперационно. Метод заключается в следующем: в области третьего межреберья на 1 см дальше от грудины продольным кожным разрезом длиной 3 см обнажается внутренняя грудная вена, просвет которой вскрывается между двумя лигитурами небольшими тупоконечными ножницами. Через отверстие в вену в центральном направлении вводится канюль диаметром 2 мм и фиксируется лигатурой к стенке вены. Через канюлю в течение 1–2 сек производится инъекция 70% диодона в количестве 30 мл. Вслед за этим производится рентгенография грудной клетки. После этого канюль удаляют и вену перевязывают. Для производства медиастенальной флебографии вскрывают просвет внутренней грудной артерии. В артерию в периферическом направлении вводится канюль, через которую впрыскивают контрастное вещество (диодон 70% в количестве 20 мл). Вслед за этим производят рентгенографию грудной клетки, слегка повернув туловище налево. После этого канюль удаляется и артерия перевязывается.

На рис. 1, 2 даны полная картина как самой легочной артерии, так и ее внутрилегочных разветвлений, а на рис. 3, 4, 5 выявлена четкая картина верхней полой, непарной, внутргрудных и межреберных вен.

В заключение следует отметить, что внутренняя грудная вена и артерия являются сосудами передней грудной стенки. Во время операции на грудной полости указанные сосуды перевязываются и иссекаются. Поэтому использование этих сосудов для диагностической цели не является линией травмой для больного, так как до начала вскрытия грудной полости по линии операционного доступа небольшим кожным разрезом обнажается внутренняя грудная артерия и вена. Через вену производится агиопульмография, через артерию торакальная и медиастенальная флебография. На первом снимке выявляется четкая картина сосудов лег-

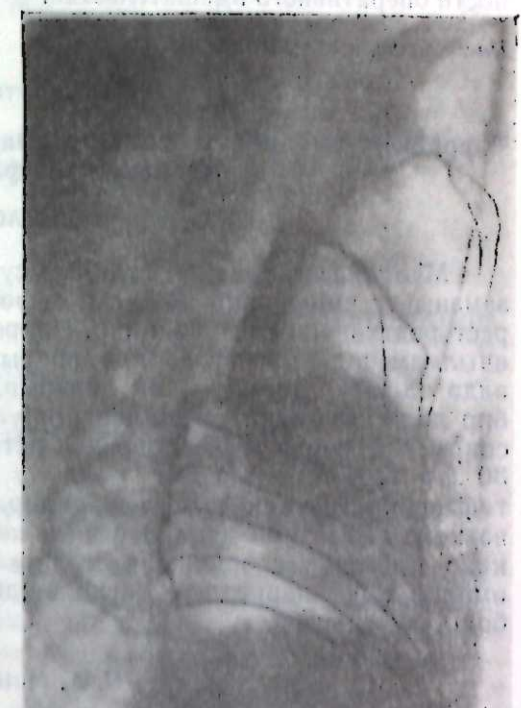


Рис. 5.

ких, на втором—безымянная, верхняя полая вены, внутренние грудные и межреберные вены, непарная и полунепарная вены.

Таким образом на операционном столе получаются исчерпывающие данные о существующей патологии органов грудной полости и о возможности оперативного вмешательства.

Ин-т клинич. и эксп. медицины

Поступило 15. V 1973

А. А. Муталибов

Чэрраһијэ әмәлијјаты заманы апарылан ангиопулмонографија вә медиастенал флегографија

ХУЛАСЭ

Мүәллифин тәклиф етдији үсул васитәсилә чэрраһи әмәлијјат заманы аф чијәрләрин вә көкс гәфәсиндәки гән дамарларының контраст рентген шәкли чәкилир. Чэрраһи әмәлијјат заманы көкс гәфәси ачылмамышдан габаг дәридә апарылан кәсикдә a. v. *thoracica intr.* әлдә едилir. Бунларын өн диварында ики лигатура арасында кичик бир дәлик ачылыр. Дәлилдән конјула васитәсилә әvvәлчә венаја вә соңра артерија гән дөвраны истигамәтиндә бир дәгигә әрзинде 30 мл 75%-ли уротраст мәһлүлу вурулур. Бунун ардынча көкс гәфәсинин рентген шәкли чәкилир. Алынан шәкилдә аф чијәрләрин вә көкс гәфәсинин дамарларының көлкәси айдан көрүнүр. Беләликлә, көкс гәфәси үзвләринин хәстәлији тә'јин едилir, хәстәдә чэрраһи әмәлијјатын апарылмасы йәгинләшdirilir вә бундан соңра плевра бошлуғу ачылыр.

N. A. Mutalibov

At the same time intraoperative angiopulmonography
and mediastinal phlebography

SUMMARY

The by the autor advanced intraoperative angiopulmonography and mediastinal phlebography were realized after cannulation of arteria thoracica int. and vena, the last two were revealed along operative exposition until the opening of thoracic cavity.

Before the vene and after the arteria along the blood flow were induced 30 ml 75% urotrast with the speed of 1 2 sec. After this was carried out rentgenography of thorax. On received rentgenogramms discovering the architectonics of lungs and thoracic cavity vessels and determining the organs pathology, is established the possibility of operation menaging. After what proceed to thoracotomy.

АЗӘРБАЙЧАН ССР ЕЛМЛӘР АКАДЕМИЈАСЫНЫН МӘ'РҮЗӘЛӘРИ

ДОКЛАДЫ АКАДЕМИИ НАУК АЗЕРБАЙДЖАНСКОЙ ССР

ТОМ XXX

№ 5

1974

ЛИТЕРАТУРА

А. К. РЗАЕВ

А. ГУМБОЛЬДТ И М. КАЗЕМ-БЕК

(Представлено академиком АН Азербайджанской ССР М. Ш. Ширалиевым)

Имя выдающегося немецкого ученого естествоиспытателя, географа и путешественника XIX в. Александра Гумбольдта пользуется всемирной известностью. По меткому определению Ф. Энгельса творческая деятельность А. Гумбольдта послужила развитию материалистического направления в естествознании [1].

А. Гумбольдт в своих научных планах предусматривал длительное путешествие по России. По этому поводу немецкий ученый 26 сентября 1829 г. писал Министру финансов России Е. Ф. Конкрину: «Я не могу вдоволь насладиться на Вашу страну, не могу умереть, не увидев Каспийского моря» [2].

В 1829 г. А. Гумбольдт приехал в Россию, побывал на Урале, Алтае и на берегах Каспийского моря.

А. Гумбольдт понимал, что изучение Центральной Азии без обращения к первоисточникам на восточных языках немыслимо. Он писал, что «знакомство с восточными языками, надлежащим образом примененное к потребностям наук, открывает доступ к важным источникам положительного знания, к массе фактов, неизвестных народам Запада... Обращаясь к литературам Азии, интерес европейских народов прежде всего возбуждается с высокой точки зрения современной филологии, литературой той нации, древняя культура которой представляется нам в столь страшных формах, с особым строением языка и характером знаний...» [3].

Стремление А. Гумбольдта к восточным источникам о Земле привело к знакомству с видным представителем азербайджанской науки XIX в. М. Казем-Беком.

Возвратившись на родину, А. Гумбольдт завершил и в 1840—1843 гг. издал в Париже трехтомный капитальный труд под названием «Asie Centrale» [4]. Немецкий ученый в своем труде неоднократно обращается к авторитетному мнению М. Казем-Бека по вопросам истории, географии, природы и этнографии Центральной Азии. В знак глубокого уважения к азербайджанскому ученому А. Гумбольдт во втором томе указанного трехтомника поместил статью М. Казем-Бека под названием «Об озере Ала-Гёль» [5]. А. Гумбольдт в своей книге дает высокую оценку знаниям и эрудиции М. Казем-Бека и восхищается его переводами. Он писал: «Я обратил внимание на дословный перевод заметки господина Казем-Бека,

написанный на английском языке; ибо он очень непринужденно и свободно говорил на английском языке» [6].

Глубокое впечатление, которое осталось у великого немецкого ученого после знакомства и общения с учеными Казани и в частности с М. Казем-Беком, ярко выражено в следующем письме А. Гумбольдта к ректору университета: «Величайшее удовольствие, которое доставило мне временное пребывание в Вашем Казанском университете, составляет приятнейшее воспоминание из моих продолжительных путешествий, Ваша чрезмерная благосклонность ко мне, успехи просвещения, которым вы способствовали, выдающиеся лица, которые собрались здесь, все это придает этим воспоминаниям вечновозобновляющую прелест» [7]. В своем письме он просил ректора передать М. Казем-Беку «свидетельство его глубочайшего почтения» [8].

ЛИТЕРАТУРА

1. Энгельс Ф. Диалектика природы. М., 1969, стр. 166.
2. Переписка Александра Гумбольдта с учеными и государственными деятелями России. М., Изд-во АН СССР, 1962, стр. 12.
3. Гумбольдт А. Ф. Центральная Азия, т. 1, М., 1915, стр. 18.
4. Раг А. De Humboldt. Asie Centrale, vol. I, II, III, Paris, 1840—1843.
5. Раг А. De Humboldt. Asie Centrale, vol. I, II, III, Paris, 1840—1843, стр. 491—497.
6. Раг А. De Humboldt. Asie Centrale, vol. I, II, III, Paris, 1840—1843, стр. 490.
7. «Поволжье». Нижний Новгород, 1903, стр. 18.
8. Переписка Александра Гумбольдта с учеными и государственными деятелями России. М., Изд-во АН СССР, 1962, стр. 99.

Центр научной информации

Поступило 12. I 1973

А. Г. Раев

А. Гумбольдт в М. Казымбэ

ХУЛАСЭ

1829-чу илдэ бөјүк алман алими А. Гумбольдт Русија сәфәри заманы көркәмли Азәрбајҹан алими, о заман Казан Университетинин профессору М. Казымбэлә көрүшүр. Алман алимини Мәркәзи Асија нағында Шәрг дилләrinдә јазылмыш мәнбәләр марагләндүрүрдү. М. Казымбэлә мәнбәләрин бир нечесини А. Гумбольдт учун тәркүмә етмиш вә „Алакөл көлу нағында“ адлы мәглә јазмышды. А. Гумбольдт һәмин мәгаләни Русијадан гајытдыгдан соңра 1840—1843-чу илләрдә Парисдә чап етдириди уч чилдлик „Asie Centrale“ китабынын икинчи чилдинә дахил етмиш вә М. Казымбэлин иницилис дилиндә јаздыры бу мәгаләје јүксәк гијмет вермишdir.

А. Г. Rzayev

A. Humboldt and M. Kazem-Bek

SUMMARY

The great German scientist A. Humboldt met a notable Azerbaïjan scholar-Professor of the Kazan University M. Kazem-Bek during his Journey about Russia. The German scientist was interested in sources concerning Central Asia and in oriental languages.

M. Kazem-Bek has translated these sources and written an article entitled „On the Ala Gol“. On return to his country A. Humboldt published in 1840—1843 in Paris three volumes of his research works entitled „Asie Centrale“ and included into the second volume of this book the paper by M. Kazem-Bek. A. Гумбольдт highly valued this paper written in English.

АЗӘРБАЙҖАН ССР ЕЛМЛӘР АКАДЕМИЈАСЫНЫН МӘРҮЗӘЛӘРИ

ДОКЛАДЫ АКАДЕМИИ НАУК АЗЕРБАЙДЖАНСКОЙ ССР

ТОМ XXX

№ 5

1974

УДК 902.6(С42)

АРХЕОЛОГИЯ

Р. Б. АРАЗОВА

ВКЛАДЫШИ СЕРПОВ ИЗ ЭНЕОЛИТИЧЕСКОГО ПОСЕЛЕНИЯ ШОМУТЕПЕ

(Представлено академиком АН Азербайджанской ССР А. А. Ализаде)

О состоянии земледелия на территории Азербайджана в эпоху энеолита красноречиво говорят археологические находки, такие, как злаки, каменные и костяные мотыги, зернотерки, терочки, песты, вкладыши составных серпов¹.

В настоящее время известно несколько экземпляров целых жатвенных орудий из поселений Шомутепе и Тойретепе². Все они, за исключением костяного, имеют деревянную основу, в паз которой битумообразной массой закреплены вкладыши — зубцы из обсидиана, кремния и других кремнистых пород — яшмы, халцедона, а также известняка³. Кремень — табачного, вишнево-красного цвета, «пестроцветный» с фиолетовыми и розоватыми оттенками; яшма — мелкозернистой породы, зеленого и серого цветов от светлых до темных оттенков. Все эти породы при скальвании дают острые, режущие края; у одних излом имеет блестящую поверхность, у других — тусклоблестящую, у третьих — матовую до жирного.

Специального внимания заслуживает вопрос о месте добычи кремния для орудий труда древнейших земледельцев Азербайджана. Ни 9-метровый культурный слой поселения Кюльтепе в Азербайджане⁴, ни исследованные энеолитические памятники на территории Грузии (Квемо-Картли)⁵ почти не выявили кремневых вкладышей серпов. Шомутепинская коллекция кремневых серпов является наиболее богатой среди энеолитических памятников Закавказья. Возможно, это объясняется сравнительно

¹ О. А. Абубуллаев. Археологические раскопки в Кюльтепе. Баку, 1959 (на азерб. яз.), стр. 45, 112; И. Г. Нариманов. Археологические исследования поселения Шомутепе в 1963 г., сб. «Археологические исследования в Азербайджане», Баку, 1965, стр. 47; Е. же. Древнейшая земледельческая культура Закавказья. Доклады и сообщения археологов СССР на VII Международном Конгрессе прогонисториков и доисториков. М., 1966, стр. 121.

² И. Г. Нариманов. Древнейшие серпы Азербайджана, СА, 1964, № 1; О земледелии эпохи энеолита в Азербайджане, СА, 1971, № 3.

³ Определение ст. науч. сотр. Ин-та геологии АН Азерб. ССР Н. Г. Набиева.

⁴ О. А. Абубуллаев. Указ. раб., стр. 15.

⁵ О. М. Джапаридзе, А. И. Джавахишвили. Результаты работы Квемо-Картлинской археологической экспедиции (1965—1966 гг.). «Мачне», № 3, Тбилиси, 1967, стр. 297—298; К. Х. Кушварева, Т. Н. Чубинишвили. Древняя культура Южного Кавказа. Л., 1970, стр. 24—32.

близким расположением поселения Шомутепе от залежей кремневых пород. Такие месторождения известны на правом берегу реки Джогазчай около с. Уркмезли и недалеко от с. Кочаскер на горе Татлы (Казахский район, Азербайджанская ССР).

Характерными шомутепинскими заготовками вкладышей серпов являются треугольные в сечении пластины различных форм и размеров. На плоскостях их хорошо прослеживаются ударные площадки и бугорки. Многие пластины слегка изогнуты на конце и имеют сильно выпуклую поверхность (спинку). Данные заготовки выделялись сколом с нуклеусов, видимо, несимметричным ударом. В результате получались пластины с одной продольной стороны более толстые, а с другой — тонко-острые, служившие рабочим краем.

Кроме таких заготовок, применялись пластинчатые обломки и отщепы различных форм. Все заготовки в большинстве случаев с массивной стороны подвергнуты дополнительной обработке плоскими фасетками с целью придания им удобной формы для вставления в паз рукоятки.

По оформлению рабочего края шомутепинские серповые вкладыши наами подразделены на три вида: 1) с тонкими и острыми краями без ретуши; 2) обработанные ретушью; 3) с зубчатыми лезвиями.

Последний вид вкладышей служит важным признаком и, как отмечает Г. Ф. Коробкова, является «прогрессивной деталью в технике изготовления орудия, появляющейся на определенном этапе развития раннеzemледельческих культур»⁶.

По форме шомутепинские вкладыши следующие:

1. В процентном отношении преобладают вкладыши сегментовидной формы. Они составляют 42%. Заготовками в основном служили массивные пластины, длина — 3,2—8,3 см, ширина — 1,5—2,7 см. Сторона, входящая в паз рукоятки, уплощена фасетками по дуге или обработана отжимной притупляющей ретушью по всей дуге. Все экземпляры имеют однородное лезвие — тонкое, прямое или в виде ломаной линии (вследствие сработанности), в редких случаях подправлено мелкой ретушью. Интерес представляет вкладыш (таблица, рис. 7) в виде массивной пластины (длина 8,3 см, ширина — 2,6 см) с дугообразной спинкой. Рабочее лезвие в виде пилки, т. е. оформленное плоской крупной ретушью. Такое оформление рабочего лезвия (зубчатость) предохраняет серп «от скольжения и повышает эффективность в работе»⁷. На поверхности вкладыша имеются остатки черной скрепляющей массы, четко разграничающей рабочее лезвие от части, входящей в паз обоймы. Следы заполировки не прослеживаются.

Степень износа этих вкладышей (выкрошенность, заполировка) настолько значительна, что не вызывает сомнения в их принадлежности к составным серпам. Почти на всех вкладышах имеются следы скрепляющей массы.

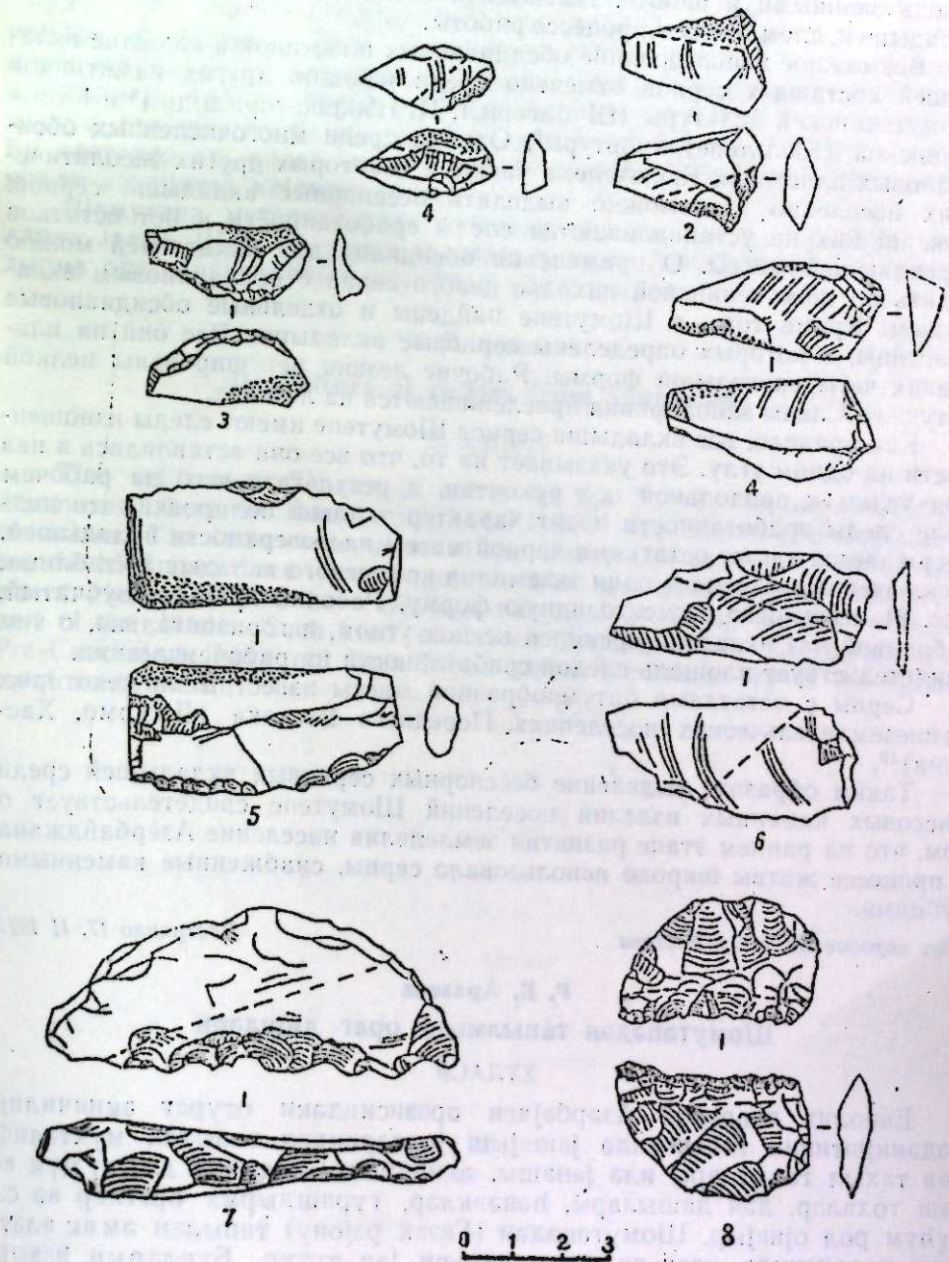
2. Количественно второе место принадлежит вкладышам четырехугольной и подчетырехугольной формы — 27%. По характеру заготовок и по технике обработки они очень близки к сегментовидным вкладышам. Выделены они на пластинах четырехугольной формы или на пластинчатых отщепах, в основном тонких в сечении; длина их 3,2—6,5 см, ширина — 1,5—3,7 см (таблица, рис. 5). Рабочие лезвия — тонкие, острые, без дополнительной обработки, в виде ломаной линии или тщательно оформленные мелкой заостряющей ретушью по самому краю со спинки или брюшка. Редко встречаются экземпляры, у которых рабочий край обработан крупной ретушью. Степень износа орудий значительна, за исключением нескольких образцов, на которых трудно проследить следы сра-

⁶ Г. Ф. Коробкова. Орудия труда и хозяйство неолитических племен Средней Азии. Л., 1969, стр. 31.

⁷ Там же.

ботанности. На многих — значительные следы остатков черной скрепляющей массы.

3. Вкладыши треугольной формы — 5%. Заготовками служили пластиинки треугольной формы с хорошо выраженным бугорком и ударной площадкой (длина — 2,6—4,8 см, ширина — 1,3—2 см). Рабочие края у этих вкладышей тонкие, прямые, без ретуши. Следы сработанности в виде сильной (зеркальной) заполировки, распространяющейся по рабочему краю. На поверхности их остатки черной массы (таблица, рис. 4, 6).



Таблица

Кроме названных вкладышей большую группу составляют серпы (около 26%), заготовками которых являются отщепы различных форм

и размеров. Это вкладыши на отщепах треугольных, удлиненных, листо-видных. Среди них выделяются вкладыши небольших размеров, с блестящей заполировкой, что свидетельствует об их длительном использовании (таблица, рис. 1, 2, 3).

В Шомутепе добты образцы, близко напоминающие по своей отдельке и очертаниям вкладыши серпов. Но отсутствие на них следов сработанности и остатков битумообразной массы затрудняет определение их функций. Возможно, они были заготовками вкладышей, еще не использованными в работе. Имеются несколько экземпляров серповых вкладышей, сломанных в процессе работы.

Возможное использование обсидиановых пластинок в качестве вкладышей составных серпов отмечено среди находок других памятников Шомутепинской культуры (Шулавери I, II, Имирис-гора и др.)⁸ и Кюльтепинской (Кюльтепе) культуры⁹. Однако среди многочисленных обсидиановых пластинок Кюльтепе, а также и некоторых других энеолитических поселений невозможно выделить бесспорные вкладыши серпов, т. к. на них не устанавливаются следы сработанности и нет остатков скрепляющей массы. О применении обсидиана для вкладышей можно судить по шомутепинской находке целого серпа с обсидиановым вкладышем. Кроме того, в Шомутепе найдены и отдельные обсидиановые пластины, в которых определены серповые вкладыши. Все они на пластинах четырехугольной формы. Рабочие лезвия ретушированы мелкой ретушью. Следы заполировки прослеживаются на лезвиях.

Как правило, все вкладыши серпов Шомутепе имеют следы изношенности на одном углу. Это указывает на то, что все они вставлялись в паз под углом к продольной оси рукоятки, в результате чего на рабочем крае следы сработанности носят характер угловой полировки, что подтверждается также остатками черной массы на поверхности вкладышей. Исключение составляет один экземпляр кремневого вкладыша (таблица, рис. 8), имеющего сегментовидную форму. Рабочий край его зубчатый, в боковой паз вкладыш крепился не под углом, а горизонтально, о чем свидетельствует площадь следов сработанности на рабочем лезвии.

Серпы с остатками битумообразной массы известны на некоторых раннеземледельческих поселениях Переднего Востока (Джармо, Хас-сун)¹⁰.

Таким образом, выделение бесспорных серповых вкладышей среди массовых каменных изделий поселений Шомутепе свидетельствует о том, что на раннем этапе развития земледелия население Азербайджана в процессе жатвы широко использовало серпы, снабженные каменными зубцами.

Ин-т народов Бл. и Ср. Востока

Поступило 17. II 1972

Р. Б. Аразова

Шомутепэдэн тапылмыш ораг дишләри

ХУЛАСЭ

Енеолит дөврүндэ Азэрбајҹан әразисиндәки отураг әкинчилик мәдәнијетинин тәдгигиндә йашајыш јерләриндән тапылан мүхтәлиф нөв тахыл галыглары илә јанаши, әкинчилик аләтләри дә (су мүк вә даш тохалар, дән дашилары, һәвәнкләр, гуашадырма ораглар вә с.) мүһүм рол ојнајыр. Шомутепэдэн (Газах району) тапылан әмәк аләтләри ичәрисиндә ораг дишләри хүсуси јер тутур. Буиларын назырланимасында мүхтәлиф форма вә өлчүлү чахмагдашылардан го парыл-

⁸ К. Х. Кушнарева, Т. Н. Чубинишвили. Древняя культура Южного Кавказа, стр. 28.

⁹ О. А. Абдуллаев. К изучению холма Кюльтепе. Труды Ин-та истории и философии АН Азерб. ССР, т. IX, Баку, 1956, стр. 6.

¹⁰ В. И. Массон. Средняя Азия и Древний Восток. М.—Л., 1964, рис. 16.

мыш лөвхәләр, лөвхәшәкилли гырыглар вә гәлләләрдән истифадә олунмушудур.

Шомутепин ораг дишләри ишләк һиссәсинин дүзәлдilmәси хүсусијәтләrinе көрә үч әсас група айрылыр:

1) ишләк һиссәси назик вә ити олан дишәкләнмәши ораг дишләри; 2) ағзы дишәкләнмиш ораг дишләри вә 3) ағзы дишли ораг дишләри.

Формаларына кәлдикдә исә сегментшәкилли ораг дишләри чохлуг тәшкил едир. Икинчи група дөрдкүч ораг дишләри дахилдир. Үчүнчү груп гәлләп вә гырыглардан истифадә едилмиш ораг дишләриндән ибараэтдир. Ораг дишләринин назырланимасы үчүн хаммал кими чахмагдашы вә Яашма чинсли дашлар, һәмчинин обсидиан ишләдилүр. Адәтән, бүтүн ораг дишләринин бир күнчүндә истифадә изләри галыр; һәм дә әкс күнчүндә битум галығы мушаһидә едилүр. Бу көстәрик ки, онлар сүмүк, йаҳуд ағаңдан олан ораг сағанағына малии вәзијјәтдә кејдирилирди.

Шомутепә материаллары көстәрик ки, ер. әв. V—IV миниллик-ләрдә йаҳын Шәрг өлкәләрindә олдуғу кими Азэрбајҹанда да гуашадырма ораглардаң кениш истифадә едилмишdir.

R. B. Arasova

Depositors of sickles from Shamutepe

SUMMARY

The settlement Shamutepe refers to the Y. b. c. Among materials discovered there are many agricultural labour implements and depositors of sickles. The latter were made of the flint rocks and the obsidian and are devideed into three types. Segment-like and quadrangular depositors are singled out. They have oboious traces of polishing on the working part of the blade. Such kind of labour implements is Azerbaljan and Pre-Caucasion have not been found before the discovery of the settlement mentioned.

МУНДЭРИЧАТ

Ријазијјат

- М. А. Эзимов. Айрма сөтни күрә олан фәзә мәсәләсинин һәлли һагында
М. Р. Буидадов. Мүчаррәд Бул чабринин Гелфанд вә Стоун компакт-
ларының һомеоморфлуғу
Г. Т. Эхмәдов, С. В. Исаилов. Бир синиф кечикән аргументли
хәтти интегродифференциал тәсилкләр системинин һәлли

Физика

- Н. А. Гулиев, И. Н. Чәфәров. Зәиф лептои гарышлыгы тә'сир-
ләринин локал лимитда $V+A$ -вариант ашгарына малик олан ренормаллаша-
 билән модели
М. Ж. Бәкиров, К. Э. Мәмәдов. Бәрк мәһлүллү Ge-Si мо-
ноクリсталында диффузион $p-p$ кечидинин фотоволтапк хассасләри

Техники кибернетика

- Т. А. Элиев. Идарәедиң сигналлар верөн схемләри гурулмасы принципи 26

Нефт кимјасы вә нефт кимјасы синтези

- М. Э. Мәрданов, С. Э. Султанов, И. Н. Гулиева. Сан-
гачал нефтинин керосин фраксијасының карбонидрокен тәркибинин тәдгиги 30

Аналитик кимја

- И. Л. Багбайлы, И. Х. Рустамов, К. Ч. Рашидов.** Чиза
(II)-ниң пинавердолла екстраксијалы—фотометрик тә'жини 34

Физики кимја

- В. Ж. Землянскаја, А. К. Мискерли, Б. И. Мәммәдза-
дә, М. Б. Хејиров. Ба'зи сөтни-актив маддәләрин рентгенографија үсууду
вә табии бетонитләрдә сорбцијасының тәдгиги 40

Литолоџија

- Н. Э. Экбиров, Г. Р. Элиев. Гум-дәниз јатагында Мәһеулдәр
гатын алт шө'бәси чекүнтуләринин литологи хүсусијәтләри һагында 46

Газ вә нефт қеолоџијасы

- А. М. Даашов. Құр вә Иори чајларарасы Палеокен-Миоцен чекүнту-
ларинин газлылыг перспективалы
Ф. Чаббарлы, М. М. Ыммәтов, М. Н. Даашов. Гәрби
Абшерон архипелагының Гырмакуалты лај чекүнтуләринин литологи-фасиал
хүсусијәті вә коллекторлуг хассаси

3

8

12

16

20

26

30

34

40

46

51

56

Минералоџија

- М. Э. Гашгай, Э. И. Махмудов, Э. А. Мәгреби. Дашқосән
району Гашгачај јатагы мис вә қүкүрд колчеданы филизләриндә тетрадимит вә
кессит минераллары 62

Кеолоџија

- И. Н. Кәримов, С. Ф. Вәлизадә. Қасдағ јатагы филизләриндә
јени минераллар 67

Агрокимја

- Г. И. Исмаилов. Фосфор құбрәсшин мұхталиф нормаларының пам-
быг биткисинде фосфор бирләшмәләrinин топланмасына тәсирі 74

Кинетика

- Мұхбир үзв. М. А. Элиада, Р. Т. Элиев. Нетерозис һадисасында
әлагәдәр оларға буғда, екілопс вә өздөр нөвләринин чинсарасы һибридләриндә
нуклеин туршуларының мигдары 78

Биокимја

- І. М. Талышински, І. Б. Филиппович. Ана сортда вә онда
алымыш тәчүрүбى полиплоид формалы тут биткиләrinин ярлаларында бирләш-
миш амин туршуларының топланма динамикасы 81

Тибб

- Акад. М. Р. Нэзирев. Непатолијепал синдром (етиолокијасы, пато-
нези вә клиникасы) 85

- А. А. Муталибов. Җәрраһијә әмәлијјаты заманы апарылан ангиопул-
монографија вә медиастенал флегографија 89

Әдәбијјат

- А. Г. Рзаев. А. Һұмболт вә М. Қазымбәј

Археолоџија

- Р. Б. Аразов. Шомутәпәдән тапылмыш ораг дишләри

85

89

93

95

СОДЕРЖАНИЕ

Математика

М. А. Азимов. Решение пространственной задачи с шаром в качестве поверхности раздела	3
М. Р. Буянов. Гомеоморфизм компактов Гельфанда и Стоуна абстрактной булевой алгебры	8
Чл.-корр. К. Т. Ахмедов, С. В. Исаилов. Решение одного класса линейных интегро-дифференциальных уравнений с запаздывающим аргументом	12

Физика

Н. А. Гулиев, И. Г. Джагаров. Перенормируемая модель слабых лептонных взаимодействий, содержащая в локальном пределе примесь V \pm A-варианта	16
М. Я. Бекиров, Г. А. Мамедова. Фотовольтаические свойства диффузионных p-n-переходов в сплавах Ge-Si	20

Технич. кибернетика

Т. А. Алиев. Принцип построения выработки управляющих сигналов	26
--	----

Нефтехимия и нефтехимический синтез

М.А. Марданов, С. А. Султанов, Н. Н. Кулев. Исследование углеводородного состава керосиновой фракции сангачальской нефти	30
--	----

Аналитическая химия

[И. Л. Багбайлы] Н. Х. Рустамов, К. Дж. Рашидов. Экстракционно-фотометрическое определение ртути (II) пинавердолом	34
--	----

Физическая химия

В. Я. Землянская, А. К. Мискарли, Б. И. Мамед-заде, Б. М. Хеироев. Исследование сорбции некоторых поверхностно-активных веществ (ПАВ) естественными бентонитами методом рентгенографии	40
--	----

Литология

Н. А. Акинеров, Г. Р. Алиев. Литологические особенности отложений нижнего отдела продуктивной толщи месторождения Песчаный-море	46
---	----

Геология нефти и газа

А. М. Даашев. Оценка перспектив газоносности палеоген-миоценовых отложений междууречья Куры и Иори	51
Ф. Г. Джабарлы, М. М. Гумматов, М. Н. Даашев. Литолого-фаунистические особенности и коллекторские свойства отложений подкирмакинской свиты (ПК) западной части Апшеронского архипелага	56

Минералогия

М. К. Каражай, А. И. Махмудов, А. А. Магриби. Тетрадимит и гессит из медно- и серноколчеданных руд Каражайского месторождения в Дашкесанском районе Азербайджанской ССР	62
---	----

Геология

Г. И. Керимов, С. Ф. Велизаде. Новые минералы в рудах Кацдагского месторождения	67
---	----

Агрономия

К. И. Исмайлова. Влияние различных доз фосфорных удобрений на содержание фосфорных соединений хлопчатника	74
---	----

Генетика

М. А. Али-Заде, Р. Т. Алиев. Содержание нуклеиновых кислот у межвидовых и межродовых гибридов пшеницы, ржи эгилопса в связи с явлениями гетерозиса	78
--	----

Биохимия

Г. М. Талышинский, Ю. Б. Филиппович. Динамика содержания связанных аминокислот в листьях исходного сорта и полученных из него экспериментальных полиплоидных форм шелковицы	81
---	----

Медицина

Акад. М. Р. Назиров. Гепато-lienальный синдром	85
Н. А. Муталибов. Одновременная интраоперационная агионульмонография и медиастенальная флегография	89

Литература

А. К. Раев, А. Гумбольдт и М. Казем-бек	93
---	----

Археология

Р. Б. Аразова. Вкладыши серпов из энеолитического поселения Шомутепе	95
--	----

ПРАВИЛА ДЛЯ АВТОРОВ

1. В «Докладах Академии наук Азербайджанской ССР» помещаются краткие сообщения, содержащие законченные, еще не опубликованные результаты научных исследований, имеющих теоретическое или практическое значение.

В «Докладах» не публикуются крупные статьи, механически разделенные на ряд отдельных сообщений, статьи полемического характера без новых фактических данных, статьи с описанием промежуточных опытов без определенных выводов и обобщений, работы непринципиальные, описательного или обзорного характера, чисто методические статьи, если предлагаемый метод не является принципиально новым, а также статьи по систематике растений и животных (за исключением описания особо интересных для науки находок).

Статьи, помещаемые в «Докладах», не лишают автора права последующей публикации того же сообщения в развернутом виде в других изданиях.

2. Поступающие в «Доклады» статьи рассматриваются Редакционной коллегией только после представления их академиком по специальности. Каждый академик может представить не более 5-ти статей в год.

Статьи членов-корреспондентов Академии наук Азербайджанской ССР принимаются без представления.

Редакция просит академиков при представлении статьи указывать дату получения ее от автора, а также наименование раздела, в котором статья должна быть помещена.

3. В «Докладах» публикуется не более трех статей одного автора в год.

4. В «Докладах» помещаются статьи, занимающие не более четверти авторского листа — около 6—7 страниц машинописи (10 000 печатных знаков), включая рисунки.

5. Все статьи должны иметь резюме на английском языке; кроме того, статьи, написанные на азербайджанском языке, должны иметь: резюме на русском языке и наоборот.

6. В конце статьи должны быть указаны название научного учреждения, в котором выполнена работа, и номер телефона автора.

7. Опубликование результатов работ, проведенных в научных учреждениях должно быть разрешено дирекцией научного учреждения.

8. Статьи (включая и резюме), должны быть напечатаны на машинке через два интервала, на одной стороне листа и представляются в двух экземплярах. Формулы должны быть вписаны четко и ясно, при этом прописные буквы должны быть подчеркнуты (черным карандашом) двумя черточками снизу, а строчные — сверху, буквы греческого алфавита надо обводить красным карандашом.

9. Цитируемая в статье литература должна приводиться не в виде подстрочных списков, а общим списком (вподбор), в алфавитном порядке (по фамилии автора), в конце статьи с обозначением ссылки в тексте порядковой цифрой. Список литературы должен быть оформлен следующим образом:

а) для книг: фамилия и инициалы автора, полное название книги, номер тома, город, издательство и год издания;

б) для статей в сборниках (трудах): фамилия и инициалы автора, название статьи, название сборника (трудов), том, выпуск, место издания, издательство, год, страница;

в) для журнальных статей: фамилия и инициалы автора, название статьи, название журнала, год, том, номер, (выпуск), страница.

Ссылки на неопубликованные работы не допускаются (за исключением отчетов и диссертаций, хранящихся в научных учреждениях).

10. На обороте рисунков должны быть указаны фамилия автора, название статьи и номер рисунка. Отпечатанные на машинке подписи к рисункам представляются на отдельном листе.

11. Авторы статей должны указывать индекс статьи по Унифицированной десятичной классификации (УДК) и прилагать реферат для «Реферативного журнала».

12. Авторы должны избегать повторения одинаковых данных в таблицах, графиках и в тексте статьи.

Ввиду небольшого объема статей выводы помещаются лишь в необходимых случаях.

13. В случае представления двух или более статей одновременно необходимо указывать желательный порядок их помещения.

14. Корректура статей авторам как правило не посыпается. В случае посылки корректуры допускается лишь исправление ошибок типографии.

15. Редакция выдает автору бесплатно 15 отдельных оттисков статьи.

Сдано в набор 24.IV-74 г. Подписано к печати 31/VII 1974 г. Формат бумаги
70×108^{1/4}. Бум. лист. 3,25. Печ. лист. 9,1. Уч.-изд. лист. 7,68. ФГ 05194.
Заказ 144. Тираж 70. Цена 0 кон.

Типография „Красный Восток“ Государственного комитета Совета
Министров Азербайджанской ССР по делам издательства, полиграфии
книжной торговли. Баку, Ази Асланова, 80.

